

การศึกษาเชิงทดลองภูมิการส่งผ่านของอิเล็กตรอนในระบบ硼อยต่อระหว่าง
โลหะกับเพอร์โรมแกรมเคนต

กิตติศักดิ์ ภาระพันธ์

เสนอต่อมหาวิทยาลัยมหาสารคาม เพื่อเป็นส่วนหนึ่งของการศึกษาตามหลักสูตร
ปริญญาวิทยาศาสตรบัณฑิต สาขาวิชา ฟิสิกส์
เมษายน 2557
ลิขสิทธิ์เป็นของมหาวิทยาลัยมหาสารคาม

THEORETICAL STUDY OF ELECTRON TUNNELING ACROSS
METAL/FERROMAGNET JUNCTION

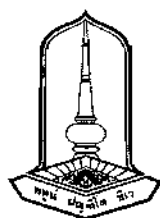
KITTISAK PHARAPHAN

PRESENTED IN PARTIAL FULFILLMENT OF REQUIREMENTS FOR
THE BACHELOR OF SCIENCE DEGREE IN PHYSICS

AT MAHASARAKHAM UNIVERSITY

ALL RIGHTS RESERVED BY MAHASARAKHAM UNIVERSITY





คณะกรรมการสอบปริญญาบัณฑิต
ได้พิจารณาปริญญาบัณฑิตของ นาย กิตติศักดิ์ ภาระพันธ์
นลัวเห็นสมควรรับเป็นส่วนหนึ่งของการศึกษาตามหลักสูตรปริญญาวิทยาศาสตรบัณฑิต^๑
สาขาวิชาพิสิกส์ ของมหาวิทยาลัยมหาสารคาม

คณะกรรมการสอบปริญญาบัณฑิต

พ.ก.ช. ศ.ดร. ศุภชัย ฤทธิ์เจริญวัฒนา^๒
(อาจารย์ ดร. ศุภชัย ฤทธิ์เจริญวัฒนา)

ประธานกรรมการ

2๖๓๑๘ ๙๙๙๒
(อาจารย์ ดร. ประธาน ศรีวิไล)

กรรมการ

พ.ก.ช. ดร. กฤชกร ปานะใน^๓
(อาจารย์ ดร. กฤชกร ปานะใน)

กรรมการและอาจารย์ที่ปรึกษา

พ.ก.ช. ดร. ปรีณา เหลาภูล

ประธานหลักสูตรสาขาวิชาพิสิกส์

พ.ก.ช. ดร. นิติศักดิ์ ปานะจะ

หัวหน้าภาควิชาพิสิกส์

วันที่ ๑๗ พฤษภาคม พ.ศ. ๒๕๕๗



กิตติกรรมประกาศ

โครงการฉบับนี้สำเร็จลุล่วงไปด้วยดี ด้วยความช่วยเหลือของ อาจารย์ ดร. กฤตกร ปาสาใน อาจารย์ที่ปรึกษาวิทยานิพนธ์ ซึ่งท่านได้ให้คำแนะนำและข้อคิดเห็นดีๆ อันเป็นประโยชน์อย่างยิ่งใน การทำโครงการ อีกทั้งยังช่วยแก้ปัญหาด้วย ๆ ที่เกิดขึ้นระหว่างการทำเนินงานอีกด้วย ขอขอบพระคุณ อาจารย์ทุกท่านในภาควิชาพิสิกส์สำหรับข้อแนะนำและความช่วยเหลือในทุก ๆ ด้านในการทำวิจัย นอกจากนี้ขอขอบคุณเพื่อน ๆ ในห้องปฏิบัติการพิสิกส์ทุกภาระควบคุมที่เป็นกำลังใจ และให้ ความช่วยเหลือในการทำปริญญาในพิสิกส์เรื่องนี้ สุดท้ายนี้ ผู้ทำโครงการขอขอบพระคุณบิความรดา และครอบครัว ซึ่งเปิดโอกาสให้ได้รับการศึกษาเล่าเรียน ตลอดจนขอช่วยเหลือและให้กำลังใจผู้ทำ โครงการเสมอมา

นายกิตติศักดิ์ ภาระพันธ์

ชื่อเรื่อง	การศึกษาเชิงทฤษฎีการส่งผ่านของอิเล็กตรอนในระบบอยู่ต่อระหว่างวัสดุโลหะกับเฟอร์โรแมกเนต	
ผู้ทำโครงการ	นาย กิตติศักดิ์ ภาระพันธ์	
ปริญญา	วิทยาศาสตรบัณฑิต	สาขาวิชา พลิกส์
อาจารย์ที่ปรึกษา	อาจารย์ ดร. กฤตกร ปานain	
มหาวิทยาลัย	มหาวิทยาลัยมหาสารคาม	ปีที่พิมพ์ 2557

บทคัดย่อ

โครงการนี้เป็นการศึกษาเชิงทฤษฎีการส่งผ่านของอิเล็กตรอนในรอยต่อระหว่างวัสดุโลหะและเฟอร์โรแมกเนต โดยใช้การประมาณด้วยแบบจำลองอิเล็กตรอนอิสระ และพิจารณาให้พลังงานศักย์ ณ บริเวณรอยต่อเป็นแบบฟังก์ชันเดลตา กล่าวคือ กำหนดให้มีพลังงานศักย์เกิดขึ้นเฉพาะบริเวณรอยต่อเท่านั้น โดยที่พลังงานศักย์ดังกล่าวประกอบไปด้วย พลังงานศักย์ที่ทำให้เกิดการกระแสไฟฟ้า (Z_0) และพลังงานศักย์ที่ทำให้เกิดการกระแสไฟฟ้า (Z_J) โดยพลังงานศักย์ชนิดแรกไม่มีผลทำให้สปินของอิเล็กตรอนเปลี่ยนทิศทาง แต่พลังงานศักย์ชนิดที่สองจะมีผลทำให้สปินของอิเล็กตรอนเปลี่ยนทิศทางได้ นอกจากนี้ยังมีการพิจารณาผลของมวลยังผลอิเล็กตรอนในวัสดุแต่ละชนิด ทั้งนี้ เนื่องจากมวลยังผลของอิเล็กตรอนในวัสดุแต่ละชนิดไม่เท่ากัน ซึ่งผลดังกล่าวทำให้เกิดการสะสมประจุ ณ รอยต่อ โดยจะแสดงพฤติกรรมคล้ายกับกำแพงศักย์

จากการคำนวณโดยกำหนดให้มวลยังผลของอิเล็กตรอนในวัสดุทั้งสองเท่ากัน และพลังงานศักย์ที่ทำให้เกิดการกระแสไฟฟ้า (Z_0) เป็นศูนย์ พนวจ ความนำจะเป็นของการส่งผ่านจะลดลงเมื่อ พลังงานศักย์ที่ทำให้เกิดการกระแสไฟฟ้าเพิ่มขึ้น และความนำจะเป็นของการสะสมประจุ ณ รอยต่อ โดยจะแสดงพฤติกรรมคล้ายกับกำแพงศักย์ที่ทำให้เกิดการกระแสไฟฟ้า (Z_J) เมื่อพลังงานศักย์ที่ทำให้เกิดการกระแสไฟฟ้าเพิ่มขึ้น แล้วในขณะเดียวกันนี้ การเปลี่ยนแปลงความซับซ้อนของกราฟที่บริเวณอิเล็กตรอนมีพลังงาน $eV = 2E_\alpha$ ซึ่งสอดคล้องกับ พลังงาน ณ จุดต่ำสุดของแบบพสังงานรอง อีกทั้งพลังงานศักย์ดังกล่าวยังสามารถทำให้เกิดการส่งผ่าน ของอิเล็กตรอนที่มีทิศทางสปินตรงข้ามกับอิเล็กตรอนต่อกลไกที่มีค่าเพิ่มขึ้น นอกจากนี้ความนำจะเป็น ของการส่งผ่านสามารถลดลงและเพิ่มขึ้นได้ เมื่อมีการเปลี่ยนแปลงพลังงานศักย์ที่ทำให้เกิดการกระแสไฟฟ้า (Z_J) ณ บริเวณรอยต่อ โดยค่าความนำจะเป็นของการส่งผ่านดังกล่าวจะมีค่าสูงสุด เมื่อ $Z_0 = Z_J$ ในทำนองเดียวกันค่าความนำจะเป็นการส่งผ่านจะลดลงในสภาวะที่ไม่มีพสังงานศักย์ทั้งสองชนิด เมื่อมวลยังผลของอิเล็กตรอนในวัสดุเฟอร์โรแมกเนตมากกว่าวัสดุโลหะ

TITLE Theoretical study of electron tunneling
 across metal/ferromagnet junction
AUTHOR Mr. Kittisak Phraphan
DEGREE Bachelor Of Science MAJOR Physics
ADVISOR Dr. Kriskron Pasanai
UNIVERSITY Mahasarakham University DATE 2014

ABSTRACT

We theoretically study the electron tunneling across a metal/ferromagnet interface using the free electron approximation model. In addition, the two kinds of potentials, normal and spin-flip potentials, were modeled by a delta potential, and inserted at the interface. The first kind of potentials does not affects the direction of electron spin, but the second can affect the direction of electron spin. Because an electron effective mass in each material is different, we also consider the effect of the electron effective mass. This effect was due to spin accumulation that behaves as a potential barrier.

In the calculation, we found that the total transmission probability decreases with increasing the normal scattering, when the spin-flip scattering at the interface vanishes, and the electron effective masses in the materials are equal. In contrast, the reflection probability behaves conversely. When the normal scattering disappeared and spin-flip scattering was taken into account in the calculation, the total transmission probability of the same spin direction with the injected electron was suppressed. Particularly, there was a change of the slope of both transmission and reflection probabilities, corresponding to the bottom of the minority band of the ferromagnet $eV = 2E_{ex}$. For the effect of spin-flip scattering, this kind of scattering can increase the total transmission probability of electrons with an opposite spin direction of injected electrons. However, the total transmission probability can either enhance or diminish when both kinds of scattering occur at the interface. The maximum value of transmission occurs when these kinds of scatterings are set to be equal, $Z_0 = Z_f$. Finally, the total transmission probability can be suppressed when the electron effective mass in the ferromagnet is larger than that in the metal.

สารบัญ

	หน้า
กิตติกรรมประกาศ	ก
บทคัดย่อภาษาไทย	ข
บทคัดย่อภาษาอังกฤษ	ค
สารบัญภาพประกอบ	จ
บทที่ 1 บทนำ	1
1.1 ที่มาและความสำคัญ	1
1.2 วัตถุประสงค์	3
1.3 ขอบเขตของโครงการ	4
1.4 สถานที่ทำงาน	4
1.5 ประโยชน์ที่ได้รับ	4
บทที่ 2 แบบจำลองและการคำนวณ	5
2.1 แอมบิโทเนียนของระบบ	5
2.2 พังก์ชันคลีนในแต่ละบริเวณ	11
2.3 เงื่อนไขขอบเขต	13
2.4 ความน่าจะเป็นของการส่งผ่านและการสะท้อนกลับ	16
บทที่ 3 ผลการคำนวณและการวิเคราะห์ผล	19
3.1 ผลของพลังงานศักย์ที่ทำให้เกิดการกระเจิงแบบปกติ	19
3.2 ผลของพลังงานศักย์ที่ทำให้เกิดการกระเจิงแบบสปินพลิกกลับ	25
3.3 ผลของพลังงานศักย์ที่ทำให้เกิดการกระเจิงแบบปกติและแบบสปินพลิกกลับ	33
3.4 ผลของมวลยังผลของอิเล็กตรอน	40
บทที่ 4 สรุปผลการคำนวณ	44
4.1 ผลของพลังงานศักย์ที่ทำให้เกิดการกระเจิงแบบปกติ	44
4.2 ผลของพลังงานศักย์ที่ทำให้เกิดการกระเจิงแบบสปินพลิกกลับ	45
4.3 ผลของพลังงานศักย์ที่ทำให้เกิดการกระเจิงแบบปกติและแบบสปินพลิกกลับ	45
4.4 ผลของมวลยังผลของอิเล็กตรอน	46
เอกสารอ้างอิง	47
ประวัติย่อผู้เขียน	49

สารบัญภาพประกอบ

หน้า

ภาพประกอบ 1.1	โครงสร้างของ เฟอร์โรแมกเนต/โครเมียม/เฟอร์โรแมกเนต ที่มีพิศทางของแมกเนติซีชันแบบตรงข้าม ซึ่งทำให้เกิดการคันพบความด้านทาน เชิงแม่เหล็กขนาดใหญ่ โดย ปีเตอร์ กรุนเบิร์ก	1
ภาพประกอบ 1.2	(a) – (b) เส้นโค้งแบบวิลเทอร์รีซิสของวัสดุความด้านทานเชิงแม่เหล็กขนาดใหญ่ (c) – (d) ความด้านทานของวัสดุความด้านทานเชิงแม่เหล็กขนาดใหญ่แบบสองรอยต่อ	2
ภาพประกอบ 1.3	ค่าความด้านทานเชิงแม่เหล็กที่พับในรอยต่อ เฟอร์โรแมกเนต/โครเมียมแบบ 60 รอยต่อ โดย อัลเบิร์ต เพรท	2
ภาพประกอบ 2.1	แบบพลังงานของวัสดุโลหะและวัสดุเฟอร์โรแมกเนตที่มีมวลยังผลของอิเล็กตรอน n_{\downarrow} (ผิวซ้าย) และ n_{\uparrow} (ผิวขวา) โดยมี E_F คือ ระดับพลังงานเฟอร์มิของโลหะ E_F คือ พลังงานแลกเปลี่ยน (Exchange energy) ของเฟอร์โรแมกเนต และเส้นโค้งพร้อมหัวลูกศรที่ชี้ไปผิวซ้ายและขวาแทนแบบพลังงาน ซึ่งใช้พิจารณากระบวนการกระเจิงของระบบโดยที่ τ_{\uparrow} , τ_{\downarrow} , τ_{\perp} และ τ_{\parallel} คือ แอมพลิจูดคลื่นอิเล็กตรอนสะท้อนกลับและส่งผ่านสปินขึ้นและสปินลงตามลำดับ ซึ่งรอยต่อของระบบนี้จะใช้การประมาณด้วยพังก์ชันเดลตา $\delta(x)$ กล่าวคือ มีค่าเฉพาะ π ที่รอยต่อเท่านั้น	5
ภาพประกอบ 2.2	ตัวอย่างพิศทางของแมกเนติซีชันทำมุม θ กับแกน x เมื่อ \hat{m} คือ เวกเตอร์หนึ่งที่ห่วงที่กำหนดพิศทางของแมกเนติซีชันในระบบ 2 มิติ	7
ภาพประกอบ 2.3	แบบพลังงานของอิเล็กตรอนในโลหะ โดยที่ E_F คือ ระดับพลังงานเฟอร์มิของโลหะ \uparrow , \downarrow คือ พิศทางสปินอิเล็กตรอนตอกกระหบบที่มีพิษชี้ขึ้นและลง $\tau_{\uparrow}, \tau_{\downarrow}$ คือ แอมพลิจูดคลื่นสะท้อนกลับของอิเล็กตรอนสปินขึ้นและลง ตามลำดับ และเส้นโค้งแทนแบบพลังงานที่อิเล็กตรอนสามารถถอยได้	8
ภาพประกอบ 2.4	แบบพลังงานของเฟอร์โรแมกเนต โดยเลันโค้งที่อยู่ด้านนอกแทนแบบพลังงานของอิเล็กตรอนสปินขึ้น ซึ่งเป็นแบบพลังงานหลัก และเส้นโค้งที่อยู่ด้านในแทนแบบพลังงานของอิเล็กตรอนสปินลง ซึ่งเป็นแบบพลังงานรอง โดยที่ τ_{\uparrow} และ τ_{\downarrow} คือ แอมพลิจูดคลื่นอิเล็กตรอนส่งผ่านสปินขึ้นและสปินลงตามลำดับ	10

สารบัญภาพประกอบ (ต่อ)

หน้า

ภาพประกอบ 3.1	แบบพลังงานของเพอร์โตรแมกเนต ซึ่งประกอบไปด้วยแบบพลังงานหลักที่มีทิศทางแมกเนติกซันของอิเล็กตรอนซึ่ง แล้วแบบพลังงานรองที่มีทิศทางแมกเนติกซันของอิเล็กตรอนซึ่งโดยที่ระยะห่างระหว่างจุดต่าสุดของแบบพลังงานทั้งสองมีค่าเท่ากับ $2E_a$	20
ภาพประกอบ 3.2	ความสัมพันธ์ระหว่างความน่าจะเป็นการส่งผ่าน (a) อิเล็กตรอนสpinขึ้น (b) อิเล็กตรอนสpinลง และการสะท้อนกลับ (c) อิเล็กตรอนสpinขึ้น (d) อิเล็กตรอนสpinลง ซึ่งเป็นฟังก์ชันของพลังงานที่ค่า Z_0 ต่างๆ เมื่อ $Z_f = 0$ กรณีการตอกกระหบของอิเล็กตรอนสpinขึ้น	20
ภาพประกอบ 3.3	ความสัมพันธ์ระหว่างความน่าจะเป็นการส่งผ่าน (a) อิเล็กตรอนสpinขึ้น (b) อิเล็กตรอนสpinลง และการสะท้อนกลับ (c) อิเล็กตรอนสpinขึ้น (d) อิเล็กตรอนสpinลง ซึ่งเป็นฟังก์ชันของพลังงานศักย์ที่ทำให้เกิดการกระแสไฟฟ้า ณ ที่ระดับพลังงาน (eV) ต่างๆ เมื่อ $Z_f = 0$ กรณีการตอกกระหบของอิเล็กตรอนสpinขึ้น	21
ภาพประกอบ 3.4	ความสัมพันธ์ระหว่างความน่าจะเป็นการส่งผ่าน (a) อิเล็กตรอนสpinขึ้น (b) อิเล็กตรอนสpinลง และการสะท้อนกลับ (c) อิเล็กตรอนสpinขึ้น (d) อิเล็กตรอนสpinลง ซึ่งเป็นฟังก์ชันของพลังงานที่ค่า Z_0 ต่างๆ เมื่อ $Z_f = 0$ กรณีการตอกกระหบของอิเล็กตรอนสpinขึ้น	22
ภาพประกอบ 3.5	ความสัมพันธ์ระหว่างความน่าจะเป็นการส่งผ่าน (a) อิเล็กตรอนสpinขึ้น (b) อิเล็กตรอนสpinลง และการสะท้อนกลับ (c) อิเล็กตรอนสpinขึ้น (d) อิเล็กตรอนสpinลง ซึ่งเป็นฟังก์ชันของพลังงานศักย์ที่ทำให้เกิดการกระแสไฟฟ้า ณ ที่ระดับพลังงาน (eV) ต่างๆ เมื่อ $Z_f = 0$ กรณีการตอกกระหบของอิเล็กตรอนสpinขึ้น	23
ภาพประกอบ 3.6	ความสัมพันธ์ระหว่างความน่าจะเป็นการส่งผ่าน (a) อิเล็กตรอนสpinขึ้น (b) อิเล็กตรอนสpinลง และการสะท้อนกลับ (c) อิเล็กตรอนสpinขึ้น (d) อิเล็กตรอนสpinลง ซึ่งเป็นฟังก์ชันของพลังงานที่ค่า Z_0 ต่างๆ เมื่อ $Z_f = 0$ กรณีการตอกกระหบของอิเล็กตรอนสpinขึ้นและขึ้น	24

สารบัญภาพประกอบ (ต่อ)

หน้า

ภาพประกอบ 3.7 ความสัมพันธ์ระหว่างความน่าจะเป็นการส่งผ่าน (a) อิเล็กตรอนสpinขึ้น (b) อิเล็กตรอนสpinลง และการสะท้อนกลับ (c) อิเล็กตรอนสpinขึ้น (d) อิเล็กตรอนสpinลง ซึ่งเป็นฟังก์ชันของ พลังงานศักย์ที่ทำให้เกิดการกระเจิงแบบปกติ ณ ที่ระดับพลังงาน (eV) ต่างๆ เมื่อ $Z_f = 0$ กรณีการตอกกระหบของอิเล็กตรอนสpinขึ้น และซึ่ง	25
ภาพประกอบ 3.8 แบบพลังงานของเฟอร์โรแมกเนตที่แสดงจุดเปลี่ยนความชันของค่าความ น่าจะเป็นการส่งผ่านของอิเล็กตรอนที่มีทิศทางเดียวกับอิเล็กตรอนตอก กระหบ	26
ภาพประกอบ 3.9 ความสัมพันธ์ระหว่างความน่าจะเป็นการส่งผ่าน (a) อิเล็กตรอนสpinขึ้น (b) อิเล็กตรอนสpinลง และการสะท้อนกลับ (c) อิเล็กตรอนสpinขึ้น (d) อิเล็กตรอนสpinลง ซึ่งเป็นฟังก์ชันของ พลังงานที่ค่า Z_f ต่างๆ เมื่อ $Z_0 = 0$ กรณีการตอกกระหบของ อิเล็กตรอนสpinขึ้น	27
ภาพประกอบ 3.10 ความสัมพันธ์ระหว่างความน่าจะเป็นการส่งผ่าน (a) อิเล็กตรอนสpinขึ้น (b) อิเล็กตรอนสpinลง และการสะท้อนกลับ (c) อิเล็กตรอนสpinขึ้น (d) อิเล็กตรอนสpinลง ซึ่งเป็นฟังก์ชันของ พลังงานศักย์ที่ทำให้เกิดการกระเจิงแบบสpinพลิกกลับ ณ ที่ระดับ พลังงาน (eV) ต่างๆ เมื่อ $Z_0 = 0$ กรณีการตอกกระหบของอิเล็กตรอน สpinขึ้น	28
ภาพประกอบ 3.11 ความสัมพันธ์ระหว่างความน่าจะเป็นการส่งผ่าน (a) อิเล็กตรอนสpinขึ้น (b) อิเล็กตรอนสpinลง และการสะท้อนกลับ (c) อิเล็กตรอนสpinขึ้น (d) อิเล็กตรอนสpinลง ซึ่งเป็นฟังก์ชันของ พลังงานที่ค่า Z_f ต่างๆ เมื่อ $Z_0 = 0$ กรณีการตอกกระหบของ อิเล็กตรอนสpinลง	29

สารบัญภาพประกอบ (ต่อ)

หน้า

- | | |
|---|----|
| ภาพประกอบ 3.12 ความสัมพันธ์ระหว่างความนำ จะเป็นการส่งผ่าน | |
| (a) อิเล็กตรอนสpinขึ้น (b) อิเล็กตรอนสpinลง และการสะท้อนกลับ | |
| (c) อิเล็กตรอนสpinขึ้น (d) อิเล็กตรอนสpinลง ซึ่งเป็นพังก์ชันของ | |
| พลังงานศักย์ที่ทำให้เกิดการกระเจิงแบบสpinพลิกกลับ ณ ที่ระดับ | |
| พลังงาน (eV) ต่างๆ เมื่อ $Z_0 = 0$ กรณีการตัดกระหบของอิเล็กตรอน | |
| สpinขึ้น | 30 |
| ภาพประกอบ 3.13 ความสัมพันธ์ระหว่างความนำ จะเป็นการส่งผ่าน | |
| (a) อิเล็กตรอนสpinขึ้น (b) อิเล็กตรอนสpinลง และการสะท้อนกลับ | |
| (c) อิเล็กตรอนสpinขึ้น (d) อิเล็กตรอนสpinลง ซึ่งเป็นพังก์ชันของ | |
| พลังงานที่ค่า Z_0 ต่างๆ เมื่อ $Z_0 = 0$ กรณีการตัดกระหบของ | |
| อิเล็กตรอนสpinขึ้นและซึ้ง | 31 |
| ภาพประกอบ 3.14 ความสัมพันธ์ระหว่างความนำ จะเป็นการส่งผ่าน | |
| (a) อิเล็กตรอนสpinขึ้น (b) อิเล็กตรอนสpinลง และการสะท้อนกลับ | |
| (c) อิเล็กตรอนสpinขึ้น (d) อิเล็กตรอนสpinลง ซึ่งเป็นพังก์ชันของ | |
| พลังงานศักย์ที่ทำให้เกิดการกระเจิงแบบสpinพลิกกลับ ณ ที่ระดับ | |
| พลังงาน (eV) ต่างๆ เมื่อ $Z_0 = 0$ กรณีการตัดกระหบของอิเล็กตรอน | |
| สpinขึ้นและซึ้ง | 32 |
| ภาพประกอบ 3.15 ความสัมพันธ์ระหว่างความนำ จะเป็นการส่งผ่าน | |
| (a) อิเล็กตรอนลpinขึ้น (b) อิเล็กตรอนลpinลง และการสะท้อนกลับ | |
| (c) อิเล็กตรอนสpinขึ้น (d) อิเล็กตรอนสpinลง ซึ่งเป็นพังก์ชันของ | |
| พลังงานศักย์ที่ทำให้เกิดการกระเจิงแบบสpinพลิกกลับที่ค่า Z_0 ต่างๆ | |
| เมื่อ $eV = E_\alpha$ พร้อมแสดงการส่งผ่านของอิเล็กตรอนสpinขึ้นที่มีค่ามาก | |
| ที่สุดเมื่อ กรณีการตัดกระหบของอิเล็กตรอนสpinขึ้น | 33 |
| ภาพประกอบ 3.16 ความสัมพันธ์ระหว่างความนำ จะเป็นการส่งผ่าน | |
| (a) อิเล็กตรอนลpinขึ้น (b) อิเล็กตรอนสpinลง และการสะท้อนกลับ | |
| (c) อิเล็กตรอนสpinขึ้น (d) อิเล็กตรอนสpinลง ซึ่งเป็นพังก์ชันของ | |
| พลังงานศักย์ที่ทำให้เกิดการกระเจิงแบบสpinพลิกกลับที่ค่า Z_0 ต่างๆ | |
| เมื่อ $eV = 2E_\alpha$ กรณีการตัดกระหบของอิเล็กตรอนสpinขึ้น | 34 |

สารบัญภาพประกอบ (ต่อ)

หน้า

- ภาพประกอบ 3.17 ความสัมพันธ์ระหว่างความนำจะเป็นการส่งผ่าน
 (a) อิเล็กตรอนสpinขึ้น (b) อิเล็กตรอนสpinลง และการสะท้อนกลับ
 (c) อิเล็กตรอนสpinขึ้น (d) อิเล็กตรอนสpinลง ซึ่งเป็นฟังก์ชันของ
 พลังงานศักย์ที่ทำให้เกิดการกระเจิงแบบสpinพลิกกลับที่ค่า Z_0 ต่างๆ
 เมื่อ $eV = 3E_{ex}$ กรณีการตอกกระแทบทองอิเล็กตรอนสpinขึ้น 35
- ภาพประกอบ 3.18 ความสัมพันธ์ระหว่างความนำจะเป็นการส่งผ่าน
 (a) อิเล็กตรอนสpinขึ้น (b) อิเล็กตรอนสpinลง และการสะท้อนกลับ
 (c) อิเล็กตรอนสpinขึ้น (d) อิเล็กตรอนสpinลง ซึ่งเป็นฟังก์ชันของ
 พลังงานศักย์ที่ทำให้เกิดการกระเจิงแบบสpinพลิกกลับที่ค่า Z_0 ต่างๆ
 เมื่อ $eV = E_{ex}$ กรณีการตอกกระแทบทองอิเล็กตรอนสpinชี้ลง 36
- ภาพประกอบ 3.19 ความสัมพันธ์ระหว่างความนำจะเป็นการส่งผ่าน
 (a) อิเล็กตรอนสpinขึ้น (b) อิเล็กตรอนสpinลง และการสะท้อนกลับ
 (c) อิเล็กตรอนสpinขึ้น (d) อิเล็กตรอนสpinลง ซึ่งเป็นฟังก์ชันของ
 พลังงานศักย์ที่ทำให้เกิดการกระเจิงแบบสpinพลิกกลับที่ค่า Z_0 ต่างๆ
 เมื่อ $eV = 2E_{ex}$ กรณีการตอกกระแทบทองอิเล็กตรอนสpinชี้ลง 37
- ภาพประกอบ 3.20 ความสัมพันธ์ระหว่างความนำจะเป็นการส่งผ่าน
 (a) อิเล็กตรอนสpinขึ้น (b) อิเล็กตรอนสpinลง และการสะท้อนกลับ
 (c) อิเล็กตรอนสpinขึ้น (d) อิเล็กตรอนสpinลง ซึ่งเป็นฟังก์ชันของ
 พลังงานศักย์ที่ทำให้เกิดการกระเจิงแบบสpinพลิกกลับที่ค่า Z_0 ต่างๆ
 เมื่อ $eV = 3E_{ex}$ กรณีการตอกกระแทบทองอิเล็กตรอนสpinชี้ลง 37
- ภาพประกอบ 3.21 ความสัมพันธ์ระหว่างความนำจะเป็นการส่งผ่าน
 (a) อิเล็กตรอนสpinขึ้น (b) อิเล็กตรอนสpinลง และการสะท้อนกลับ
 (c) อิเล็กตรอนสpinขึ้น (d) อิเล็กตรอนสpinลง ซึ่งเป็นฟังก์ชันของ
 พลังงานศักย์ที่ทำให้เกิดการกระเจิงแบบสpinพลิกกลับที่ค่า Z_0 ต่างๆ
 เมื่อ $eV = E_{ex}$ กรณีการตอกกระแทบทองอิเล็กตรอนสpinชี้ขึ้นและชี้ลง 38

สารบัญภาพประกอบ (ต่อ)

หน้า

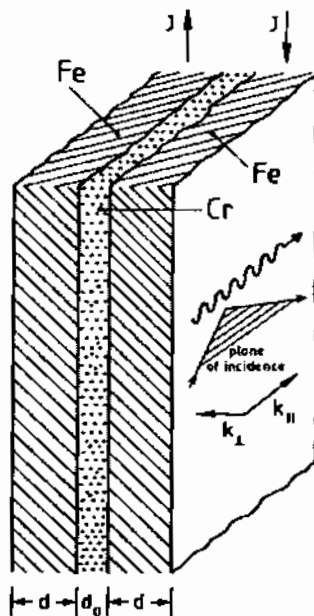
- | | |
|--|----|
| ภาพประกอบ 3.22 ความสัมพันธ์ระหว่างความน่าจะเป็นการส่งผ่าน
(a) อิเล็กตรอนสpinขึ้น (b) อิเล็กตรอนสpinลง และการสะท้อนกลับ
(c) อิเล็กตรอนสpinขึ้น (d) อิเล็กตรอนสpinลง ซึ่งเป็นฟังก์ชันของ
พลังงานศักย์ที่ทำให้เกิดการกระเจิงแบบสpinพลิกกลับที่ค่า Z_0 ต่างๆ
เมื่อ $eV = 2E_\alpha$ กรณีการตกกระทบของอิเล็กตรอนสpinขึ้นและซึ้ง | 39 |
| ภาพประกอบ 3.23 ความสัมพันธ์ระหว่างความน่าจะเป็นการส่งผ่าน
(a) อิเล็กตรอนสpinขึ้น (b) อิเล็กตรอนสpinลง และการสะท้อนกลับ
(c) อิเล็กตรอนสpinขึ้น (d) อิเล็กตรอนสpinลง ซึ่งเป็นฟังก์ชันของ
พลังงานศักย์ที่ทำให้เกิดการกระเจิงแบบสpinพลิกกลับที่ค่า Z_0 ต่างๆ
เมื่อ $eV = 3E_\alpha$ กรณีการตกกระทบของอิเล็กตรอนสpinขึ้นและซึ้ง | 39 |
| ภาพประกอบ 3.24 ความสัมพันธ์ระหว่างความน่าจะเป็นการส่งผ่าน
(a) อิเล็กตรอนสpinขึ้น (b) อิเล็กตรอนสpinลง และการสะท้อนกลับ
(c) อิเล็กตรอนสpinขึ้น (d) อิเล็กตรอนสpinลง ซึ่งเป็นฟังก์ชันของ
พลังงาน เมื่อ $Z_0 = 0$ และ $Z_f = 0$ กรณีการตกกระทบของอิเล็กตรอน
สpinซึ้ง | 41 |
| ภาพประกอบ 3.25 ความสัมพันธ์ระหว่างความน่าจะเป็นการส่งผ่าน
(a) อิเล็กตรอนสpinขึ้น (b) อิเล็กตรอนสpinลง และการสะท้อนกลับ
(c) อิเล็กตรอนสpinขึ้น (d) อิเล็กตรอนสpinลง ซึ่งเป็นฟังก์ชันของ
พลังงาน เมื่อ $Z_0 = 0$ และ $Z_f = 0$ กรณีการตกกระทบของอิเล็กตรอน
สpinซึ้ง | 42 |
| ภาพประกอบ 3.26 ความสัมพันธ์ระหว่างความน่าจะเป็นการส่งผ่าน
(a) อิเล็กตรอนสpinขึ้น (b) อิเล็กตรอนสpinลง และการสะท้อนกลับ
(c) อิเล็กตรอนสpinขึ้น (d) อิเล็กตรอนสpinลง ซึ่งเป็นฟังก์ชันของ
พลังงาน เมื่อ $Z_0 = 0$ และ $Z_f = 0$ กรณีการตกกระทบของอิเล็กตรอน
สpinซึ้งและซึ้ง | 43 |

บทที่ 1

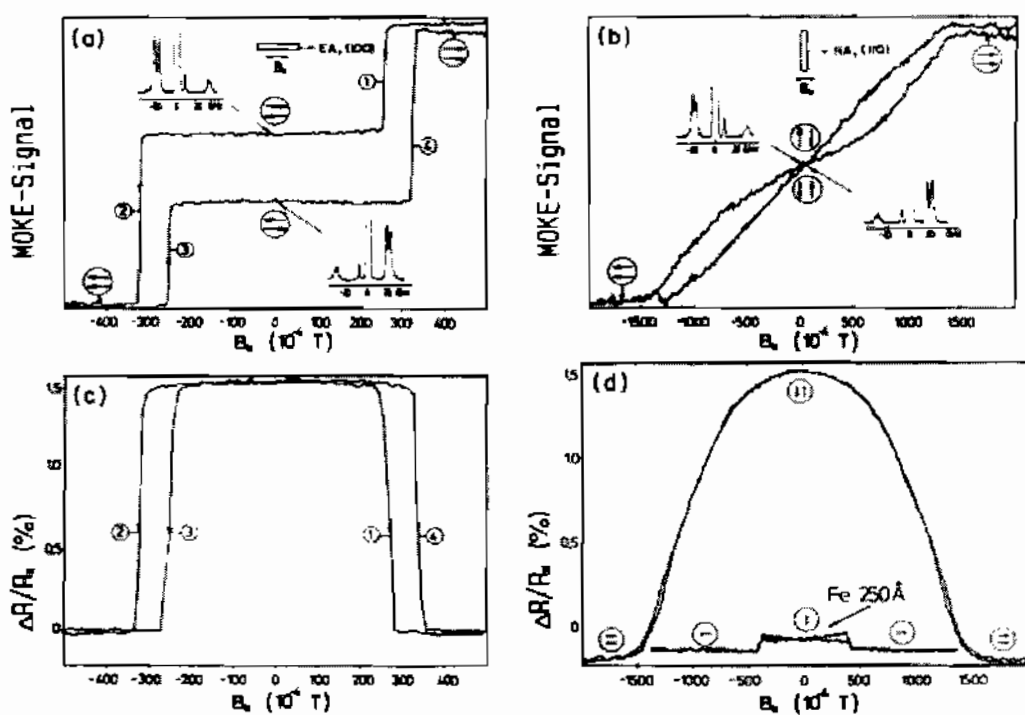
บทนำ

1.1 ที่มาและความสำคัญ

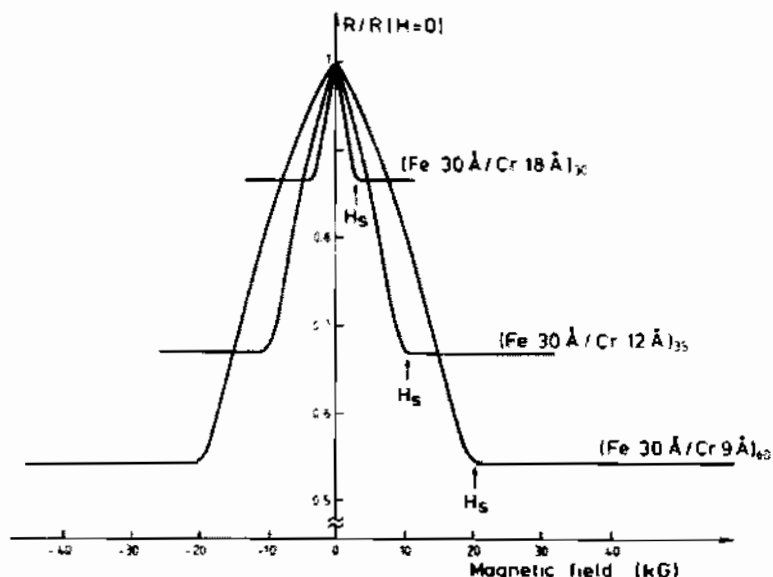
การศึกษาทางด้านทฤษฎีการส่งผ่าน (Tunneling theory) มีวัตถุประสงค์เพื่ออธิบาย พฤติกรรมของอิเล็กตรอนในการส่งผ่านระหว่างรอยต่อของวัสดุ ซึ่งมีทั้งระบบหนึ่งรอยต่อและมากกว่าหนึ่งรอยต่อ ทฤษฎีดังกล่าวได้มีการนำมาใช้อย่างแพร่หลายในปัจจุบัน โดยเฉพาะการศึกษาอุปกรณ์ทางด้านส핀ทรอนิกส์ (Spintronics) ที่เกี่ยวข้องกับการควบคุมทิศทางของกระแสสpinแทนการควบคุม การไหลของประจุอิเล็กตรอน ซึ่งปรากฏการณ์ดังกล่าวได้มีการศึกษาอย่างกว้างขวาง หลังจากมีการค้นพบความต้านทานเชิงแม่เหล็กขนาดใหญ่ (Giant magnetoresistance ; GMR) ในปี ค.ศ. 2007 โดย ปีเตอร์ กรุนเบิร์ก¹ และอัลเบิร์ต เฟรท²



ภาพประกอบ 1.1 โครงสร้างของ เฟอร์โรแมกเนต/โครงเมียน/เฟอร์โรแมกเนต ที่มีทิศทางของแมกเนติซีชันแบบตรงข้ามกัน ซึ่งทำให้เกิดการคันพบรความต้านทานเชิงแม่เหล็กขนาดใหญ่โดย ปีเตอร์ กรุนเบิร์ก¹



ภาพประกอบ 1.2 (a) – (b) เส้นโค้งแบบอิสเทอร์ริชิตของโครงสร้างแบบ เฟอร์โรแมกเนต/โครเมียม/เฟอร์โรแมกเนต (c) – (d) ค่าความต้านทานเชิงแม่เหล็กขนาดใหญ่ในรอยต่อแบบ เฟอร์โรแมกเนต/โครเมียม/เฟอร์โรแมกเนต¹



ภาพประกอบ 1.3 ค่าความต้านทานเชิงแม่เหล็กที่พบในรอยต่อ เฟอร์โรแมกเนต/โครเมียม แบบ 60 รอยต่อ โดย อัลเบิร์ต เพร์ท²

ความด้านทานเชิงแม่เหล็กขนาดใหญ่ เกิดจากการนำวัสดุโลหะและวัสดุเฟอร์โรแมกเนตมาต่อประกับกัน ให้มีลักษณะเป็นชั้น (Layers) โดยมีวัสดุโลหะอยู่ตรงกลาง จากนั้น ควบคุมการไหลของกระแสสpin (Spin current) ด้วยสนามแม่เหล็กจากภายนอก เพื่อเปลี่ยนทิศทางแมกเนติซีชัน (Magnetization) ของวัสดุเฟอร์โรแมกเนต เมื่อทิศทางของแมกเนติซีชันซัดกัน จะมีผลทำให้เกิดค่าความด้านทานมากที่สุดดังแสดงในภาพประกอบ 1.2(b) และ 1.2(d) การคันพับดังกล่าวได้ทำให้เกิดการเปลี่ยนแปลงอย่างยิ่งกับอุปกรณ์บันทึกข้อมูล หรืออาร์ดิรีฟ (Hard drive) โดยมีการใช้อุปกรณ์ความด้านทานเชิงแม่เหล็กขนาดใหญ่นี้ผลิตเป็นหัวอ่านและเขียนข้อมูลลงบนจานแม่เหล็กที่อยู่ภายในอุปกรณ์ดังกล่าว

หลังจากนั้น ได้มีการศึกษาเพื่อเพิ่มค่าความด้านทาน ณ บริเวณรอยต่อ³ โดยการเพิ่มผลของพลังงานศักย์ที่ทำให้เกิดการกระแสเจิงแบบสpinพลิกกลับ (Spin-flip scattering) เข้าไปที่บริเวณรอยต่อของระบบ นอกจากนี้ ยังได้ศึกษาผลของมิติต่อค่าความนำไฟฟ้าในระบบโดยต่อโลหะกับเฟอร์โรแมกเนต ซึ่งได้แสดงให้เห็นว่า ผลของพลังงานศักย์ดังกล่าวจะเพิ่มค่าความด้านทานเชิงแม่เหล็กมากขึ้น และสามารถทำได้จริงในเชิงปฏิบัติ นั่นคือ จะมีการฝังไออกอนที่มีสมบัติทางด้านแม่เหล็กลงไปยังบริเวณรอยต่อ ซึ่งผลการคำนวณจากการศึกษาข้างต้นยังได้แสดงให้เห็นว่า การเปลี่ยนแปลงค่าความนำไฟฟ้าจะเด่นชัดที่สุดในกรณีหนึ่งมิติ อย่างไรก็ตาม ผลการคำนวณนี้ไม่สามารถแสดงให้เห็นได้ว่า ค่าความนำไฟฟ้าเกิดขึ้นจากอิเล็กตรอนต/kubernetes สpinขึ้นหรือสpinลง นอกจากนั้น เมื่อพิจารณาโครงสร้างภายในของวัสดุเฟอร์โรแมกเนตเพิ่มเติม พบว่า ประกอบไปด้วย แกบพลังงานหลัก (Majority band) และแกบพลังงานรอง (Minority band) ซึ่งแยกระหว่างอิเล็กตรอนสpinขึ้นและสpinลง จึงเป็นผลทำให้อิเล็กตรอนสามารถส่งผ่านได้ทั้งสองกรณี ดังนั้น การอธิบายความสัมพันธ์เกี่ยวกับกระแสสpin จะต้องพิจารณาเป็น กรณีอิเล็กตรอนต/kubernetes สpinขึ้นและสpinลง ด้วยเหตุนี้ โครงงานนี้จึงสนใจศึกษาผลของตัวแปรต่างๆเพิ่มเติม ซึ่งประกอบด้วย พลังงานศักย์ที่ทำให้เกิดการกระแสเจิงแบบปกติ (Normal scattering: Z_0) และพลังงานศักย์ที่ทำให้เกิดการกระแสเจิงแบบสpinพลิกกลับ (Spin-flip scattering: Z_s) รวมไปถึงผลของอัตราส่วนมวลยังผลของอิเล็กตรอน (Electron effective mass ratio: η) ต่อความสัมพันธ์ของการส่งผ่านอิเล็กตรอนที่มีสpinตรงกันข้าม

1.2 วัสดุประสงค์

1.2.1 เพื่อศึกษาแบบจำลองการส่งผ่านของอิเล็กตรอนในรอยต่อ ระหว่างวัสดุโลหะปกติและวัสดุเฟอร์โรแมกเนต

1.2.2 เพื่อศึกษาผลของตัวแปรในรอยต่อ ที่มีผลต่อการส่งผ่านของอิเล็กตรอนข้ามรอยต่อ อันประกอบไปด้วย พลังงานศักย์ ณ ที่รอยต่อ ซึ่งมีอยู่สองชนิด คือ พลังงานศักย์ที่ทำให้เกิดการกระแสจิง แบบปกติและพลังงานศักย์ที่ทำให้เกิดการกระแสจิงแบบสปินพลิกกลับ รวมถึงผลของมวลยังผลของ อิเล็กตรอนที่มีต่อค่าความนำจะเป็นการส่งผ่าน

1.3 ขอบเขตของโครงงาน

ทำการศึกษาและคำนวณผลของตัวแปร ในระบบหนึ่งรอยต่อ โดยใช้การประมาณด้วย แบบจำลองอิเล็กตรอนอิสระ (Free electron model) นอกจากนี้พลังงานศักย์ ณ บริเวณรอยต่อจะใช้ การประมาณด้วยฟังก์ชันเดลต้า (Delta function) กล่าวคือ จะกำหนดให้มีพลังงานศักย์เฉพาะบริเวณ รอยต่อ ซึ่งจะไม่พิจารณาผลของเขตปลดภานะ (Depletion region) ณ รอยต่อ

1.4 สถานที่ทำโครงงาน

ห้องปฏิบัติการ ฟิสิกส์ทฤษฎีสารควบแน่น ภาควิชาฟิสิกส์ คณะวิทยาศาสตร์ มหาวิทยาลัย มหาสารคาม

1.5 ประโยชน์ที่ได้รับ

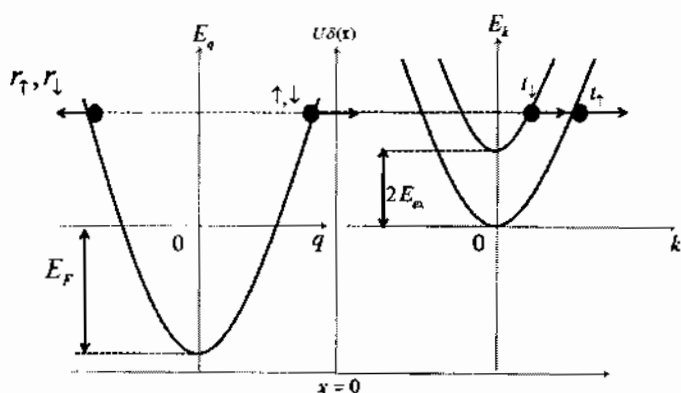
- 1.5.1 ได้กระบวนการและแบบจำลอง ที่จะนำไปสู่การศึกษาวัสดุอื่นที่มีความซับซ้อนมากขึ้น
- 1.5.2 พบร่วม เมื่อพลังงานศักย์ที่ทำให้เกิดการกระแสจิงแบบปกติเท่ากับพลังงานศักย์ที่ทำให้เกิด การกระแสจิงแบบสปินพลิกกลับ จะทำให้ค่าความนำจะเป็นการส่งผ่านของอิเล็กตรอนสูงที่สุด

บทที่ 2

แบบจำลองและการคำนวณ

ในบทนี้เป็นการศึกษาทางด้านทฤษฎีการส่งผ่านของอิเล็กตรอน ในระบบ bromide ต่อระหว่างวัสดุโลหะกับวัสดุเฟอร์โรแมกเนต ซึ่งได้รับแนวคิดและหลักการมาจากการศึกษาเชิงทฤษฎีการส่งผ่านของระบบ bromide ต่อวัสดุโลหะกับโลหะ โดยทั้งสองระบบมีลำดับและแนวทางการคำนวณเหมือนกัน นั่นคือ เริ่มต้นด้วยการเขียนแอมบิโทเนียนของระบบ เพื่อใช้แก้ปัญหาค่าเจาะจง (Eigenvalues) หลังจากนั้นจึง นำค่าเจาะจงที่ได้ไปคำนวณหาฟังก์ชันคลื่น (Wave functions) และนำไปเขียนเป็นฟังก์ชันคลื่นในแต่ ละบริเวณ จากนั้นนำฟังก์ชันคลื่นดังกล่าวมาแทนในเงื่อนไขขอบเขต (Boundary conditions) เพื่อหา ค่าสัมประสิทธิ์การส่งผ่าน (Transmission coefficients) และสัมประสิทธิ์การสะท้อนกลับ (Reflection coefficients) หลังจากนั้นนำค่าสัมประสิทธิ์ที่ได้ข้างต้นไปคำนวณหาค่าความน่าจะเป็น การส่งผ่าน (Transmission probability) และการสะท้อนกลับ (Reflection probability) ของ อิเล็กตรอน ตามลำดับ

2.1 แอมบิโทเนียนของระบบ (Hamiltonian of system)



ภาพประกอบ 2.1 แบบพลังงานของวัสดุโลหะและวัสดุเฟอร์โรแมกเนตที่มีมวลยังคงอิเล็กตรอน m_e^+ (ฝั่งซ้าย) และ m_e^- (ฝั่งขวา) โดย E_F คือ ระดับพลังงานเพอร์เมิชันโลหะ, E_{ex} คือ พลังงาน แลกเปลี่ยน (Exchange energy) ของเฟอร์โรแมกเนต และเส้นโค้งพาร์บอมหัวลูกศรที่ซึ่งไปฝั่งซ้ายและขวา คือ แบบพลังงานซึ่งใช้พิจารณากระบวนการกระเจิงของระบบ โดยที่ \uparrow, \downarrow คือ ทิศทางสpinของ อิเล็กตรอนต่อกลับที่มีทิศขึ้นและลง t_L, t_R, t_L และ t_R คือ แอมบิโทนของคลื่นอิเล็กตรอน ลงทะเบียนและส่งผ่านแบบสpinขึ้นและสpinลง ตามลำดับ โดยที่พลังงานศักย์ ณ รอยต่อของระบบนี้ ใช้การประมาณด้วยฟังก์ชันเคลต้า $U\delta(x)$ ก็ตามคือ มีค่าพลังงานศักย์เฉพาะ ณ ที่รอยต่อเท่านั้น

จากภาพประกอบ 2.1 แม่เหล็กไฟฟ้าในระบบอยู่ต่อระหัวงวัสดุโลหะและวัสดุเพอร์โตรแมกเนตสามารถเขียนได้ดังนี้

$$\hat{H} = \hat{p} \left[\frac{1}{2m^*(x)} \right] \hat{p} + \hat{V}(x) \quad (2.1)$$

เมื่อ \hat{p} คือ ตัวดำเนินการโมเมนตัม (Momentum operator) ซึ่งสามารถเขียนได้เป็น

$$\hat{p} = -i\hbar\vec{\nabla} \quad (2.2)$$

โดย $\vec{\nabla} = \hat{i} \frac{\partial}{\partial x} + \hat{j} \frac{\partial}{\partial y} + \hat{k} \frac{\partial}{\partial z}$ และ $m^*(x)$ คือ มวลยังผลของอิเล็กตรอน (Electron effective mass) ที่ขึ้นกับตำแหน่งในรอยต่อ ซึ่งเท่ากับ

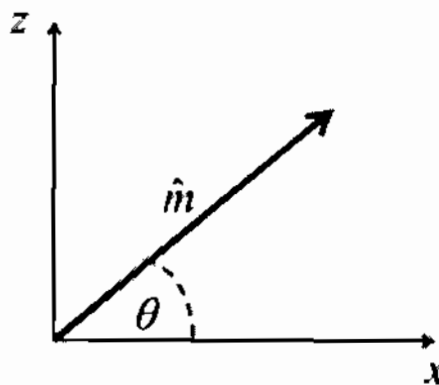
$$\frac{1}{m^*(x)} = \frac{1}{m_M^*\Theta(-x)} + \frac{1}{m_F^*\Theta(x)} \quad (2.3)$$

เมื่อ m_M^* คือ มวลยังผลของอิเล็กตรอนในวัสดุโลหะ, m_F^* คือ มวลยังผลของอิเล็กตรอนในวัสดุเพอร์โตรแมกเนต และ $\hat{V}(x)$ คือ พจน์ของพลังงานศักย์ซึ่งมีค่าเท่ากับ

$$\hat{V}(x) = -\mu\Theta(-x) + U\delta(x) - E_{ex}\hat{m}\cdot\hat{\sigma}\Theta(x) - E_{ex}\Theta(x) \quad (2.4)$$

โดยที่ $\Theta(\pm x)$ คือ พิงก์ชันแบบขั้นบันได (Heaviside step function), μ คือ พลังงานศักย์เคมีของโลหะ (Chemical potential), $\delta(x)$ คือ พิงก์ชันเดลตาของดิแรก, U คือ พลังงานศักย์ที่ทำให้เกิดการกระเจิง ณ รอยต่อซึ่งเท่ากับ $\begin{bmatrix} u_{\uparrow\uparrow} & u_{\uparrow\downarrow} \\ u_{\downarrow\uparrow} & u_{\downarrow\downarrow} \end{bmatrix}$ โดยเส้นทแยงมุมหลัก (Diagonal) แทนการกระเจิงแบบปกติ และเส้นทแยงมุมรอง (Off-diagonal) แทนการกระเจิงแบบสpinพลิกกลับ, E_{ex} คือ พลังงานแลกเปลี่ยนภายใน (Exchange energy) ของเพอร์โตรแมกเนต ซึ่งเป็นพลังงานที่ใช้กำหนดทิศทางของแมกเนติซีชัน โดยจะมีค่าลดลงเมื่ออิเล็กตรอนมีทิศทางเรียงตัวกันอย่างเป็นระเบียบ, E_0 คือ พลังงานที่ใช้ในการยกແถบพลังงานของเพอร์โตรแมกเนตขึ้นไปยังจุดกำเบิด และ \hat{m} คือ เวกเตอร์หนึ่งหน่วยที่ชี้ทิศทางของแมกเนติซีชันในเพอร์โตรแมกเนต ซึ่งเท่ากับ

$$\hat{m} = \frac{1}{\sqrt{3}}(\hat{x} + \hat{y} + \hat{z}) \quad (2.5)$$



ภาพประกอบ 2.2 ด้วยอย่างทิศทางของแมกเน่ไดเซ็นท์ทำมุม θ กับแกน x เมื่อ \hat{m} คือ เอกเดอร์หนึ่ง หน่วยที่กำหนดทิศทางของแมกเน่ไดเซ็น ในระบบ 2 มิติ

ทิศทางของแมกเน่ไดเซ็นในเพอร์โรมากเนตจะสามารถถือได้ในทุกทิศทาง แต่ในโครงงานนี้จะพิจารณาให้ทิศทางของแมกเน่ไดเซ็นซึ่งเฉพาะทิศขึ้นหรือลงเท่านั้น กล่าวคือ $\theta = 90^\circ$ องศา เนื่องจากทิศทางดังกล่าวให้ผลที่น่าสนใจมากกว่าการศึกษาโดยให้ทิศทางของแมกเน่ไดเซ็นซึ่งเป็นทิศทางต่างๆ ทั้งนี้ เพราะ $\hat{m} = \pm \hat{\sigma}$ เป็นการพิจารณาให้สปินของอิเล็กตรอนมีทิศขึ้นและลง ซึ่งจะเกิดการส่งผ่านได้ดีที่สุด และ $\hat{\sigma}$ คือ เมทริกซ์สปินของเพาลี (Pauli spin matrices) ซึ่งมีค่าเท่ากับ

$$\hat{\sigma} = \sigma_x \hat{x} + \sigma_y \hat{y} + \sigma_z \hat{z} \quad (2.6)$$

$$\text{โดยที่ } \sigma_x = \begin{bmatrix} 0 & 1 \\ 1 & 0 \end{bmatrix}, \sigma_y = \begin{bmatrix} 0 & -i \\ i & 0 \end{bmatrix} \text{ และ } \sigma_z = \begin{bmatrix} 1 & 0 \\ 0 & -1 \end{bmatrix}$$

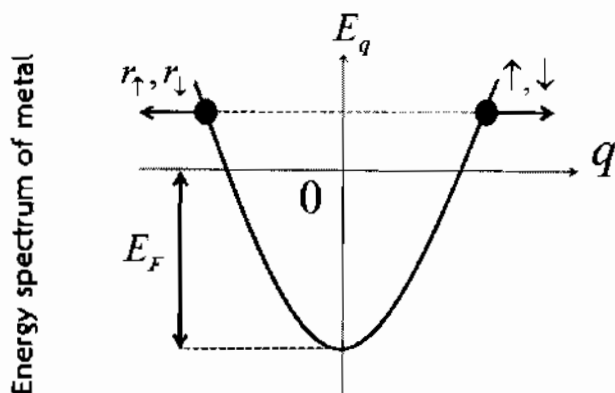
$$\text{ดังนั้น } \hat{m} \cdot \hat{\sigma} = \begin{bmatrix} 1 & 0 \\ 0 & -1 \end{bmatrix}$$

จากสมการที่ (2.1) แมมิลโทเนียนของระบบประกอบด้วยสองพจน์ ไดแก่ พจน์ที่หนึ่ง คือ พลังงานจลน์ของอิเล็กตรอนอิสระในโลหะ และพจน์ที่สอง คือ พลังงานศักย์ ซึ่งจะรวมไปถึงพจน์ที่ใช้อธิบายทิศทางสปินของอิเล็กตรอนด้วย และพจน์ดังกล่าวจะใช้กำหนดทิศทางแมกเน่ไดเซ็นของวัสดุ เพอร์โรมากเนต ดังแสดงในภาพประกอบ 2.2 นอกจากนี้ในทางกลศาสตร์ควบคุมด้วย พนว่า การแก้ปัญหาค่าเจาะจงของแมมิลโทเนียนที่มีสองพจน์ สามารถแยกการคำนวณได้เป็นสองส่วน กล่าวคือ คำนวณในส่วนของพจน์พลังงานจลน์ของอิเล็กตรอน แล้วจึงคำนวณพจน์ของพลังงานศักย์

จากการแก้ปัญหาค่าเจาะจงจะได้ว่า ค่าเจาะจงของพจน์อิเล็กตรอนอิสระสามารถเขียนได้ดังนี้

$$E = \frac{\hbar^2 q^2}{2m} + E_F \quad (2.7)$$

โดยที่ q คือ ขนาดโมเมนตัมของอิเล็กตรอนในโลหะ และ E_F คือ ระดับพลังงานเฟอร์เมิร์มของโลหะ ซึ่งวัดจากจุดศูนย์ของแຄบพลังงานถึงจุดกำเนิด จากสมการที่ (2.7) เขียนความสัมพันธ์ระหว่างพลังงาน E กับโมเมนตัม q ได้ดังนี้



ภาพประกอบ 2.3 แຄบพลังงานของอิเล็กตรอนในโลหะ โดยที่ E_F คือ ระดับพลังงานเฟอร์เมิร์มของโลหะ \uparrow, \downarrow คือ พิศทางสpinของอิเล็กตรอนทั้งหมดที่มีพิศซึ้งและลง $r_{\uparrow}, r_{\downarrow}$ คือ แม่เหล็กดูดของคลื่นอิเล็กตรอนที่ต้องกลับสpinขึ้นและลง ตามลำดับ และเส้นโค้งแทนแຄบพลังงานที่อิเล็กตรอนสามารถอยู่ได้

จากภาพประกอบ 2.3 เมื่อพิจารณาที่ขนาดโมเมนตัมเดียวกัน พบว่า อิเล็กตรอนที่มีสpin ต่างกันจะมีพลังงานเท่ากัน กล่าวคือ อิเล็กตรอนสามารถส่งผ่านและสะท้อนกลับได้ทั้งแบบสpinขึ้นและสpinลง นอกจากนี้การตอกกระแทบและสะท้อนกลับดังกล่าวจะคิดที่ระดับพลังงานเดียวกัน นั่นคือ เป็นการกระเจิงแบบอนุรักษ์พลังงานและโมเมนตัม ดังนั้น ผังรีซั่นคลื่นของพจน์อิเล็กตรอนอิสระดังภาพประกอบ 2.3 มีค่าเท่ากัน

$$\psi(x) = ae^{iqx} + be^{-iqx} \quad (2.8)$$

เมื่อ a และ b คือ แม่เหล็กดูดของคลื่นตอกกระแทบและสะท้อนกลับ ตามลำดับ

จากสมการแม่เหล็กเหนี่ยวนะของระบบ เมื่อพิจารณาพจน์ที่แสดงสมบัติทางด้านแม่เหล็กจะได้ว่า

$$\hat{H}_{Ferro} = E_{ex} \hat{\mathbf{m}} \cdot \hat{\boldsymbol{\sigma}} \quad (2.9)$$

โดยที่ E_{ex} คือ พลังงานแลกเปลี่ยนของเพอร์โรมากเนต ซึ่งวัดจากจุดต่ำสุดของแถบพลังงานหลัก (Majority spin band) ถึงจุดต่ำสุดของแถบพลังงานรอง (Minority spin band) โดยระยะห่างระหว่าง แถบพลังงานทั้งสองเส้นมีค่าเท่ากับ $2E_{ex}$ ดังนั้น เมื่อแทนสมการที่ (2.5) และ (2.6) ลงในสมการที่ (2.9) จะได้ว่า

$$\begin{aligned} \hat{H}_{Ferro} &= E_{ex} \hat{\boldsymbol{\sigma}}_z \\ &= E_{ex} \begin{bmatrix} 1 & 0 \\ 0 & -1 \end{bmatrix} \\ \hat{H}_{Ferro} &= \begin{bmatrix} E_{ex} & 0 \\ 0 & -E_{ex} \end{bmatrix} \end{aligned} \quad (2.10)$$

จากการแก้ปัญหาค่าเจาะจงในสมการที่ (2.10) จะได้ว่า $E = \pm E_{ex}$ และเมื่อนำค่าที่ได้นี้ไปหา พังก์ชันคลื่น จะได้พังก์ชันคลื่นที่สอดคล้องกับค่าเจาะจงดังกล่าวเป็น 2 กรณี ดังนี้

กรณีที่ 1 เมื่อ $E = +E_{ex}$ จะได้พังก์ชันคลื่นที่แสดงสมบัติทางด้านสpin (Spinor part) คือ

$$\psi_{FM}^{\uparrow} = \begin{bmatrix} 1 \\ 0 \end{bmatrix} \quad (2.11)$$

กรณีที่ 2 เมื่อ $E = -E_{ex}$ จะได้พังก์ชันคลื่นที่แสดงสมบัติทางด้านสpin คือ

$$\psi_{FM}^{\downarrow} = \begin{bmatrix} 0 \\ 1 \end{bmatrix} \quad (2.12)$$

พังก์ชันคลื่นตามสมการที่ (2.11) และ (2.12) ใช้เพื่ออธิบายลักษณะของสpin กล่าวคือ บ่งบอก ทิศทางการมีสpinขึ้นหรือขึ้ลงของอิเล็กตรอน โดยที่ $\begin{bmatrix} 1 \\ 0 \end{bmatrix}$ แทนพังก์ชันคลื่นของอิเล็กตรอนสpinขึ้น (Spin-up) และ $\begin{bmatrix} 0 \\ 1 \end{bmatrix}$ แทนพังก์ชันคลื่นของอิเล็กตรอนสpinลง (Spin-down) ตามแนวแกน $+z$ และ $-z$ ตามลำดับ



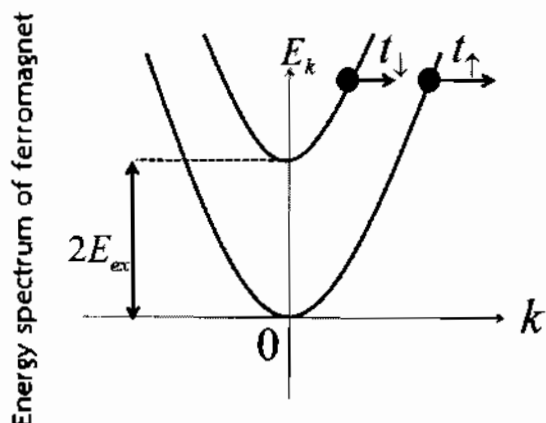
จากการคำนวณเบื้องต้นสามารถเขียนพลังงานรวมของระบบ ซึ่งเป็นผลรวมของพจน์ พลังงานจลน์และพจน์ที่แสดงลมบีตทางด้านสปินได้ดังนี้

$$E = E_1 + E_2 \quad (2.13)$$

เมื่อ $E_1 = \frac{\hbar^2 k^2}{2m^*}$ และ $E_2 = \pm E_{ex}$ จะได้ว่า

$$E = \frac{\hbar^2 k^2}{2m^*} \pm E_{ex} \quad (2.14)$$

ค่าพลังงานจะจงดังสมการที่ (2.14) สามารถนำมาหาความสัมพันธ์ระหว่าง พลังงาน E_k และไมemen ดัม k ได้ ดังภาพประกอบด่อไปนี้



ภาพประกอบ 2.4 แบบพลังงานของเฟอร์โรแมกเนต โดยเส้นโค้งที่อยู่ด้านนอกแทนแบบพลังงานของ อิเล็กตรอนสปินขึ้น ซึ่งเป็นแบบพลังงานหลัก และเส้นโค้งที่อยู่ด้านในแทนแบบพลังงานของอิเล็กตรอน ลับนลง ซึ่งเป็นแบบพลังงานรอง โดยที่ t_\downarrow และ t_\uparrow คือ แอมพลิจูดของคลื่นอิเล็กตรอนส่งผ่านแบบสปิน ขึ้นและสปินลง ตามลำดับ

ในทางกลศาสตร์ความต้นฟังก์ชันศึกษา ประกอบด้วย พจน์ที่ขึ้นอยู่กับตำแหน่งและพจน์ที่ใช้อธิบายสักษณะของสปิน ซึ่งเป็นการนำฟังก์ชันคลื่นมาคูณกัน ดังนั้นจะได้ว่า

$$\psi_{(x)} = \psi_{(x)spinor} \psi_{(x)spatial} \quad (2.15)$$

เมื่อ ψ_{spinor} คือ พังก์ชันคลีนที่ใช้อธิบายลักษณะของสpin และ $\psi_{spatial}$ คือ พังก์ชันคลีนที่ขึ้นอยู่กับตำแหน่ง ดังนั้น จากการแก้แยมิลโทเนียนของระบบ สามารถเขียนพังก์ชันคลีนได้เป็น 2 สมการดังนี้

เมื่อค่าเจาะจง $E = \frac{\hbar^2 k^2}{2m} + E_\alpha$ จะได้พังก์ชันคลีนเป็น

$$\psi_{(x)}^\uparrow = \begin{bmatrix} 1 \\ 0 \end{bmatrix} e^{ik_x x} \quad (2.16)$$

โดยที่

$$k_\uparrow = \sqrt{\frac{2m^*(E + E_\alpha)}{\hbar^2}} \quad (2.18)$$

เมื่อค่าเจาะจง $E = \frac{\hbar^2 k^2}{2m} - E_\alpha$ จะได้พังก์ชันคลีนเป็น

$$\psi_{(x)}^\downarrow = \begin{bmatrix} 0 \\ 1 \end{bmatrix} e^{ik_x x} \quad (2.19)$$

โดยที่

$$k_\downarrow = \sqrt{\frac{2m^*(E - E_\alpha)}{\hbar^2}} \quad (2.20)$$

2.2 พังก์ชันคลีนในแต่ละบริเวณ

จากการแก้ปัญหาค่าเจาะจง โดยใช้แยมิลโทเนียนของระบบดังสมการที่ 2.1 พบว่า จะได้พังก์ชันคลีนของวัสดุโลหะและเฟอร์โรแมกเนต ตามสมการที่ (2.8) (2.16) และ (2.19) ตามลำดับ จากสมการดังกล่าวทำให้สามารถเขียนพังก์ชันคลีนในแต่ละบริเวณได้ ซึ่งระบบจะแบ่งการพิจารณาออกเป็นสองบริเวณ ดังภาพประกอบ 2.1 เนื่องจากแบบพลังงานของเฟอร์โรแมกเนตดังภาพประกอบ 2.4 มีทั้งหมดสองเส้น ซึ่งเกิดจากการแยกของแบบพลังงาน (Energy splitting) โดยแต่ละเส้นมีทิศทาง

สเป็นของอิเล็กตรอนตรงข้ามกัน ดังนั้น เมื่อนำโลหะต่อเข้ากับเฟอร์โรแมกเนต จึงทำให้ฟังก์ชันคลื่นของฝั่งโลหะต้องพิจารณาทิศทางสเป็นของอิเล็กตรอนร่วมด้วย กล่าวคือ อิเล็กตรอนสามารถตอบโต้ที่สเป็นขึ้นและสเป็นลง ซึ่งสามารถแสดงได้ดังต่อไปนี้

กรณีอิเล็กตรอนตกรอบสเป็นขึ้น ฟังก์ชันคลื่นสามารถเขียนได้เป็น

$$\psi_M^{(\uparrow)}(r) = \left(\begin{bmatrix} 1 \\ 0 \end{bmatrix} e^{iq_x r} + \begin{bmatrix} r_{q\uparrow} \\ 0 \end{bmatrix} e^{-iq_x r} + \begin{bmatrix} 0 \\ r_{q\downarrow} \end{bmatrix} e^{-iq_x r} \right) e^{i\bar{q}_y r} \quad (2.21)$$

กรณีอิเล็กตรอนตกรอบสเป็นลง ฟังก์ชันคลื่นสามารถเขียนได้เป็น

$$\psi_M^{(\downarrow)}(r) = \left(\begin{bmatrix} 0 \\ 1 \end{bmatrix} e^{iq_x r} + \begin{bmatrix} r_{q\uparrow} \\ 0 \end{bmatrix} e^{-iq_x r} + \begin{bmatrix} 0 \\ r_{q\downarrow} \end{bmatrix} e^{-iq_x r} \right) e^{i\bar{q}_y r} \quad (2.22)$$

เมื่อ $\psi_M^{(\uparrow)}(r)$ คือ ฟังก์ชันคลื่นของอิเล็กตรอนตกรอบสเป็นขึ้น, $\psi_M^{(\downarrow)}(r)$ คือ ฟังก์ชันคลื่นของอิเล็กตรอนตกรอบสเป็นลง, $r_{q\uparrow}$ และ $r_{q\downarrow}$ คือ สัมประสิทธิ์การสะท้อนกลับของอิเล็กตรอนสเป็นขึ้น และสเป็นลง ตามลำดับ, \bar{q}_y คือ โมเมนต์ในทิศทางขานานกับรอยต์ และ x_y คือ เวกเตอร์บวกตำแหน่งที่อยู่ในทิศทางขานานกับรอยต์

จากฟังก์ชันคลื่นของอิเล็กตรอนฝั่งโลหะดังสมการที่ (2.21) และ (2.22) จะเห็นว่า แต่ละสมการประกอบด้วยสามพจน์ ได้แก่ พจน์ที่หนึ่งของทั้งสองสมการ คือ คลื่นอิเล็กตรอนตกรอบสเป็นขึ้น $\psi_M^{\uparrow}(r) = \begin{bmatrix} 1 \\ 0 \end{bmatrix} e^{iq_x r}$ และคลื่นอิเล็กตรอนตกรอบสเป็นลง $\psi_M^{\downarrow}(r) = \begin{bmatrix} 0 \\ 1 \end{bmatrix} e^{iq_x r}$ ตามลำดับ โดยคลื่นตั้งกล่าวจะเคลื่อนที่ตามแนวแกน $+x$ จากภาพประกอบ 2.1 จะเห็นได้ว่า ในแบบพลังงานของโลหะที่ค่าโมเมนต์เดียวกัน สามารถพบทั้งอิเล็กตรอนสเป็นขึ้นและสเป็นลง ด้วยเหตุนี้ในการคำนวณจึงต้องพิจารณาการตกรอบของอิเล็กตรอนทั้งสองแบบ พจน์ที่สอง คือ คลื่นอิเล็กตรอนสะท้อนกลับสเป็นขึ้น $\psi_M^{\uparrow}(r) = \begin{bmatrix} r_{q\uparrow} \\ 0 \end{bmatrix} e^{-iq_x r}$ และพจน์ที่สาม คือ คลื่นอิเล็กตรอนสะท้อนกลับสเป็นลง $\psi_M^{\downarrow}(r) = \begin{bmatrix} r_{q\downarrow} \\ 0 \end{bmatrix} e^{-iq_x r}$ จะเห็นได้ว่า พจน์ที่สองจะเหมือนกันทั้งสองสมการ นั่นคือ อิเล็กตรอนมีโอกาสสะท้อนกลับได้ทั้งอิเล็กตรอนสเป็นขึ้นและสเป็นลง แม้ว่าจะเป็นการตกรอบของอิเล็กตรอนที่มีสเป็นขึ้นหรือสเป็นลงก็ตาม นอกจากนี้ ฟังก์ชันคลื่นของฝั่งเฟอร์โรแมกเนตสามารถเขียนได้ดังนี้

$$\psi_{FM}(r) = \left(t_{k\uparrow} \begin{bmatrix} 1 \\ 0 \end{bmatrix} e^{ik_x r} + t_{k\downarrow} \begin{bmatrix} 0 \\ 1 \end{bmatrix} e^{-ik_x r} \right) e^{i\tilde{k}_x r} \quad (2.23)$$

เมื่อ $\psi_{FM}(r)$ คือ พังก์ชันคลีนในผังของเพอร์โรแมกเนต $t_{k\uparrow}$, $t_{k\downarrow}$ คือ สัมประสิทธิ์การส่งผ่านของ อิเล็กตรอนspinขึ้นและspinลง ตามลำดับ และ \tilde{k}_x คือ โมเมนตัมในทิศทางขวางกับรอยต่อ และจาก สมการที่ (2.23) พังก์ชันคลีนของผังเพอร์โรแมกเนตประกอบไปด้วยสองพจน์ ได้แก่ พจน์ที่หนึ่ง คือ คลีนอิเล็กตรอนส่งผ่านspinขึ้น $\psi_{FM}^+(r) = t_{k\uparrow} \begin{bmatrix} 1 \\ 0 \end{bmatrix} e^{ik_x r}$ และพจน์ที่สอง คือ คลีนอิเล็กตรอนส่งผ่าน spinลง $\psi_{FM}^-(r) = t_{k\downarrow} \begin{bmatrix} 0 \\ 1 \end{bmatrix} e^{-ik_x r}$ ดังนั้น อิเล็กตรอนมีโอกาสส่งผ่านทั้งอิเล็กตรอนspinขึ้นและspinลง

2.3 เงื่อนไขขอบเขต (Boundary conditions)

จากการพิจารณาสมการพังก์ชันคลีนรวมของวัสดุโลหะและเพอร์โรแมกเนต ดังสมการที่ (2.21) (2.22) และ (2.23) พบว่า ปริมาณที่ต้องการคำนวณหา ประกอบไปด้วย สัมประสิทธิ์การสะท้อนกลับ ของอิเล็กตรอนspinขึ้น ($t_{k\uparrow}$), สัมประสิทธิ์การสะท้อนกลับของอิเล็กตรอนspinลง ($t_{k\downarrow}$), สัมประสิทธิ์ การส่งผ่านของอิเล็กตรอนspinขึ้น ($t_{k\uparrow}$) และสัมประสิทธิ์การส่งผ่านของอิเล็กตรอนspinลง ($t_{k\downarrow}$) ตามลำดับ ดังนั้น การแก้ปัญหาเพื่อหาค่าสัมประสิทธิ์ข้างต้น สามารถทำได้โดยการใช้เงื่อนไขขอบเขต ดังต่อไปนี้

1) พังก์ชันคลีนของอิเล็กตรอนมีค่าต่อเนื่องที่รอยต่อ

$$\psi_M(x=0^-) = \psi(0) = \psi_M(x=0^+) \quad (2.24)$$

2) อนุพันธ์อันดับที่หนึ่ง (First derivative) ของพังก์ชันคลีนไม่ต่อเนื่อง ณ ที่รอยต่อ เนื่องจาก มีพลังงานศักย์เกิดขึ้น ณ รอยต่อ กล่าวคือ เมื่อนำวัสดุสองชนิดมาต่อ กันจะไม่สามารถทำให้วัสดุทั้งสอง รวมกันเป็นเนื้อเดียวได้อย่างสมบูรณ์ ดังนั้น จะได้ว่า

$$\eta \frac{d\psi_{FM}(x)}{dx} \Big|_{x=0} - \frac{d\psi_M(x)}{dx} \Big|_{x=0} = 2q_F Z \psi(0) \quad (2.25)$$

เมื่อ $\eta = m_M^*/m_F^*$ เป็นอัตราส่วนมวลยังผลของอิเล็กตรอนในโลหะ (m_M^*) กับของเพอร์โรแมกเนต (m_F^*) โดยอัตราส่วนน้ำลายังผลตั้งก้าว จะช่วยให้ง่ายต่อการศึกษาผลของมวลยังผลของอิเล็กตรอนต่อค่า

ความน่าจะเป็นการสะท้อนกลับและการส่งผ่านของอิเล็กตรอน ถ้า E_F คือ ระดับพลังงานเพอร์มิชของโลหะ และ q_F คือ โมเมนตัม ณ ที่ระดับพลังงานเพอร์มิ พบร่วมกัน ที่

$$E_F = \frac{k^2 q_F^2}{2m^*} \quad (2.26)$$

ดังนั้น จากสมการที่ (2.26) สามารถเขียนให้อยู่ในรูปของโมเมนตัมที่เป็นพังก์ชันของพลังงานได้ดังนี้

$$q_F = \sqrt{\frac{2m^* E_F}{\hbar^2}} \quad (2.27)$$

เมื่อ q_F คือ เลขคลีนเพอร์มิ (Fermi wave vector) ของโลหะ และจากสมการที่ (2.25) จะได้ว่า Z คือ ความแรงของพลังงานศักย์ (Potential strength) ณ ที่รอยต่อ โดยที่

$$Z = \frac{m^* U}{\hbar^2 q_F^2} \quad (2.28)$$

ดังนั้น เมื่อพิจารณาการกระแสในระบบรอยต่อที่ประกอบด้วย พลังงานศักย์ที่ทำให้เกิดการกระแสแบบปกติและแบบสปีนพลิกกลับ จะได้ว่า

$$Z = \begin{bmatrix} Z_0 & Z_f \\ Z_f & Z_0 \end{bmatrix} \quad (2.29)$$

เมื่อ Z_0 คือ ค่าพลังงานศักย์ที่ทำให้เกิดการกระแสแบบปกติ ซึ่งกำแหงศักย์ชนิดนี้จะเกิดขึ้นเมื่อน้ำวัสดุ สองชนิดมาต่อกัน เนื่องจากในเชิงปฏิบัติไม่สามารถทำให้วัสดุทั้งสองด้านเป็นเนื้อเดียวกันได้ และ Z_f คือ ค่าพลังงานศักย์ที่ทำให้เกิดการกระแสแบบสปีนพลิกกลับ โดยพลังงานศักย์ชนิดนี้สามารถทำให้เกิดขึ้นได้จริง ด้วยการผิงไอออนที่มีลิมบัติทางด้านแม่เหล็กลงไปที่บริเวณรอยต่อ และเนื่องจากในการคำนวณ ได้มีการแบ่งการดักกระแสของอิเล็กตรอนออกเป็นสปีนขึ้นและสปีนลง ดังนั้น การคำนวณค่า สัมประสิทธิ์ต่างๆ จากเงื่อนไขขอบเขต จึงแบ่งออกเป็น 2 กรณี ดังนี้

2.3.1 กรณีการตอกระบบของอิเล็กตรอนสpinขึ้น

จากเงื่อนไขขอบเขตในข้อที่ 1 นำมานาความสัมพันธ์ของสัมประสิทธิ์ต่างๆ ในรูปของสมการ โดยการแทนฟังก์ชันคลื่นของอิเล็กตรอนผิ่งโลหะดังสมการที่ (2.21) และฟังก์ชันคลื่นของอิเล็กตรอนผิ่ง เฟอร์โรเมกเนต ดังสมการที่ (2.23) ลงในสมการที่ (2.24) จะได้ว่า

$$1 + r_{\uparrow} = t_{\uparrow} \quad (2.30)$$

$$r_{\downarrow} = t_{\downarrow} \quad (2.31)$$

จากเงื่อนไขขอบเขตในข้อที่ 2 สามารถนำมานาความสัมพันธ์ของสัมประสิทธิ์ต่างๆ ได้โดยการแทน สมการที่ (2.21) และ (2.23) ลงในสมการที่ (2.25) จะได้ว่า

$$iqr_{\uparrow} + (\eta ik_{\uparrow} - 2q_F Z_0) t_{\uparrow} - 2q_F Z_f t_{\downarrow} = iq \quad (2.32)$$

$$iqr_{\downarrow} + (\eta ik_{\uparrow} - 2q_F Z_0) t_{\downarrow} - 2q_F Z_f t_{\uparrow} = 0 \quad (2.33)$$

2.3.2 กรณีการตอกระบบของอิเล็กตรอนสpinลง

สัมประสิทธิ์ต่างๆ ในกรณีการตอกระบบของอิเล็กตรอนสpinลง สามารถหาได้จากการใช้ เงื่อนไขขอบเขตข้อที่ 1 นั่นคือ แทนฟังก์ชันคลื่นของอิเล็กตรอนผิ่งโลหะ ดังสมการที่ (2.22) และฟังก์ชัน คลื่นของอิเล็กตรอนผิ่งเฟอร์โรเมกเนต ดังสมการที่ (2.23) ลงในสมการที่ (2.24) จะได้ว่า

$$r_{\uparrow} = t_{\uparrow} \quad (2.34)$$

$$1 + r_{\downarrow} = t_{\downarrow} \quad (2.35)$$

จากเงื่อนไขขอบเขตในข้อที่ 2 นำมานาความสัมพันธ์ของสัมประสิทธิ์ทั้งหมดในรูปของสมการได้โดย การแทนสมการที่ (2.23) และ (2.24) ลงในสมการที่ (2.25) ซึ่งจะได้ว่า

$$iqr_{\uparrow} + (\eta ik_{\downarrow} - 2q_F Z_0) t_{\uparrow} - 2q_F Z_f t_{\downarrow} = 0 \quad (2.36)$$

$$iqr_{\downarrow} + (\eta ik_{\downarrow} - 2q_F Z_0) t_{\downarrow} - 2q_F Z_f t_{\uparrow} = iq \quad (2.37)$$

จากสมการที่ (2.34) (2.35) (2.36) และ (2.37) สามารถหาค่าสัมประสิทธิ์การสะท้อนกลับ τ_L , τ_T รวมทั้งสัมประสิทธิ์การส่งผ่าน t_L , t_T ได้ ดังนั้น เมื่อได้ค่าสัมประสิทธิ์ดังกล่าว จะสามารถหาค่าความน่าจะเป็นการสะท้อนกลับและการส่งผ่านได้ ซึ่งจะได้กล่าวถึงในหัวข้อถัดไป

2.4 ความน่าจะเป็นการส่งผ่านและการสะท้อนกลับ (Transmission and reflection probabilities)

จากหัวข้อ 2.3.1 และ 2.3.2 ได้มีการหาค่าสัมประสิทธิ์การสะท้อนกลับ รวมถึงสัมประสิทธิ์การส่งผ่านของอิเล็กตรอนทั้งสpinขึ้นและสpinลง โดยคำนวณหาจากสมการพิงก์ชันคลื่นรวมในแต่ละบริเวณ โดยใช้เงื่อนไขขอบเขต ซึ่งค่าสัมประสิทธิ์ต่างๆ เป็นตัวแปรที่นำมาใช้หาความน่าจะเป็นการส่งผ่านและการสะท้อนกลับของอิเล็กตรอนได้ โดยการแทนค่าสัมประสิทธิ์ดังกล่าวในสมการความหนาแน่นกระแสของความน่าจะเป็น (Probability current density) ดังสมการต่อไปนี้⁴

$$j = \frac{-i\hbar}{2m_e} (\psi^* \nabla \psi - \psi \nabla \psi^*) \quad (2.38)$$

จากรอยด์ของวัสดุโลหะและเฟอร์โรแมกเนต เมื่อเกิดการกระเจิงของคลื่น ณ บริเวณรอยด์ พบว่า ความหนาแน่นกระแสความน่าจะเป็น ประกอบไปด้วย ความหนาแน่นกระแสความน่าจะเป็นของ อิเล็กตรอนตกกระทบ (Probability current density of incident electrons; j_{in}) , ความหนาแน่นกระแสความน่าจะเป็นของอิเล็กตรอนสะท้อนกลับ (Probability current density of reflected electrons; j_{re}) และความหนาแน่นกระแสความน่าจะเป็นของอิเล็กตรอนส่งผ่าน (Probability current density of transmission electrons; j_{tr}) ด้วยเหตุนี้ ถ้าพิจารณาฝั่งโลหะ โดยแทนค่า พิงก์ชันคลื่นของอิเล็กตรอนตกกระทบทั้งสpinขึ้นและสpinลง ในสมการที่ (2.38) จะได้ว่า

$$j_{in}^{(\uparrow)} = \frac{\hbar q}{m_e^*} \quad (2.39)$$

$$j_{in}^{(\downarrow)} = \frac{\hbar q}{m_e^*} \quad (2.40)$$

จากสมการที่ (2.39) และ (2.40) เมื่อมีการตกกระทบของอิเล็กตรอนหนึ่งตัวที่เป็นสpinขึ้นหรือสpinลง พบว่า จะมีความหนาแน่นกระแสความน่าจะเป็นเท่ากัน นั่นคือ

$$j_{in}^{(\uparrow)} = j_{in}^{(\downarrow)} = \frac{\hbar q}{m_e^*} \quad (2.41)$$

นอกจากนี้เมื่อแทนฟังก์ชันคลีนการสะท้อนกลับของอิเล็กตรอนสpinขึ้นและสpinลง ในสมการที่ (2.38) จะได้ว่า

$$j_{re}^{(\uparrow)} = \frac{\hbar q}{m_M^*} |r_{q\uparrow}|^2 \quad (2.42)$$

$$j_{re}^{(\downarrow)} = \frac{\hbar q}{m_M^*} |r_{q\downarrow}|^2 \quad (2.43)$$

ในทำนองเดียวกัน เมื่อพิจารณาฝั่งเพอร์ปิร์แมกเนต โดยการแทนฟังก์ชันคลีนการส่งผ่านของอิเล็กตรอน สpinขึ้นและสpinลง ในสมการที่ (2.38) จะได้ว่า

$$j_{\pi}^{(\uparrow)} = \frac{\hbar k_{\uparrow}}{m_F^*} |\ell_{k\uparrow}|^2 \quad (2.44)$$

$$j_{\pi}^{(\downarrow)} = \frac{\hbar k_{\downarrow}}{m_F^*} |\ell_{k\downarrow}|^2 \quad (2.45)$$

จากความหนาแน่นกระแสความนำจะเป็นของการตกกระทบ ตามสมการที่ (2.41), (2.42) และ (2.43) สามารถคำนวณหาความนำจะเป็นการสะท้อนกลับ (Reflection probability; R) ได้จากค่า หัมบูร์ณของอัตราส่วนความหนาแน่นกระแสความนำจะเป็นของการสะท้อนกลับและความหนาแน่น กระแสความนำจะเป็นของการตกกระทบ ดังสมการต่อไปนี้

$$R = \left| \frac{j_{reflection}}{j_{incident}} \right| \quad (2.46)$$

เมื่อใช้สมการที่ (2.46) เพื่อหาค่าความนำจะเป็นการสะท้อนกลับ จะได้ว่า อิเล็กตรอนตก กระทบบริเวณรอยต่อ โดยมีพลังงานศักย์ค่าหนึ่งจะทำให้อิเล็กตรอนสpinขึ้นหรือสpinลงมีโอกาส สะท้อนกลับได้เท่ากัน กล่าวคือ สามารถหาได้ทั้งความนำจะเป็นการสะท้อนกลับของอิเล็กตรอนสpinขึ้น R_{\uparrow} และสpinลง R_{\downarrow} โดยแสดงได้ดังนี้

$$R_{\uparrow} = |r_{q\uparrow}|^2 \quad (2.47)$$

$$R_{\downarrow} = |r_{q\downarrow}|^2 \quad (2.48)$$

ความน่าจะเป็นการส่งผ่านของอิเล็กตรอน (Transmission probability; T) คำนวณได้จากอัตราส่วนของค่าสมบูรณ์ความหนาแน่นกระแสความน่าจะเป็นการส่งผ่านและความหนาแน่นกระแสความน่าจะเป็นการตกกระทบ ดังสมการต่อไปนี้

$$T = \left| \frac{j_{\text{transmission}}}{j_{\text{incident}}} \right| \quad (2.49)$$

เมื่อแทนค่าความหนาแน่นกระแสความน่าจะเป็นจากสมการที่ (2.41) (2.44) และ (2.45) ลงในสมการที่ (2.49) จะได้ความน่าจะเป็นการส่งผ่านของอิเล็กตรอนสูงขึ้นและสูงลง ดังสมการต่อไปนี้

$$T_{\uparrow} = \frac{k_{\uparrow} m_M^*}{q m_F^*} |t_{k\uparrow}|^2 \quad (2.50)$$

$$T_{\downarrow} = \frac{k_{\downarrow} m_M^*}{q m_F^*} |t_{k\downarrow}|^2 \quad (2.51)$$

บทที่ 3

ผลการคำนวณและการวิเคราะห์ผล

การคำนวณหาค่าความนำจะเป็นการลงทะเบียนกลับ และการส่งผ่านของอิเล็กตรอนมีปริมาณทางพิสิกส์ที่เกี่ยวข้อง ได้แก่ พลังงานศักย์ที่ทำให้เกิดการกระแสแบบปกติ ซึ่งเกิดขึ้นจากการนำวัสดุสองชนิดมาต่อ กัน พลังงานศักย์ที่ทำให้เกิดการกระแสแบบสปินพอลิกกลับ ที่เกิดจากการฝังไอออนที่มีสมบัติทางด้านแม่เหล็กลงไปที่บริเวณรอยต่อ และมวลยังคงของอิเล็กตรอน ซึ่งเกิดจากอิเล็กตรอนมีมวลต่างกันเมื่อเคลื่อนที่อยู่ในวัสดุต่างๆ นิด โดยการคำนวณจะพิจารณาให้อิเล็กตรอนตกกระทบเรียบต่อ 3 กรณี คือ อิเล็กตรอนตกกระทบสปินขึ้น อิเล็กตรอนตกกระทบสปินลง และอิเล็กตรอนตกกระทบทั้งสปินขึ้นและสปินลง ในที่นี้ผลการคำนวณของแต่ละตัวแปรจะเปรียบเทียบกับค่าความนำจะเป็นต่าง ๆ ประกอบด้วย T_\uparrow , T_\downarrow , R_\uparrow และ R_\downarrow ตามลำดับ

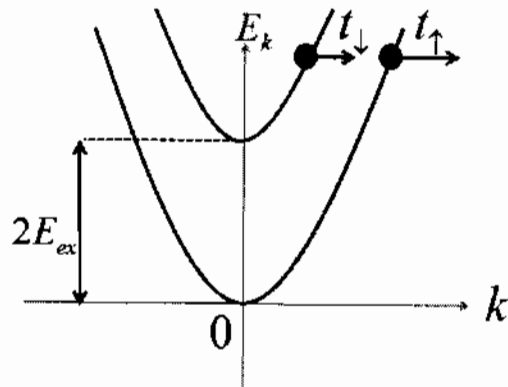
3.1 ผลของพลังงานศักย์ที่ทำให้เกิดการกระแสแบบปกติ: Z_0

เนื่องจากวัสดุเพอร์โรมากเนตสามารถเกิดการส่งผ่านหรือลงทะเบียนกลับได้ทั้งอิเล็กตรอนสปินขึ้น และสปินลง ดังแสดงในภาพประกอบ 2.1 เพราะฉะนั้นจึงพิจารณาการตกกระทบของอิเล็กตรอนผิ้งโลหะได้เป็น 2 กรณี คือ อิเล็กตรอนตกกระทบสปินขึ้นและสปินลง ดังนั้น การศึกษาการส่งผ่านเกี่ยวกับผลของพลังงานศักย์ที่ทำให้เกิดการกระแสแบบปกติ จะพิจารณาให้ Z_0 อยู่ในช่วง $0.0 \leq Z_0 \leq 2.0$ เนื่องจากวัสดุที่ศึกษามีค่าพลังงานศักย์ตั้งกล่าวไว้ รวมทั้งกำหนดให้อัตราส่วนมวลยังคงของอิเล็กตรอนระหว่างวัสดุทั้งสองเท่ากัน กล่าวคือ $\eta = 1$ ซึ่ง $\eta = \frac{m_H^*}{m_F^*}$ โดยที่ m_H^* คือ มวลยังคงของอิเล็กตรอนผิ้งโลหะ และ m_F^* คือ มวลยังคงของอิเล็กตรอนผิ้งเพอร์โรมากเนต

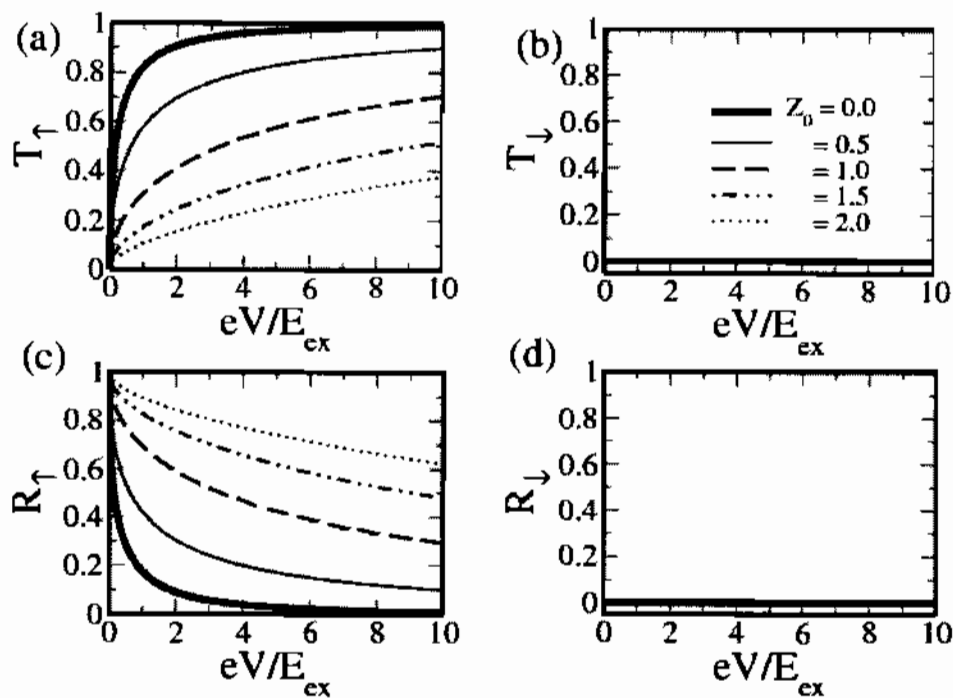
3.1.1 กรณีการตกกระทบของอิเล็กตรอนสปินขึ้น

จากภาพประกอบ 3.2 จะเห็นได้ว่า การส่งผ่านและการลงทะเบียนกลับเกิดขึ้นเฉพาะ T_\uparrow และ R_\uparrow เท่านั้น ในทางตรงข้าม T_\downarrow และ R_\downarrow มีค่าเป็นศูนย์ กล่าวคือ อิเล็กตรอนสปินลงไม่เกิดการส่งผ่านและการลงทะเบียนกลับ ทั้งนี้จากภาพประกอบ 3.2(a) และ 3.2(c) การส่งผ่านและการลงทะเบียนกลับตั้งกล่าวเริ่มต้นที่ $eV = 0$ เนื่องจาก เป็นบริเวณจุดต่ำสุดของแบบพลังงานหลัก ซึ่งถูกครอบครองด้วยสถานะของอิเล็กตรอนสปินขึ้น ตั้งภาพประกอบ 2.1 จึงเป็นเหตุผลให้อิเล็กตรอนสปินขึ้นสามารถส่งผ่านเรียบต่อได้ จากผลการคำนวณข้างต้น กล่าวได้ว่า พลังงานศักย์ที่ทำให้เกิดการกระแสแบบปกติ (Z_0) จะลดค่า

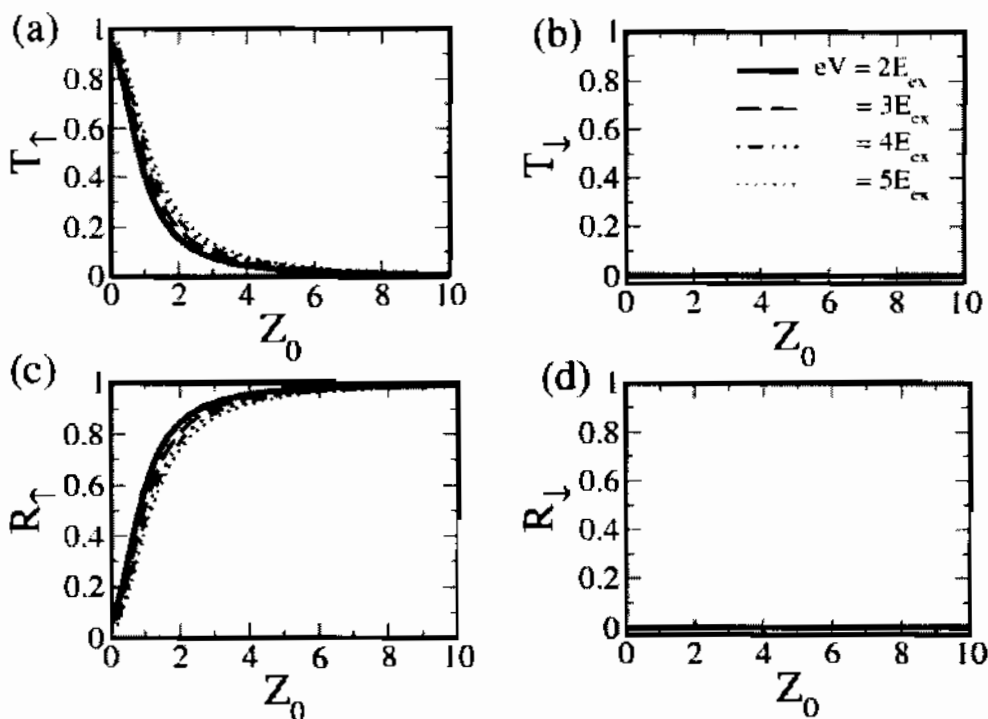
ความน่าจะเป็นการส่งผ่านของอิเล็กตรอนที่มีพิศทางเหมือนกับอิเล็กตรอนตอกกระหบ กล่าวคือ T_\uparrow มีค่าลดลง ดังนั้น Z_0 ไม่มีผลต่อการเปลี่ยนแปลงพิศทางสปินของอิเล็กตรอนตอกกระหบ



ภาพประกอบ 3.1 แกนพลังงานของเฟอร์โรแมกเนต ซึ่งประกอบไปด้วยแกนพลังงานหลักที่มีพิศทางแมกเนติเซชันของอิเล็กตรอนซึ่งขึ้น และแกนพลังงานรองที่มีพิศทางแมกเนติเซชันของอิเล็กตรอนซึ่งโดยที่ระยะห่างระหว่างจุดต่ำสุดของแกนพลังงานทั้งสองมีค่าเท่ากับ $2E_{ex}$



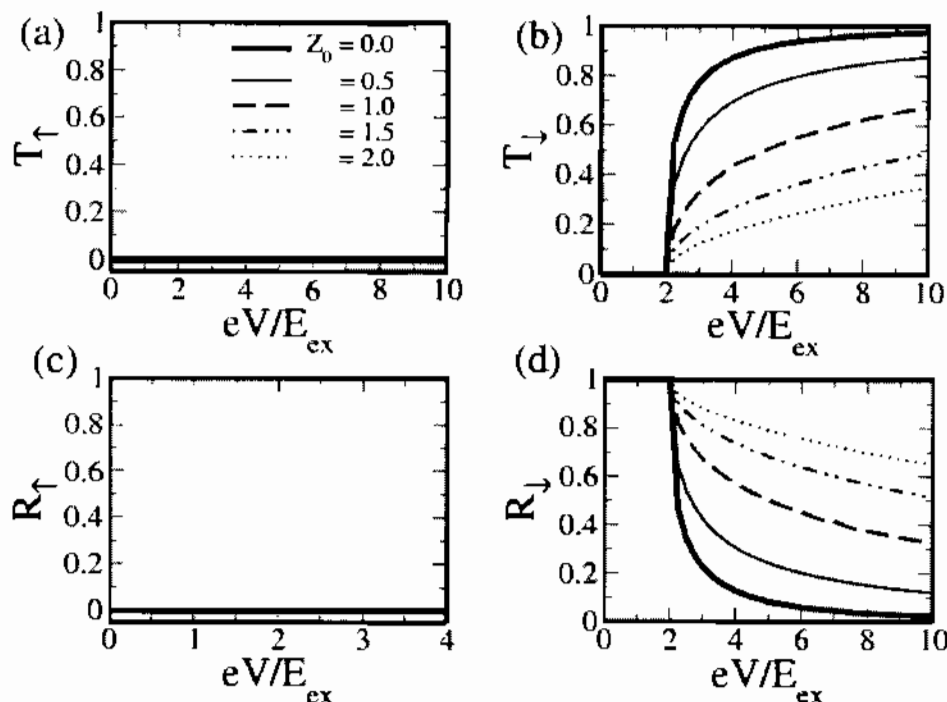
ภาพประกอบ 3.2 ความสัมพันธ์ระหว่างความน่าจะเป็นการส่งผ่าน (a) อิเล็กตรอนสปินขึ้น (b) อิเล็กตรอนสปินลง และการสะท้อนกลับ (c) อิเล็กตรอนสปินขึ้น (d) อิเล็กตรอนสปินลง ซึ่งเป็นฟังก์ชันของพลังงานที่ค่า Z_0 ต่างๆ เมื่อ $Z_0 = 0$ กรณีการตอกกระหบของอิเล็กตรอนสปินขึ้น



ภาพประกอบ 3.3 ความสัมพันธ์ระหว่างความนำจะเป็นการส่งผ่าน (a) อิเล็กตรอนสpinขึ้น (b) อิเล็กตรอนสpinลง และการสะท้อนกลับ (c) อิเล็กตรอนสpinขึ้น (d) อิเล็กตรอนสpinลง ซึ่งเป็นพังก์ชันของพลังงานศักย์ที่ทำให้เกิดการกระแสจั๊ว ที่ระดับพลังงาน (eV) ต่างๆ เมื่อ $Z_f = 0$ กรณีการทดลองของอิเล็กตรอนสpinขึ้น

จากการลดลงของค่าความนำจะเป็นการส่งผ่านของอิเล็กตรอนสpinขึ้น เมื่อพิจารณาให้พลังงานศักย์ที่ทำให้เกิดการกระแสจั๊วเพิ่มขึ้น ดังภาพประกอบ 3.2 จะเห็นแนวโน้มของการลดลงไม่ชัดเจน ดังนั้น เพื่อให้เห็นเด่นชัดจึงได้มีการหาความสัมพันธ์ระหว่างค่าความนำจะเป็นการส่งผ่านของ T_\uparrow , T_\downarrow , R_\uparrow และ R_\downarrow กับพลังงานศักย์ที่ทำให้เกิดการกระแสจั๊วเพิ่มขึ้น ดังแสดงในภาพประกอบ 3.3 จะได้ว่า การลดลงของค่าความนำจะเป็นของ T_\uparrow เป็นแบบเอกซ์โพเนนเชียล ดังแสดงในภาพประกอบ 3.3(a) นอกจากนี้ความนำจะเป็นการสะท้อนกลับ R_\uparrow มีการเพิ่มขึ้นแบบเอกซ์โพเนนเชียลสอดคล้องกับ T_\uparrow โดยการเพิ่มขึ้นหรือลดลงในลักษณะนี้นำไปทางด้านพิสิกส์หรือในงานวิศวกรรม

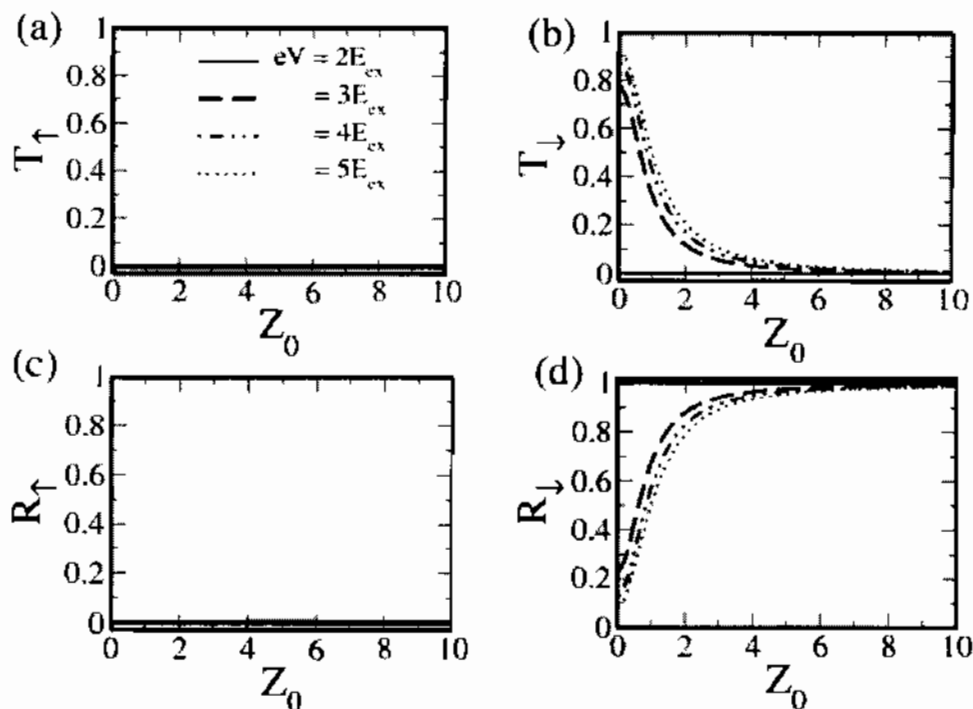
3.1.2 กรณีการตกกระแทบทองอิเล็กตรอนสpinซึ้ง



ภาพประกอบ 3.4 ความสัมพันธ์ระหว่างความน่าจะเป็นการส่งผ่าน (a) อิเล็กตรอนสpinซึ้ง (b) อิเล็กตรอนสpinลง และการสะท้อนกลับ (c) อิเล็กตรอนสpinซึ้ง (d) อิเล็กตรอนสpinลง ซึ่งเป็นพังก์ชันของพลังงานที่ค่า Z_0 ต่างๆ เมื่อ $Z_f = 0$ กรณีการตกกระแทบทองอิเล็กตรอนสpinซึ้ง

เมื่อกำหนดให้ Z_0 มีค่าเพิ่มขึ้น จะเห็นว่า T_{\downarrow} ลดน้อยลง และ R_{\downarrow} เพิ่มมากขึ้น ดังภาพประกอบ 3.4(b) และ 3.4(d) ตามลำดับ ซึ่งผลการคำนวณข้างต้นนี้ถูกยืนยันจากภาพประกอบ 3.2 ซึ่งกรณีดังกล่าวเป็นการพิจารณาอิเล็กตรอนตกกระแทบทองสpinซึ้ง แต่ในกรณีนี้เป็นการพิจารณาอิเล็กตกระบทสpinซึ้ง นั่นคือ Z_0 ไม่ทำให้สpinของอิเล็กตรอนเปลี่ยนทิศทาง ดังนั้น T_{\downarrow} และ R_{\downarrow} จึงมีค่าเป็นศูนย์ นอก จาก นี้ เมื่อพิจารณาการเพิ่มขึ้นหรือลดลงดังภาพประกอบ 3.4(b) และ 3.4(d) สรุกดีได้ว่า ค่าความน่าจะเป็นการส่งผ่านและการสะท้อนกลับของอิเล็กตรอนเริ่มขึ้นที่บริเวณ $eV = 2E_{ex}$ ซึ่งตรงกับจุดต่ำสุดของแบบพลังงานรอง ดังแสดงในภาพประกอบ 2.1 ทั้งนี้วัสดุเฟอร์โรแมกเนต ประกอบด้วยแบบพลังงานหลักที่ครอบคลุมด้วยอิเล็กตรอนสpinซึ้ง และแบบพลังงานรองที่ครอบคลุมด้วยอิเล็กตรอนสpinลง โดยระยะห่างระหว่างสองแบบพลังงานเท่ากับ $2E_{ex}$ ดังนั้น เมื่อพิจารณาให้อิเล็กตรอนลpinลงตกกระแทบ พบร่วม อิเล็กตรอนดังกล่าวไม่สามารถส่งผ่านรอยต่อไปได้ ด้วยเหตุนี้จึงทำ

ให้ค่าความนำจะเป็น T_f และ R_f มีค่าเป็นศูนย์ และการส่งผ่านของอิเล็กตรอนดังภาพประกอบ 3.4(b) จะเริ่มขึ้นเมื่ออิเล็กตรอนมีพลังงาน $eV = 2E_{ex}$

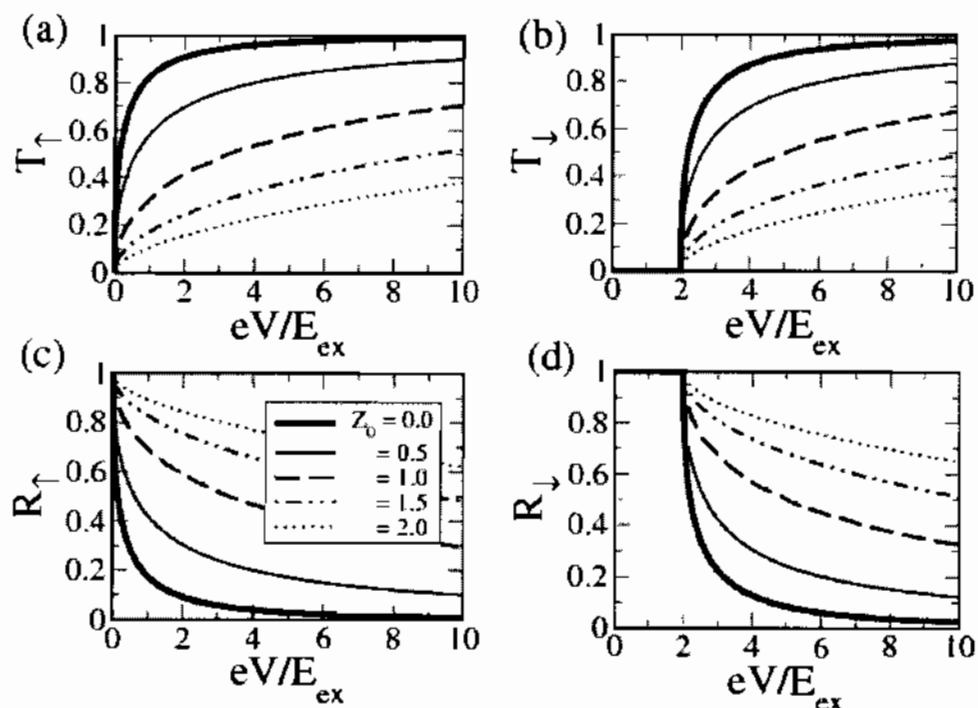


ภาพประกอบ 3.5 ความสัมพันธ์ระหว่างความนำจะเป็นการส่งผ่าน (a) อิเล็กตรอนspinขึ้น (b) อิเล็กตรอนspinลง และการสะท้อนกลับ (c) อิเล็กตรอนspinขึ้น (d) อิเล็กตรอนspinลง ซึ่งเป็นพังก์ชันของพลังงานศักย์ที่ทำให้เกิดการกระเจิงแบบปกติ ณ ที่ระดับพลังงาน (eV) ต่างๆ เมื่อ $Z_f = 0$ กรณีการทดลองของอิเล็กตรอนspinขึ้น

จากการประกอบ 3.5 การลดลงหรือเพิ่มขึ้นของ T_f และ R_f เป็นแบบเอกซ์โพเนนเชียล ซึ่งเหมือนกับกรณีของอิเล็กตรอนทดลองกระแทบ spinขึ้น แต่เมื่อพลังงาน $eV = 2E_{ex}$ ความนำจะเป็นดังกล่าวจะมีค่าเป็นศูนย์ จึงทำให้มองเห็นกราฟแค่สามเส้นดังภาพประกอบ 3.5(b) และ 3.5(d) เนื่องจากที่พลังงานดังกล่าวมีค่าเท่ากับพลังงาน ณ จุดต่ำสุดของแกนพลังงานรอง และเมื่อพิจารณาให้ Z_0 มีค่ามาก จะเห็นได้ว่า T_f มีค่าเข้าสู่ศูนย์ ซึ่งสอดคล้องกับ R_f ที่มีค่าเข้าสู่ 1 ซึ่งเป็นจริงตามหลักการทางฟิสิกส์ นั่นคือ วัสดุที่มีพลังงานศักย์ที่ร้อยต่อมาก ย่อมมีผลให้อิเล็กตรอนผ่านไปได้ยาก

3.1.3 กรณีการตอกกระบวนการของอิเล็กตรอนสpinซึ้นและซึ้ง

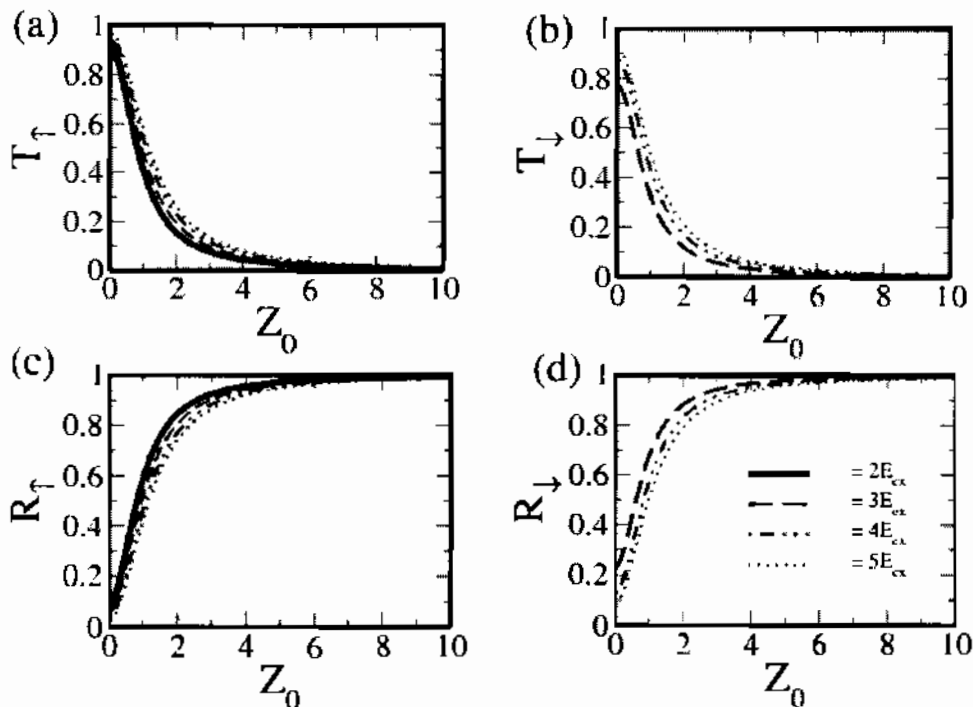
ในหัวข้อด้านบนนี้จะพิจารณาการส่งผ่านของอิเล็กตรอน โดยกำหนดให้อิเล็กตรอนตอกกระบวนการมี spinซึ้นและ spinซึ้ง ซึ่งมีลักษณะใกล้เคียงกับวัสดุจริงที่ไม่สามารถบอกได้ว่า อิเล็กตรอนตอกกระบวนการจะมี spinซึ้นหรือ spinลง ดังนั้น ผลการคำนวณที่ได้จึงเป็นเหมือนการรวมระหว่างหัวข้อ 3.3.1 และ 3.3.2 ซึ่งแสดงผลการคำนวณได้ดังภาพประกอบด้านล่าง



ภาพประกอบ 3.6 ความสัมพันธ์ระหว่างความน่าจะเป็นการส่งผ่าน (a) อิเล็กตรอน spinซึ้น (b) อิเล็กตรอน spinลง และการสะท้อนกลับ (c) อิเล็กตรอน spinซึ้น (d) อิเล็กตรอน spinลง ซึ่งเป็นพิรุณของพลังงานที่ค่า Z_0 ต่างๆ เมื่อ $Z_f = 0$ กรณีการตอกกระบวนการของอิเล็กตรอน spinซึ้นและซึ้ง

กรณีนี้เป็นการตอกกระบวนการของอิเล็กตรอน spinซึ้นและ spinลง ซึ่งภาพประกอบ 3.6 และ 3.7 แสดงให้เห็นได้ชัดเจนว่า การลดของ T_\uparrow และ T_\downarrow ที่เกิดจากผลของ Z_0 มีลักษณะเหมือนกัน นอกจากการเพิ่มขึ้นของ R_\uparrow และ R_\downarrow ก็มีลักษณะเช่นเดียวกัน แต่มีจุดเริ่มต้นของการส่งผ่านที่แตกต่างกัน นั่นคือ T_\uparrow และ R_\uparrow จะเริ่มจากจุดต่ำสุดของแบบพลังงานหลัก ในขณะที่ T_\downarrow และ R_\downarrow เริ่มจากจุดต่ำสุดของแบบพลังงานรอง กล่าวคือ เมื่ออิเล็กตรอนมีพลังงาน $eV = 2E_{ex}$ ดังนั้น

การตอกกระหบของอิเล็กตรอนที่มีพิศทางสpinแตกต่างกัน มีผลให้ลักษณะการส่งผ่านหรือการสะท้อนกลับคล้ายกัน แต่พลังงานของอิเล็กตรอนที่ใช้แตกต่างกัน

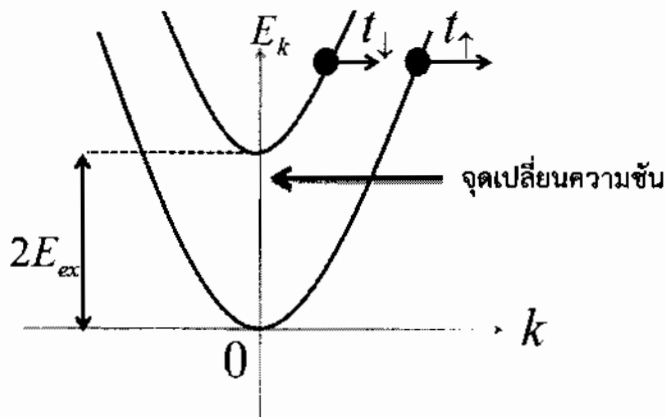


ภาพประกอบ 3.7 ความสัมพันธ์ระหว่างความน่าจะเป็นการส่งผ่าน (a) อิเล็กตรอนสpinขึ้น (b) อิเล็กตรอนสpinลง และการสะท้อนกลับ (c) อิเล็กตรอนสpinขึ้น (d) อิเล็กตรอนสpinลง ซึ่งเป็นพังก์ชันของพลังงานศักย์ที่ทำให้เกิดการกระแสเจิงแบบปกติ ณ ที่ระดับพลังงาน (eV) ต่างๆ เมื่อ $Z_f = 0$ กราฟการตอกกระหบของอิเล็กตรอนสpinขึ้นและขึ้ลง

3.2 ผลของพลังงานศักย์ที่ทำให้เกิดการกระแสเจิงแบบสpinพลิกกลับ: Z_f

จากการพิจารณาผลของพลังงานศักย์ที่ทำให้เกิดการกระแสเจิงแบบปกติ สังเกตได้ว่า ค่าความน่าจะเป็นการส่งผ่านของอิเล็กตรอนจะมีค่ามากขึ้น เมื่อ Z_0 มีค่าน้อย ในทางปฏิบัติเมื่อมีการนำวัสดุโลหะต่อเข้ากับวัสดุเฟอร์โรแมกเนต จะทำให้พลังงานศักย์ดังกล่าวเกิดขึ้นได้เอง โดยไม่สามารถเปลี่ยนแปลงหรือควบคุมความแรงของ Z_0 ได้ ดังนั้น เมื่อต้องการเพิ่มค่าความน่าจะเป็นการส่งผ่านในทางทฤษฎีจึงต้องเพิ่มผลของพลังงานศักย์ที่ทำให้เกิดการกระแสเจิงแบบสpinพลิกกลับเข้าไปยังร้อยด้วยในทางปฏิบัติจะสามารถสร้างได้ด้วยการผิงไอออนที่มีคุณสมบัติทางด้านแม่เหล็กลงไปยัง

บริเวณรอยต่อ พบว่า ผลการคำนวณดังกล่าวสามารถเกิดขึ้นได้จริงในผลการทดลอง และจะได้ค่าความน่าจะเป็นการส่งผ่านสูงสุด เมื่อ $Z_0 = Z_f$ ซึ่งสามารถแสดงได้ในผลการคำนวณดังต่อไปนี้

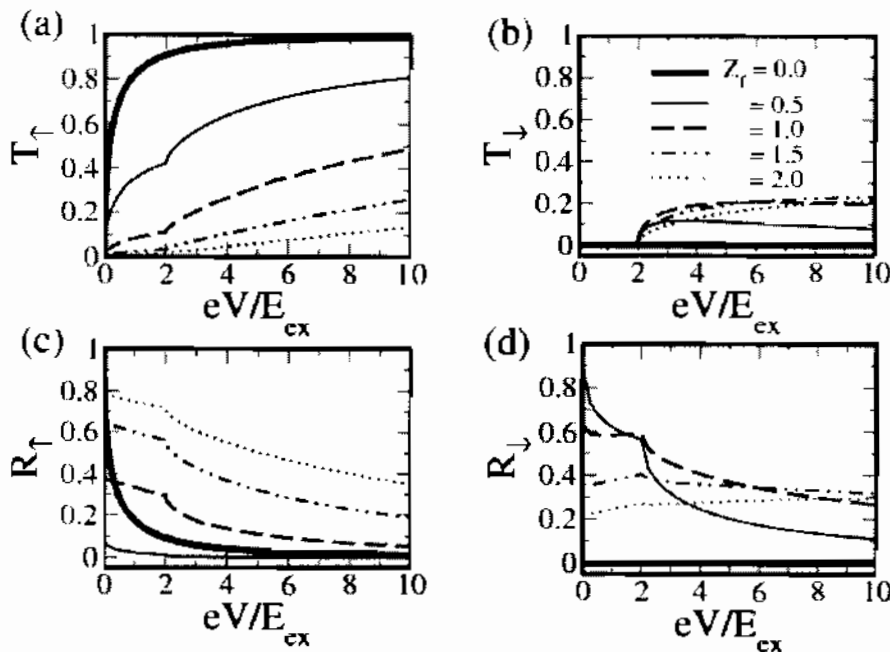


ภาพประกอบ 3.8 แบบพลังงานของเฟอร์โรแมกเนตที่แสดงจุดเปลี่ยนความน่าจะเป็นค่าความน่าจะเป็นการส่งผ่านของอิเล็กตรอนที่มีทิศทางเดียวกับอิเล็กตรอนต่อกระแทบ

3.2.1 กรณีการตอกกระแทบที่อิเล็กตรอนสpinขึ้น

ในหัวข้อ 3.1 ได้ทำการวิเคราะห์ผลของพลังงานศักย์ที่เกิดขึ้นได้เอง ดังนั้น ในหัวข้อนี้จะทำการพิจารณาพลังงานศักย์อีกหนึ่งชนิด นั่นคือ พลังงานศักย์ที่ทำให้เกิดการกระเจิงแบบบินพลิกกลับ โดยในทางปฏิบัติสามารถทำได้ด้วยการฝังไอออนที่มีคุณสมบัติทางด้านแม่เหล็กลงไปที่บริเวณรอยต่อ การฝังไอออนดังกล่าวจะทำให้เกิดสมบัติทางด้านฟิสิกส์ คือ การเปลี่ยนแปลงทิศทางสpinของอิเล็กตรอนต่อกระแทบ และทำให้เกิดการส่งผ่านของอิเล็กตรอนสpinตรงข้าม ดังนั้น การวิเคราะห์ผลการคำนวณของปรากฏการณ์ดังกล่าว สามารถพิจารณาได้ดังภาพประกอบ 3.9

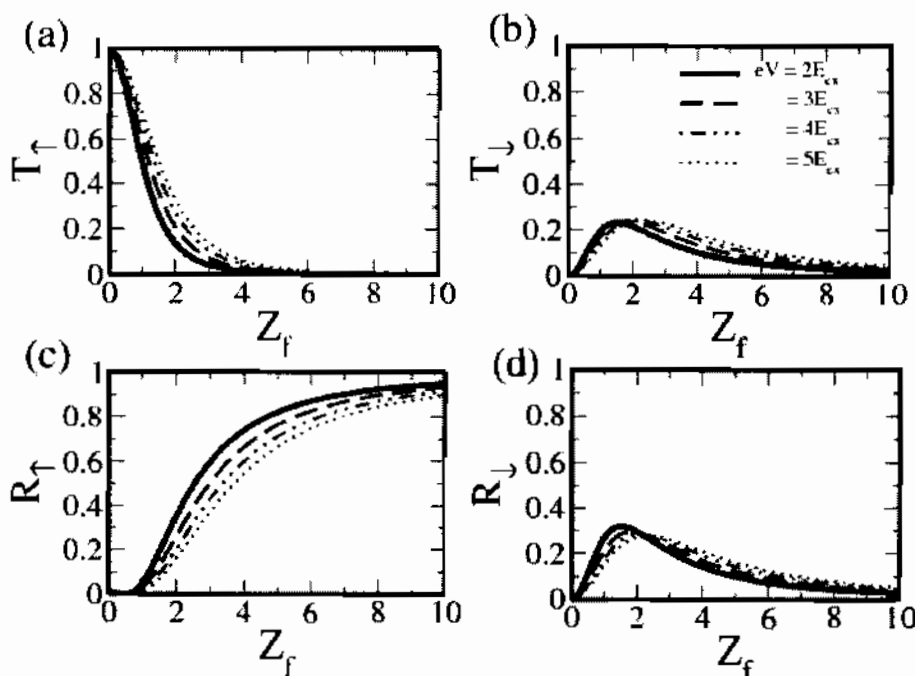
เมื่อพิจารณาการตอกกระแทบที่อิเล็กตรอนสpinขึ้น จะได้ว่า T_f ลดลง เมื่อ Z_f มีค่าเพิ่มขึ้นดังภาพประกอบ 3.9(a) โดยจะมีการเปลี่ยนแปลงความน่าจะเป็นการส่งผ่านของอิเล็กตรอนมีพลังงาน $eV = 2E_{ex}$ ซึ่งจะเห็นได้ว่า ที่พลังงาน $eV > 2E_{ex}$ ค่าความน่าจะเป็นการส่งผ่านของอิเล็กตรอนสpinขึ้นจะลดลงเร็วกว่าที่พลังงาน $eV < 2E_{ex}$ เนื่องจาก ณ ที่พลังงานต่ำกว่า $2E_{ex}$ มีโอกาสพนเฉพาะอิเล็กตรอนสpinขึ้น จึงทำให้ถูกคลดค่าโดย Z_f ด้วยความแรงคงที่ แต่ที่พลังงานสูงกว่า $2E_{ex}$ มีทั้งอิเล็กตรอนสpinขึ้นและสpinลง ดังแสดงในภาพประกอบ 3.8 เมื่อมีปริมาณอิเล็กตรอนเพิ่มขึ้นแต่ความแรงของ Z_f เท่าเดิม จึงส่งผลให้ T_f ที่ระดับพลังงาน $eV < 2E_{ex}$ ลดลงมากกว่าที่พลังงาน $eV > 2E_{ex}$ กล่าวคือ อิเล็กตรอนที่มีทิศทางสpinเหมือนกันอิเล็กตรอนตอกกระแทบจะผ่านไปได้มากขึ้น



ภาพประกอบ 3.9 ความสัมพันธ์ระหว่างความน่าจะเป็นการส่งผ่าน (a) อิเล็กตรอนสpinขึ้น (b) อิเล็กตรอนสpinลง และการสะท้อนกลับ (c) อิเล็กตรอนสpinขึ้น (d) อิเล็กตรอนสpinลง ซึ่งเป็นพังก์ชันของพลังงานที่ค่า Z_f ต่างๆ เมื่อ $Z_0 = 0$ การนีการดักกระบวนการของอิเล็กตรอนสpinขึ้น

เมื่อพิจารณาภาพประกอบ 3.9(b) จะเห็นได้ว่า มีอิเล็กตรอนสpinลงสามารถส่งผ่านได้ กล่าวคือ เกิดการพลิกกลับของอิเล็กตรอนที่ดักกระบวนการ ในขณะที่ Z_f จะเริ่มส่งผลต่อ T_\downarrow ที่ระดับพลังงานเท่ากับ จุดต่ำสุดของແບບพลังงานรอง ดังภาพประกอบ 3.8 โดย T_\downarrow มีทั้งเพิ่มขึ้นและลดลง ซึ่งเพิ่มขึ้นเมื่อ $0 < Z_f < 1$ และลดลงเมื่อ $Z_f > 1$ ในขณะที่อิเล็กตรอนมีพลังงานมาก T_\downarrow จะเข้าสู่ค่าคงที่ ในขณะเดียวกันเมื่อพิจารณา R_\downarrow จะเห็นได้ว่า มีลักษณะตรงข้ามกับ T_\downarrow กล่าวคือ R_\downarrow จะเพิ่มขึ้นเมื่อ Z_f มีค่ามากขึ้น โดยมีการเปลี่ยนแปลงความชันที่ระดับพลังงานเท่ากัน จากภาพประกอบ 3.9(c) สังเกตได้ว่า ที่พลังงาน $eV < 2E_{ex}$ มีการเพิ่มขึ้นของ R_\downarrow เร็วกว่าที่พลังงาน $eV > 2E_{ex}$ เนื่องจาก ที่ระดับพลังงานมากกว่า $2E_{ex}$ มีความหนาแน่นสถานะ (Density of states) ของอิเล็กตรอนเพิ่มขึ้น จึงทำให้อิเล็กตรอนที่ดักกระบวนการมักเกิดการส่งผ่านมากกว่าสะท้อนกลับ และเมื่อพิจารณา R_\downarrow จะเห็นว่า ช่วงแรกที่พลังงาน $eV < 2E_{ex}$ จะมีค่าลดลงเพียงอย่างเดียว แต่ในช่วงที่สอง เมื่อ $eV > 2E_{ex}$ พบว่า R_\downarrow จะมีทั้งเพิ่มขึ้นและลดลง โดยเพิ่มขึ้นเมื่อ $0 < Z_f < 1$ และลดลงเมื่อ $Z_f > 1$ ซึ่งลักษณะดังกล่าวคล้ายกับกรณีของ T_\downarrow นั้นคือ อิเล็กตรอนที่ดักกระบวนการจะเกิดการพลิกกลับเมื่อพลังงานมีค่าน้อยที่สุด เท่ากับพลังงานที่จุดต่ำสุดของແບບพลังงานรอง

ลักษณะการเพิ่มหรือลดค่าความนำจะเป็นที่กล่าวมาข้างต้น เป็นผลมาจากการพลังงานศักย์ที่ทำให้เกิดการกระเจิงแบบสpinพลิกกลับ (Z_f) แต่ในภาพประกอบ 3.9(a) – 3.9(d) จะสังเกตเห็นได้ว่า มีการเปลี่ยนแปลงความชันของกราฟที่บริเวณ $eV = 2E_{ex}$ ซึ่งเกิดจากโครงสร้างภายในของวัสดุ เฟอร์โรแมกเนต ดังภาพประกอบ 3.8 สำหรับการพิจารณาลักษณะการส่งผ่านของอิเล็กตรอน โดยเฉพาะบริเวณที่มีทั้งการเพิ่มขึ้นและลดลงของค่า T_f และ R_f ที่ระดับพลังงาน $eV \geq 2E_{ex}$ พบว่า ความนำจะเป็นทั้งสองจะมีทั้งเพิ่มขึ้นและลดลงเหมือนกัน แต่ลักษณะของเส้นกราฟแตกต่างกัน เพื่อให้เห็นเด่นชัดจึงพิจารณาโดยการเขียนปริมาณตั้งกล่าวเป็นพังก์ชันของ Z_f ดังภาพประกอบ 3.10

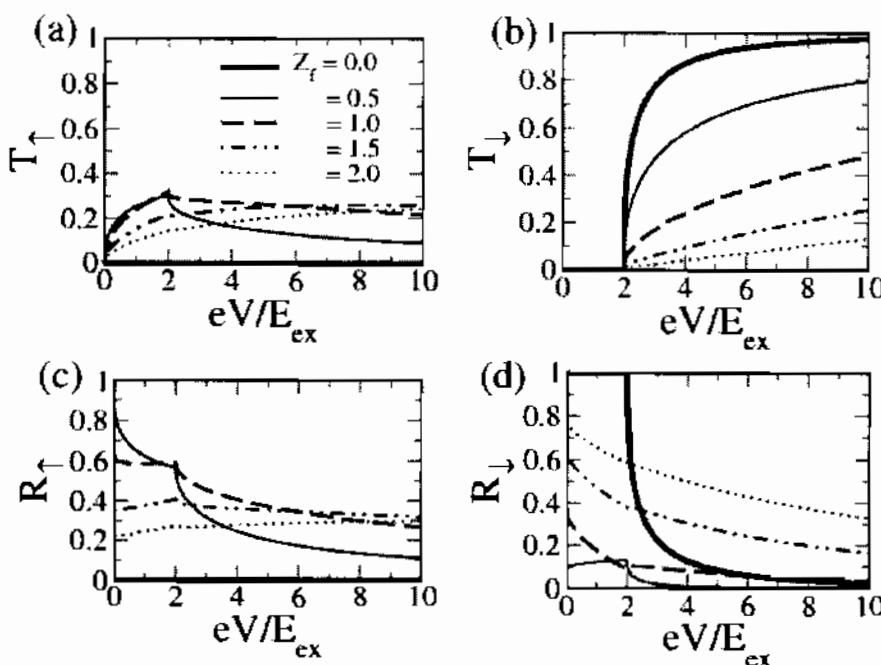


ภาพประกอบ 3.10 ความสัมพันธ์ระหว่างความนำจะเป็นการส่งผ่าน (a) อิเล็กตรอนสpinขึ้น (b) อิเล็กตรอนสpinลง และการสะท้อนกลับ (c) อิเล็กตรอนสpinขึ้น (d) อิเล็กตรอนสpinลง ซึ่งเป็นพังก์ชันของพลังงานศักย์ที่ทำให้เกิดการกระเจิงแบบสpinพลิกกลับ ณ ที่ระดับพลังงาน (eV) ต่างๆ เมื่อ $Z_0 = 0$ กรณีการตอกกระหบของอิเล็กตรอนสpinซึ้ง

จากภาพประกอบข้างต้น สังเกตได้ว่า T_f มีการลดลงแบบเอกซ์โพเนนเชียล แต่เมื่ออิเล็กตรอนมีพลังงานมากขึ้น พบว่า ความนำจะเป็นของ T_f จะลดลงได้ช้ากว่าอิเล็กตรอนที่มีพลังงานน้อย กล่าวคือ อิเล็กตรอนพลังงานมากจะส่งผ่านได้ดีกว่าอิเล็กตรอนพลังงานน้อย และเมื่อพิจารณา T_f จะเห็นว่า ค่าความนำจะเป็นนี้มีทั้งเพิ่มขึ้นและลดลง โดยจะมีค่ามากที่สุดเมื่อ $Z_f \approx 1$ ดังนั้น จึงพิจารณาได้ว่า ที่ Z_f มีค่าน้อย ($Z_f < 1$) พบว่า T_f จะเพิ่มขึ้น แต่เมื่อให้พลังงานมากขึ้นค่า

ความน่าจะเป็นดังกล่าว จะเพิ่มขึ้นได้มากกว่าที่อิเล็กตรอนมีพลังงานน้อย และที่ Z_f มีค่ามากขึ้น ($Z_f > 1$) พบว่า T_\downarrow จะลดลง แต่ด้วยพลังงานมากขึ้นก็จะลดลงได้ช้า เนื่องจาก เมื่อ Z_f มีค่ามาก อิเล็กตรอนที่ตอกกระหบจะมีการพลิกกลับของสpinได้มากขึ้น จึงทำให้ T_\downarrow ลดลงช้า กล่าวคือ อิเล็กตรอน สpin ลงสามารถส่งผ่านได้มากขึ้น ในทางตรงข้าม เมื่อพิจารณา R_\downarrow จะเห็นว่า มีการเพิ่มขึ้นแบบเอกซ์ พอยเนเซียลโดยมีจุดเริ่มต้นที่ $Z_f \approx 1$ ในขณะเดียวกัน R_\downarrow เพิ่มขึ้นและลดลงในลักษณะคล้ายกับ T_\downarrow ดังภาพประกอบ 3.10(d)

3.2.2 กรณีการตอกกระหบของอิเล็กตรอนสpinขึ้น

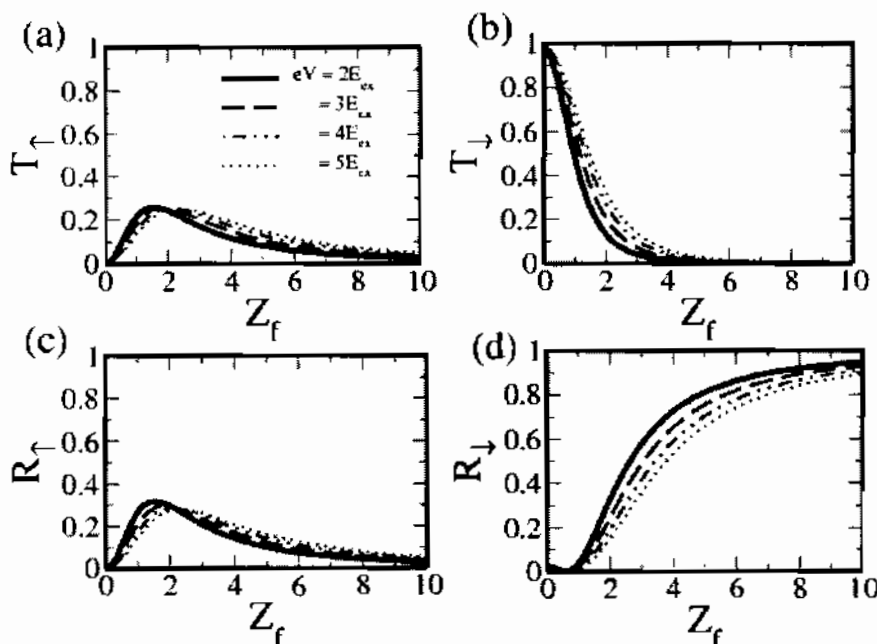


ภาพประกอบ 3.11 ความสัมพันธ์ระหว่างความน่าจะเป็นการส่งผ่าน (a) อิเล็กตรอนสpinขึ้น (b) อิเล็กตรอนสpinลง และการสะท้อนกลับ (c) อิเล็กตรอนสpinขึ้น (d) อิเล็กตรอนสpinลง ซึ่งเป็นฟังก์ชันของพลังงานที่ค่า Z_f เมื่อ $Z_0 = 0$ กรณีการตอกกระหบของอิเล็กตรอนสpinขึ้น

เมื่อพิจารณา T_\downarrow จะเห็นว่า ที่ระดับพลังงาน $eV < 2E_\alpha$ ค่าความน่าจะเป็นดังกล่าวมีการลดลงเพียงอย่างเดียว และมีการเปลี่ยนแปลงความชันที่ระดับพลังงาน $eV = 2E_\alpha$ โดยจะลดลงเร็วที่สุดเมื่อ $Z_0 = 0.5$ ซึ่งที่ระดับพลังงาน $eV > 2E_\alpha$ ค่า T_\downarrow จะมีทั้งเพิ่มขึ้นและลดลงดังแสดงในภาพประกอบ 3.11(a) โดยจะมีค่าสูงสุดเมื่อ $Z_0 = 1$ ในขณะที่ T_\downarrow มีการลดลงเพียงอย่างเดียวดังภาพประกอบ 3.11(b) ซึ่งการส่งผ่านเริ่มขึ้นที่ระดับพลังงาน $eV = 2E_\alpha$ นั้นคือ ที่พลังงานดีกว่า

ระดับพลังงานดังกล่าวไม่มีสถานะสำหรับอิเล็กตรอนspinลง ในทางตรงข้าม เมื่อพิจารณา R_f ตั้งภาพประกอบ 3.11(c) จะเห็นได้ว่า มีการลดลงและเปลี่ยนแปลงความชันคล้ายกับ T_f แต่แตกต่างกันที่ลักษณะการลดลงของค่าความน่าจะเป็นหั้งสอง ซึ่งสังเกตความแตกต่างนี้ได้อย่างชัดเจนจากผลการคำนวณในหัวข้อต่อไป สำหรับ R_f จะมีการเพิ่มขึ้นเมื่อ $eV < 2E_{ex}$ ซึ่งมีการเปลี่ยนแปลงความชันที่ระดับพลังงาน $eV = 2E_{ex}$ โดยเด่นชัดที่สุดเมื่อ $Z_0 = 0.5$ และที่พลังงานอิเล็กตรอน $eV > 2E_{ex}$ ค่าความน่าจะเป็นดังกล่าวมีการเพิ่มขึ้นเพียงอย่างเดียว ดังแสดงในภาพประกอบ 3.11(a)

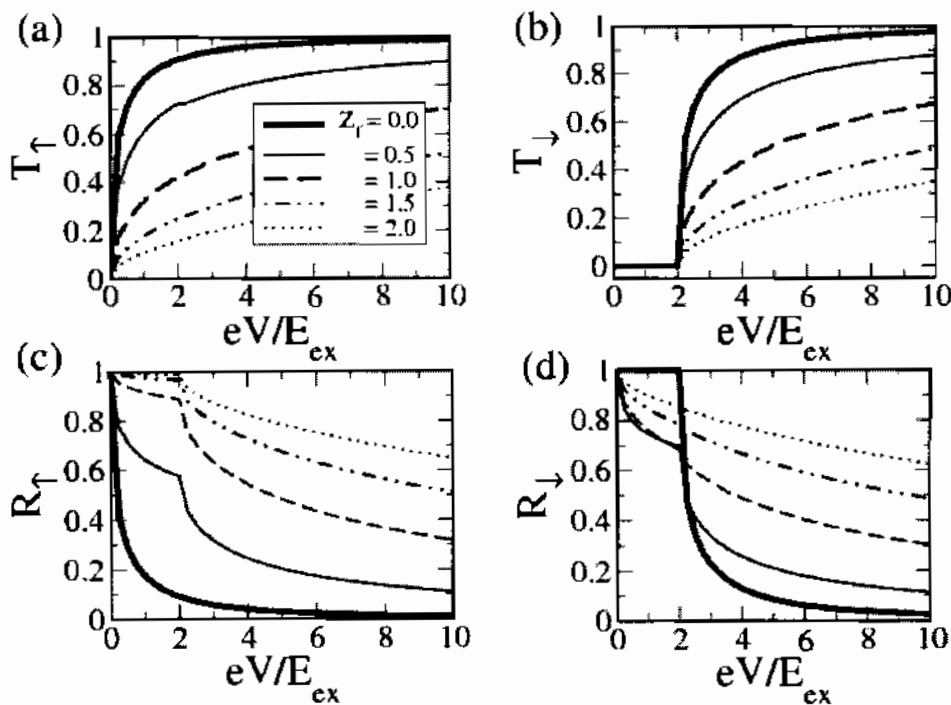
การเปลี่ยนแปลงความชันของ T_f ที่ระดับพลังงาน $eV \geq 2E_{ex}$ ดังภาพประกอบ 3.11(a) แสดงให้เห็นว่า มีการส่งผ่านของอิเล็กตรอนได้น้อยลง เมื่อพิจารณาจากแบบพลังงานดังภาพประกอบ 3.8 สามารถกล่าวได้ว่า ที่ระดับพลังงานดังกล่าว เมื่อ Z_f มีค่าในช่วง $0 < Z_f < 1$ จะลดค่า T_f ได้เร็วว่าเมื่อ $Z_f > 1$ และที่อิเล็กตรอนมีพลังงานเท่ากันนี้ R_f มีการเปลี่ยนแปลงในลักษณะเดียวกัน กล่าวคือ เมื่อ Z_f มีค่าน้อย จะเกิดการส่งผ่านและการสะท้อนกลับได้ดีกับอิเล็กตรอนที่มีทิศทางspinตรงข้ามกับอิเล็กตรอนทุกกรอบ ดังแสดงในภาพประกอบ 3.11(a) และ 3.11(c) ตามลำดับ



ภาพประกอบ 3.12 ความสัมพันธ์ระหว่างความน่าจะเป็นการส่งผ่าน (a) อิเล็กตรอนspinขึ้น (b) อิเล็กตรอนspinลง และการสะท้อนกลับ (c) อิเล็กตรอนspinขึ้น (d) อิเล็กตรอนspinลง ซึ่งเป็นพิรุณของพลังงานศักย์ที่ทำให้เกิดการกระเจิงแบบspinพลิกกลับ ณ ที่ระดับพลังงาน (eV) ต่างๆ เมื่อ $Z_0 = 0$ กรณีการตัดกรอบของอิเล็กตรอนspinชี้ลง

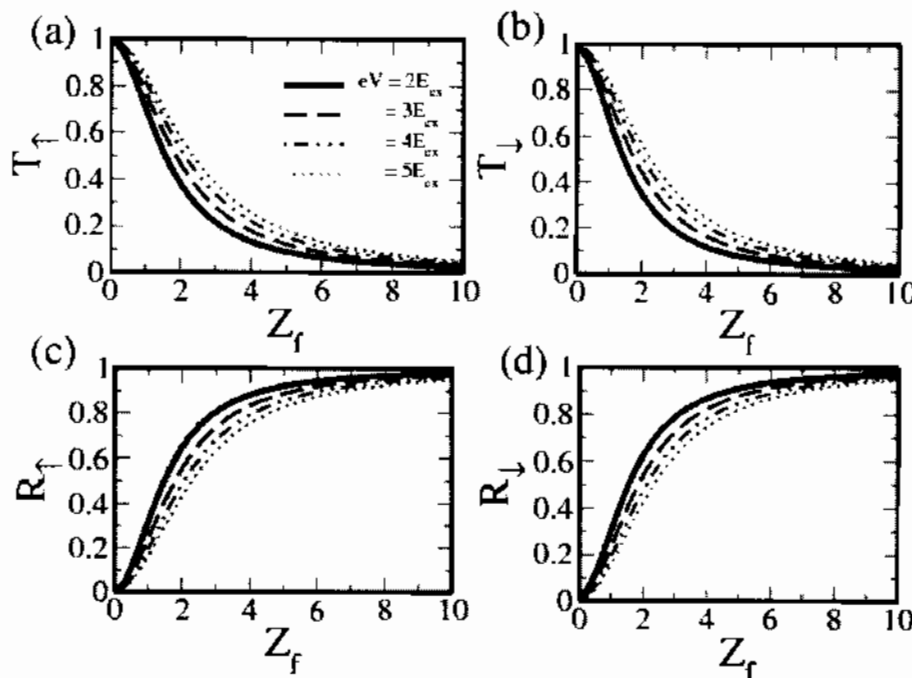
ในหัวข้อ 3.2.1 ได้มีการกล่าวถึง ผลของ Z_f ต่อการส่งผ่านและสะท้อนกลับของอิเล็กตรอน ต่อกратทบสปินขั้น ดังนี้ ในหัวข้อนี้จะเป็นการพิจารณาความน่าจะเป็นต่างๆ ของอิเล็กตรอนต่อกratทบที่มีสปินลง ซึ่งจะสังเกตได้ว่า มีผลการคำนวณเหมือนกัน ก้าวคือ ความน่าจะเป็นการส่งผ่าน และสะท้อนกลับ จะลดลงหรือเพิ่มขึ้นแบบเอกซ์โพเนนเชียล เมื่ออิเล็กตรอนส่งผ่านมีสปินขั้นทิศทางเดียวกับอิเล็กตรอนต่อกratทบ ดังภาพประกอบ 3.12(b) และ 3.12(d) ตามลำดับ ซึ่งการลดลงจะช้า หรือเร็วขึ้นอยู่กับพลังงานของอิเล็กตรอน และเมื่อพิจารณาค่าความน่าจะเป็นการส่งผ่านและสะท้อน กลับของอิเล็กตรอนที่มีสปินในทิศทางตรงข้ามกับอิเล็กตรอนต่อกratทบ พบร่วมกับ การเพิ่มขึ้นในช่วงแรกเมื่อ Z_f มีค่าน้อย และลดลงในช่วงที่สองเมื่อ Z_f มีค่ามาก

3.2.3 กรณีการต่อกratทบของอิเล็กตรอนสปินขั้นและขั้ลง



ภาพประกอบ 3.13 ความสัมพันธ์ระหว่างความน่าจะเป็นการส่งผ่าน (a) อิเล็กตรอนสปินขั้น (b) อิเล็กตรอนสปินลง และการสะท้อนกลับ (c) อิเล็กตรอนสปินขั้น (d) อิเล็กตรอนสปินลง ซึ่งเป็นพิรุณของพลังงานที่ค่า Z_f ต่างๆ เมื่อ $Z_0 = 0$ กรณีการต่อกratทบของอิเล็กตรอนสปินขั้นและขั้ลง

เมื่อพิจารณาภาพประกอบ 3.13 จะเห็นได้ว่า เมื่อ $Z_f > 1$ จะไม่เห็นถึงการเปลี่ยนแปลงความชัน แต่ T_f ยังมีค่าลดลง เมื่อ Z_f เพิ่มขึ้น ในขณะที่ผลของ T_f มีลักษณะเข่นเดียวกัน แต่แตกต่างกันที่จะเริ่มดัน ซึ่งเป็นผลมาจากการสร้างภัยในของวัสดุเฟอร์โรแมกเนต และในทางตรงข้าม R_f มีค่าเพิ่มขึ้น ซึ่งสังเกตเห็นการเปลี่ยนแปลงความชันได้อย่างชัดเจน กล่าวคือ Z_f มีผลทำให้ R_f เพิ่มขึ้นได้ช้า เมื่ออิเล็กตรอนมีพลังงาน $eV > 2E_{ex}$ และเกิดขึ้นในทำนองเดียวกับ R_f



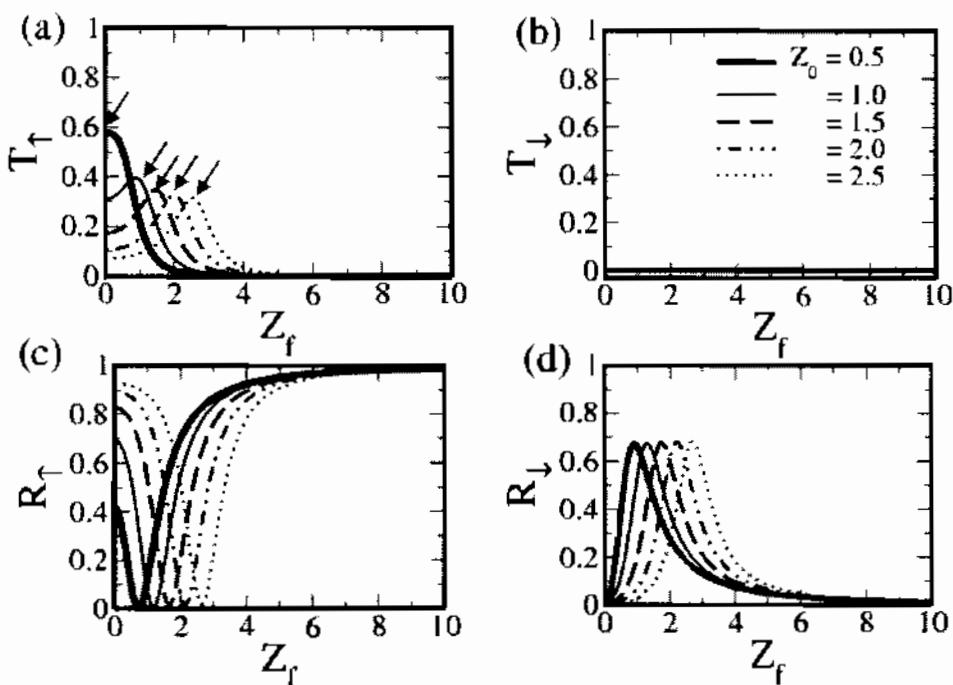
ภาพประกอบ 3.14 ความสัมพันธ์ระหว่างความน่าจะเป็นการส่งผ่าน (a) อิเล็กตรอนสปินขึ้น (b) อิเล็กตรอนสปินลง และการสะท้อนกลับ (c) อิเล็กตรอนสปินขึ้น (d) อิเล็กตรอนสปินลง ซึ่งเป็นพิร์กชันของพลังงานศักย์ที่ทำให้เกิดการกระเจิงแบบสปินพลิกกลับ ณ ที่ระดับพลังงาน (eV) ต่างๆ เมื่อ $Z_0 = 0$ กรณีการตกกระทบของอิเล็กตรอนสปินขึ้นและขึ้ลง

จากภาพประกอบ 3.14 สังเกตได้ว่า เมื่อมีอิเล็กตรอนตกกระทบทั้งสปินขึ้นและสปินลง จะไม่สามารถเห็นการส่งผ่านหรือการสะท้อนกลับของอิเล็กตรอนที่เพิ่มขึ้นก่อนแล้วจึงลดลงได้ กล่าวคือ จะแตกต่างจากกรณีที่แยกพิจารณาการตกกระทบพิศทางสปินแต่ละแบบ แต่พบว่าค่าความน่าจะเป็นมีการเพิ่มขึ้นหรือลดลงแบบเอกซ์โพเนนเชียลเหมือนกัน ซึ่งความช้าเร็วนั้นจะขึ้นอยู่กับพลังงานของอิเล็กตรอน

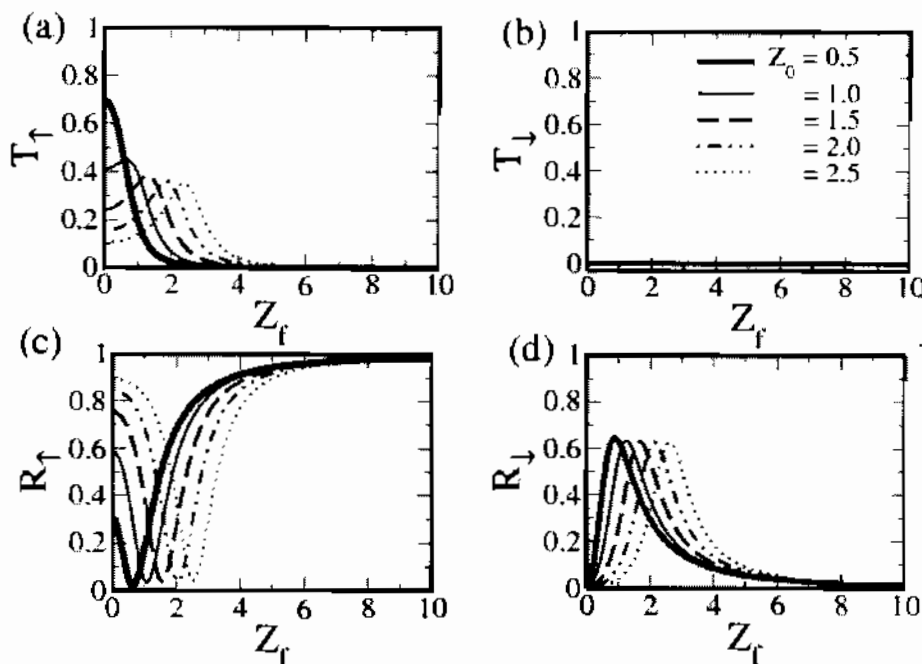
3.3 ผลของพลังงานศักย์ที่ทำให้เกิดการกระแสแบบปกติและแบบสปินพลิกกลับ: Z_0 , Z_f

จากการพิจารณาแบบแยกการคำนวณระหว่างผลของ Z_0 และ Z_f ทำให้เข้าใจถึงหน้าที่และการทำงานของพลังงานศักย์ทั้งสองแบบ ซึ่ง Z_0 หรือพลังงานศักย์ที่ทำให้เกิดการกระแสแบบปกติ เกิดขึ้นได้ owing จากการนำวัสดุมาต่อ กัน และ Z_f เกิดจากการผังไออกอนที่มีคุณสมบัติทางด้านแม่เหล็กดึงไปที่บริเวณรอยต่อ ดังนั้น ในวัสดุจริงจะพบพลังงานศักย์ได้ทั้งสองชนิด และความสัมพันธ์ระหว่างวัสดุ โลหะและเฟอร์โรเมกเนตสามารถหาได้จากผลการคำนวณดังต่อไปนี้

3.3.1 กรณีการตกกระแทบทองอิเล็กตรอนสปินขึ้น

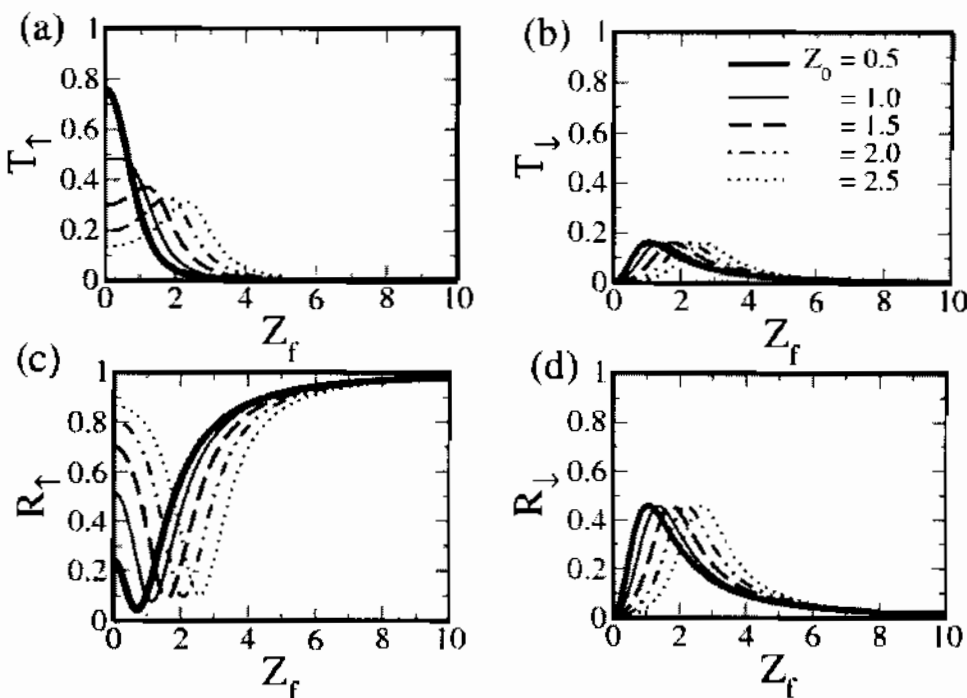


ภาพประกอบ 3.15 ความสัมพันธ์ระหว่างความน่าจะเป็นการส่งผ่าน (a) อิเล็กตรอนสปินขึ้น (b) อิเล็กตรอนสปินลง และการสะท้อนกลับ (c) อิเล็กตรอนสปินขึ้น (d) อิเล็กตรอนสปินลง เป็นฟังก์ชันของพลังงานศักย์ที่ทำให้เกิดการกระแสแบบสปินพลิกกลับ เมื่อ $eV = E_{ex}$ พร้อมแสดงการส่งผ่านของ อิเล็กตรอนสปินขึ้นที่มีค่ามากที่สุดเมื่อ $Z_0 = Z_f$ กรณีการตกกระแทบทองอิเล็กตรอนสปินขึ้น



ภาพประกอบ 3.16 ความสัมพันธ์ระหว่างความน่าจะเป็นการส่งผ่าน (a) อิเล็กตรอนสpinขึ้น (b) อิเล็กตรอนสpinลง และการสะท้อนกลับ (c) อิเล็กตรอนสpinขึ้น (d) อิเล็กตรอนสpinลง ซึ่งเป็นฟังก์ชันของพลังงานศักย์ที่ทำให้เกิดการกระจายแบบสpinพลิกกลับที่ค่า Z_0 ต่างๆ เมื่อ $eV = 2E_{ex}$ กรณีการทดลองของอิเล็กตรอนสpinขึ้น

จากภาพประกอบ 3.15 สรุปได้ว่า เมื่อ Z_0 เพิ่มขึ้น T_{\downarrow} มีทั้งเพิ่มขึ้นและลดลง โดยมีค่ามากที่สุดเมื่อ $Z_0 = Z_f$ ซึ่งมีลักษณะเหมือนกับภาพประกอบ 3.16 ในขณะเดียวกัน T_{\uparrow} มีค่าเป็นศูนย์เนื่องจากอิเล็กตรอนสpinลงมีพลังงานไม่เพียงพอ นั่นคือ อิเล็กตรอนดังกล่าวต้องมีพลังงานมากกว่าจุดต่ำสุดของแบบพลังงานรองซึ่งเท่ากับ $2E_{ex}$ อย่างไรก็ตาม เมื่อพิจารณา R_{\uparrow} จะเห็นได้ว่ามีพฤติกรรมตรงข้าม กล่าวคือ R_{\uparrow} มีทั้งลดลงและเพิ่มขึ้นโดยมีค่า้อยที่สุด เมื่อ $Z_0 = Z_f$ ทั้งนี้จะเห็นว่า ภาพประกอบ 3.15(c) มีค่า้อยสุดประมาณศูนย์ เนื่องจากอิเล็กตรอนมีพลังงานมากขึ้น และเมื่อพิจารณา R_{\downarrow} พบว่า ทั้งภาพประกอบ 3.15(c) และ 3.16(c) มีลักษณะเหมือนกัน นั่นคือ สามารถเกิดการสะท้อนกลับได้ และการสะท้อนกลับเกิดขึ้นที่ฝั่งโลกซึ่งมีสถานะรองรับสำหรับอิเล็กตรอนสpinลง โดยค่าดังกล่าวมีทั้งเพิ่มขึ้นและลดลงและมีจุดสูงสุด เมื่อ $Z_0 = Z_f$ ในขณะเดียวกัน R_{\downarrow} ดังภาพประกอบ 3.15(c) มีค่ามากกว่าในภาพประกอบ 3.16(c) เนื่องจากพลังงานที่เพิ่มขึ้นทำให้อิเล็กตรอนส่งผ่านมากขึ้น จึงมีผลทำให้ R_{\downarrow} ของภาพประกอบ 3.16(c) มีค่าลดลง



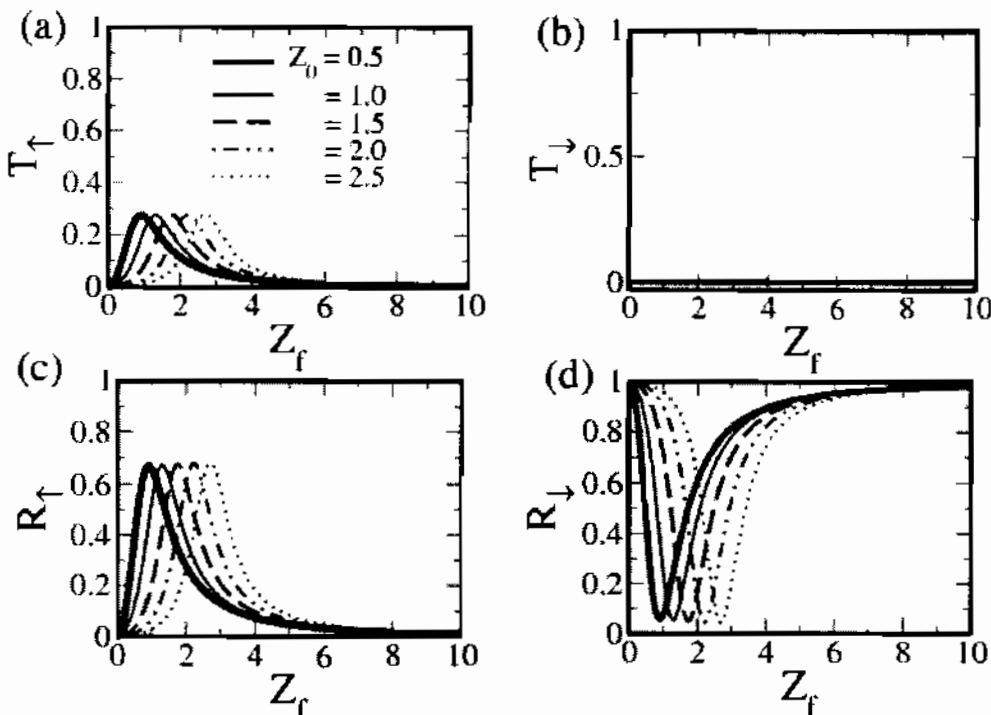
ภาพประกอบ 3.17 ความสัมพันธ์ระหว่างความน่าจะเป็นการส่งผ่าน (a) อิเล็กตรอนสpinขึ้น (b) อิเล็กตรอนสpinลง และการสะท้อนกลับ (c) อิเล็กตรอนสpinขึ้น (d) อิเล็กตรอนสpinลง ซึ่งเป็นฟังก์ชันของพลังงานศักย์ที่ทำให้เกิดการกระเจิงแบบสpinพลิกกลับที่ค่า Z_0 ต่างๆ เมื่อ $eV = 3E_\alpha$ กรณีการตอกกระหบของอิเล็กตรอนสpinขึ้น

จากภาพประกอบ 3.17(a) พบว่า T_f ยังมีลักษณะเหมือนเดิม แต่มีจุดสูงสุดค่าลงเล็กน้อย ซึ่งเกิดจากการส่งผ่านของอิเล็กตรอนสpinลงที่เพิ่มขึ้น ดังนั้น จากภาพประกอบข้างต้นจึงชี้ให้เห็นการส่งผ่านที่เกิดจากการพลิกกลับของอิเล็กตรอนตอกกระหบได้อย่างชัดเจน กล่าวคือ อิเล็กตรอนตอกกระหบมีพลังงาน $eV = 3E_\alpha$ ซึ่งมากกว่าจุดค่าสูงของแบบพลังงานรอง จึงทำให้มีพลังงานมากเพียงพอที่จะส่งผ่านเป็นอิเล็กตรอนสpinลงได้ ดังนั้น T_f จึงเกิดขึ้นได้ และมีลักษณะคล้ายกับ T_f นั่นคือ ความน่าจะเป็นการส่งผ่านมีทั้งเพิ่มขึ้นและลดลง โดยจะมีค่ามากที่สุดเมื่อ $Z_0 = Z_f$

3.3.2 กรณีการตอกกระหบของอิเล็กตรอนสpinขึ้น

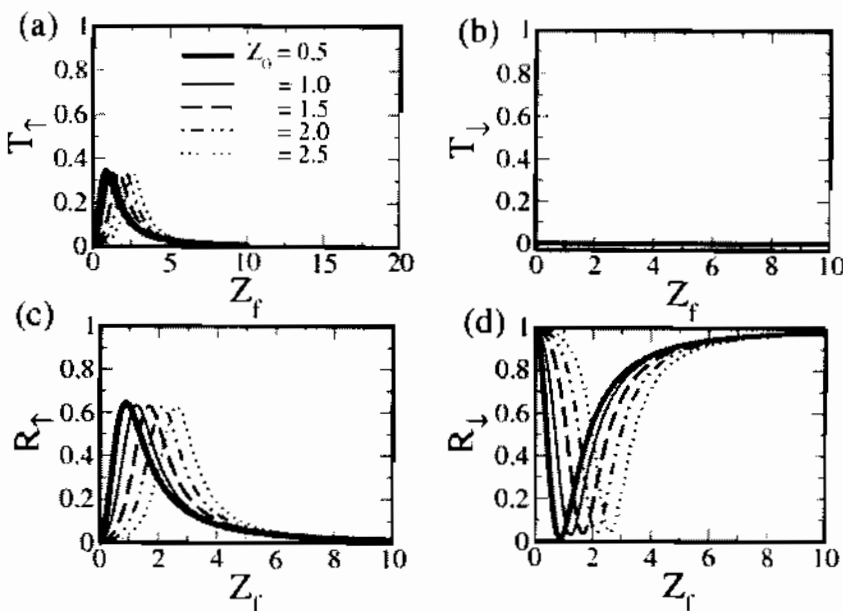
ในภาพประกอบ 3.18 เมื่อพิจารณาอิเล็กตรอนที่มีพลังงานอยู่ในช่วง $0 < eV < 2E_\alpha$ สังเกตได้ว่า ความน่าจะเป็นการส่งผ่านของอิเล็กตรอนสpinลงเท่ากับศูนย์ เนื่องจาก ที่ระดับพลังงานดังกล่าว ไม่พบอิเล็กตรอนสpinลง อย่างไรก็ตาม การตอกกระหบของอิเล็กตรอนสpinสามารถเพิ่มได้ทั้งค่า

ความน่าจะเป็นการส่งผ่านและการสะท้อนกลับของอิเล็กตรอนสpinขึ้น จากภาพประกอบ 3.18(a) และ 3.18(c) พบร้า T_\uparrow เกิดขึ้นได้น้อยและ R_\uparrow เกิดขึ้นได้มาก เนื่องจากฝั่งโลหะมีสถานะสำหรับอิเล็กตรอนที่มีสpinหั้งสองแบบเท่ากัน แต่ผังเฟอร์โรแมกเนตมีสถานะสำหรับอิเล็กตรอนสpinลงน้อยกว่าอิเล็กตรอนสpinขึ้น ทั้งนี้ความน่าจะเป็นหั้งสองจะมีค่ามากที่สุดเมื่อ $Z_0 = Z_f$ โดยที่ความน่าจะเป็นการสะท้อนกลับของอิเล็กตรอนสpinลงจะมีสักษณะตรงกันข้าม

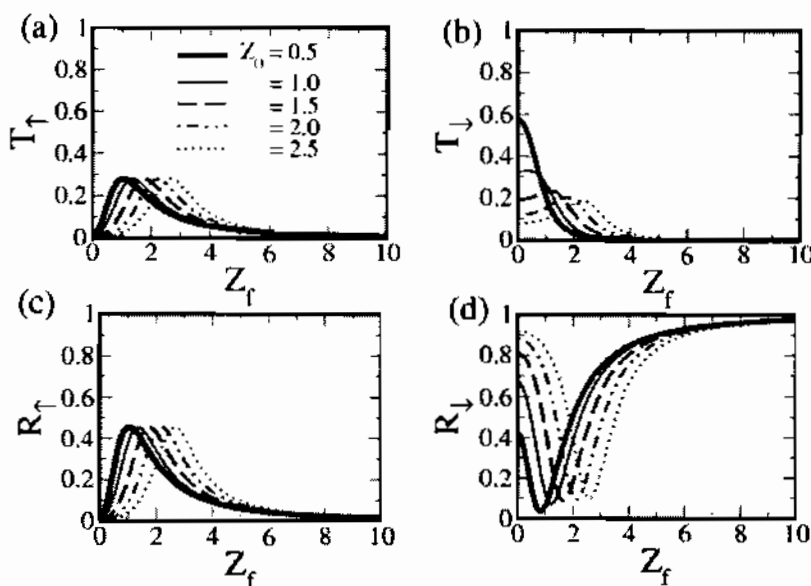


ภาพประกอบ 3.18 ความสัมพันธ์ระหว่างความน่าจะเป็นการส่งผ่าน (a) อิเล็กตรอนสpinขึ้น (b) อิเล็กตรอนสpinลง และการสะท้อนกลับ (c) อิเล็กตรอนสpinขึ้น (d) อิเล็กตรอนสpinลง ซึ่งเป็นพังก์ชันของพลังงานศักย์ที่ทำให้เกิดการกระแสจั๊บสpinพลิกกลับที่ค่า Z_0 ต่างๆ เมื่อ $eV = E_{ex}$ กรณีการทดลองของอิเล็กตรอนสpinชั้ง

ในภาพประกอบ 3.19 จะเห็นได้ว่า มีสักษณะคล้ายกับกรณีการทดลองของอิเล็กตรอนสpinขึ้น เมื่ออิเล็กตรอนมีพลังงานเท่ากับจุดต่ำสุดของแดบพลังงานรอง นั่นคือ อิเล็กตรอนมีพลังงาน $eV = 2E_{ex}$ จะมีผลทำให้ T_\uparrow เท่ากับศูนย์ นอกจากนี้พลังงานศักย์ทั้งสองชนิดจะลดค่าการสะท้อนกลับของอิเล็กตรอนที่มีสpinลง รวมถึงเพิ่มค่าความน่าจะเป็นการส่งผ่านและสะท้อนกลับของอิเล็กตรอนที่มีสpinขึ้น โดยมีค่าสูงสุดเมื่อพลังงานศักย์ทั้งสองชนิดมีค่าเท่ากัน



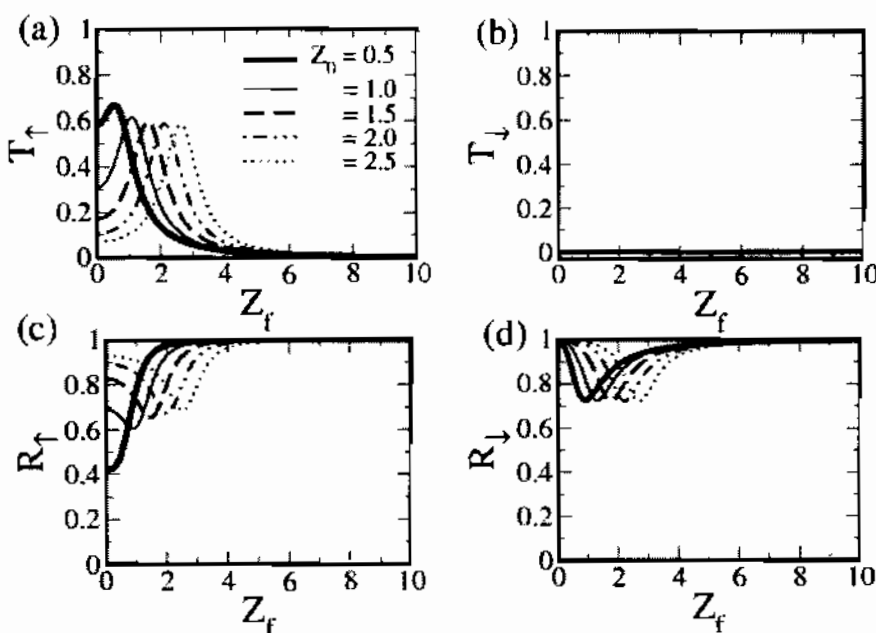
ภาพประกอบ 3.19 ความสัมพันธ์ระหว่างความน่าจะเป็นการส่งผ่าน (a) อิเล็กตรอนสpinขึ้น (b) อิเล็กตรอนสpinลง และการสะท้อนกลับ (c) อิเล็กตรอนสpinขึ้น (d) อิเล็กตรอนสpinลง ซึ่งเป็นฟังก์ชันของพลังงานศักย์ที่ทำให้เกิดการกระเจิงแบบสpinพลิกกลับที่ค่า Z_0 ต่างๆ เมื่อ $eV = 2E_{ex}$ กรณีการตอกกระแทบทองอิเล็กตรอนสpinซึ้ง



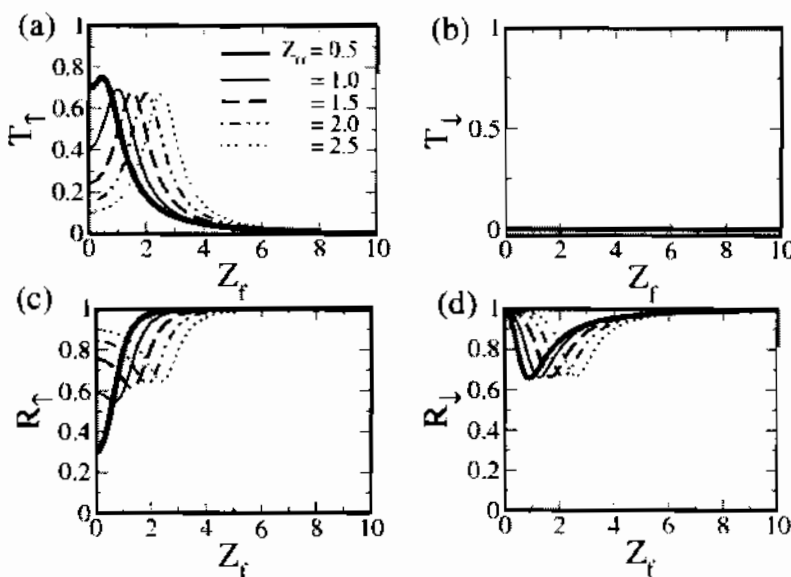
ภาพประกอบ 3.20 ความสัมพันธ์ระหว่างความน่าจะเป็นการส่งผ่าน (a) อิเล็กตรอนสpinขึ้น (b) อิเล็กตรอนสpinลง และการสะท้อนกลับ (c) อิเล็กตรอนสpinขึ้น (d) อิเล็กตรอนสpinลง ซึ่งเป็นฟังก์ชันของพลังงานศักย์ที่ทำให้เกิดการกระเจิงแบบสpinพลิกกลับที่ค่า Z_0 ต่างๆ เมื่อ $eV = 3E_{ex}$ กรณีการตอกกระแทบทองอิเล็กตรอนสpinซึ้ง

จากภาพประกอบ 3.18 - 3.20 จะเห็นได้ว่า เมื่อพิจารณาให้ Z_0 เพิ่มขึ้น T_f มีทั้งเพิ่มขึ้นและลดลงคล้ายกับกรณีการทดลองของอิเล็กตรอนสpinขึ้น แต่แตกต่างกันที่ค่าสูงสุด ซึ่งค่าดังกล่าวจะไม่แตกต่างกันมากในกรณีการทดลองของอิเล็กตรอนสpinลง และเมื่อสังเกตภาพประกอบ 3.18 และ 3.19 จะเห็นได้ว่า ไม่มีการส่งผ่านของ T_f เมื่อจากการพิจารณาที่ระดับพลังงานไม่เกิน $2E_{ex}$ จึงทำให้ไม่พบอิเล็กตรอนสpinลง ในขณะที่ให้พลังงาน $eV = 3E_{ex}$ จะสามารถพบการส่งผ่านของอิเล็กตรอนสpinลงได้ดังภาพประกอบ 3.20 โดยความน่าจะเป็นการส่งผ่านของอิเล็กตรอนที่มีพิศทางspin เหมือนกับอิเล็กตรอนทดลองจะมีทั้งเพิ่มขึ้นและลดลง และมีจุดสูงสุดต่ำลง เมื่อ Z_0 เพิ่มขึ้น ดังที่ได้กล่าวไปแล้วในการทดลองของอิเล็กตรอนสpinขึ้น ในทางตรงข้าม เมื่อพิจารณา R_f และ R_d สังเกตได้ว่า ผลการคำนวณจะคล้ายกับกรณีการทดลองของอิเล็กตรอนสpinขึ้น กล่าวคือ R_f จะเพิ่มขึ้นแล้วจึงลดลงดังภาพประกอบที่ 3.18(c), 3.19(c) และ 3.20(c) ในขณะที่ R_d ลดลงก่อนแล้วจึงเพิ่มขึ้นดังภาพประกอบที่ 3.18(d), 3.19(d) และ 3.20(d) โดยจุดสูงสุดและจุดต่ำสุดของแต่ละรูปจะมีค่าที่ใกล้เคียงกัน แม้ว่า Z_0 จะมีค่าเพิ่มขึ้น

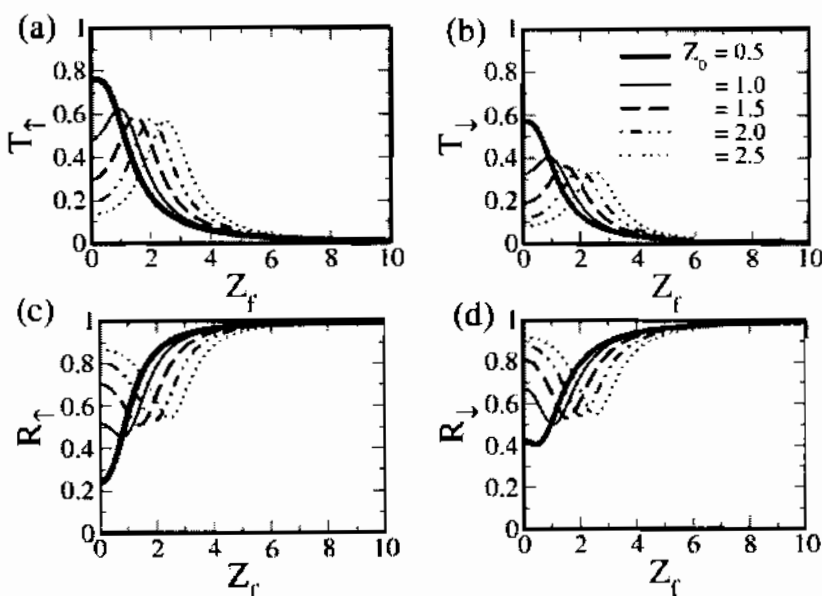
3.2.3 กรณีการทดลองของอิเล็กตรอนสpinขึ้นและขึ้ลง



ภาพประกอบ 3.21 ความสัมพันธ์ระหว่างความน่าจะเป็นการส่งผ่าน (a) อิเล็กตรอนสpinขึ้น (b) อิเล็กตรอนสpinลง และการสะท้อนกลับ (c) อิเล็กตรอนสpinขึ้น (d) อิเล็กตรอนสpinลง ซึ่งเป็นพิสัยของพลังงานศักย์ที่ทำให้เกิดการกระแสแบบสpinพลิกกลับที่ค่า Z_0 ต่างๆ เมื่อ $eV = E_{ex}$ กรณีการทดลองของอิเล็กตรอนสpinขึ้นและขึ้ลง



ภาพประกอบ 3.22 ความสัมพันธ์ระหว่างความน่าจะเป็นการส่งผ่าน (a) อิเล็กตรอนสpinขึ้น (b) อิเล็กตรอนสpinลง และการสะท้อนกลับ (c) อิเล็กตรอนสpinขึ้น (d) อิเล็กตรอนสpinลง ซึ่งเป็นฟังก์ชันของพลังงานศักย์ที่ทำให้เกิดการกระเจิงแบบสpinพลิกกลับที่ค่า Z_0 ต่างๆ เมื่อ $eV = 2E_{ex}$ กรณีการดักกระแทบทองอิเล็กตรอนสpinขึ้นและซึ่งลง



ภาพประกอบ 3.23 ความสัมพันธ์ระหว่างความน่าจะเป็นการส่งผ่าน (a) อิเล็กตรอนสpinขึ้น (b) อิเล็กตรอนสpinลง และการละท้อนกลับ (c) อิเล็กตรอนสpinขึ้น (d) อิเล็กตรอนสpinลง ซึ่งเป็นฟังก์ชันของพลังงานศักย์ที่ทำให้เกิดการกระเจิงแบบสpinพลิกกลับที่ค่า Z_0 ต่างๆ เมื่อ $eV = 3E_{ex}$ กรณีการดักกระแทบทองอิเล็กตรอนสpinขึ้นและซึ่งลง

เมื่อพิจารณาในมุมมองของวัสดุจริง โดยพิจารณาการตอกกระหบของอิเล็กตรอนทั้งสปินขึ้นและสปินลง ดังผลการคำนวณในภาพประกอบ 3.21 – 3.23 แสดงให้เห็นว่า แนวโน้มของ T_\uparrow และ T_\downarrow จะเพิ่มขึ้นก่อนแล้วจึงลดลง เมื่อ Z_0 มีค่าเพิ่มขึ้น ซึ่งค่าความนำจะเป็นทั้งสองจะมีค่าสูงสุด เมื่อ $Z_0 = Z$, นอกจากนี้ค่าสูงสุดดังกล่าวมีลักษณะลดลงแบบเอกซ์โพเนนเชียลตามการเพิ่มขึ้นของ Z_0 และเมื่อพิจารณา R_\uparrow และ R_\downarrow สังเกตได้ว่า มีสักษณะคล้ายกัน นั่นคือ มีการลดลงก่อนแล้วจึงเพิ่มขึ้น โดยมีค่าสูงสุด เมื่อ $Z_0 = Z$, ซึ่งจากภาพประกอบ 3.21 และ 3.22 จะเห็นได้ว่า ความนำจะเป็นการลดทอนกลับ R_\downarrow จะมีค่าน้อย กล่าวคือ ที่พลังงานของอิเล็กตรอนต่ำกว่า $2E_\alpha$ มักจะเกิดการส่งผ่านเป็น T_\downarrow ทั้งหมดหรือลดทอนกลับเป็น R_\downarrow มากกว่า R_\uparrow แต่เมื่อพิจารณาที่ระดับพลังงาน $eV = 3E_\alpha$ จะเห็นได้ว่ามี T_\downarrow เกิดขึ้น เนื่องจากระดับพลังงานดังกล่าวมีค่านากกว่าพลังงาน ณ จุดต่ำสุดของแบบพลังงานรอง ซึ่งเป็นสถานะที่ครอบครองโดยอิเล็กตรอนสปินลง ดังสังเกตได้จากแบบพลังงานในภาพประกอบ 3.8

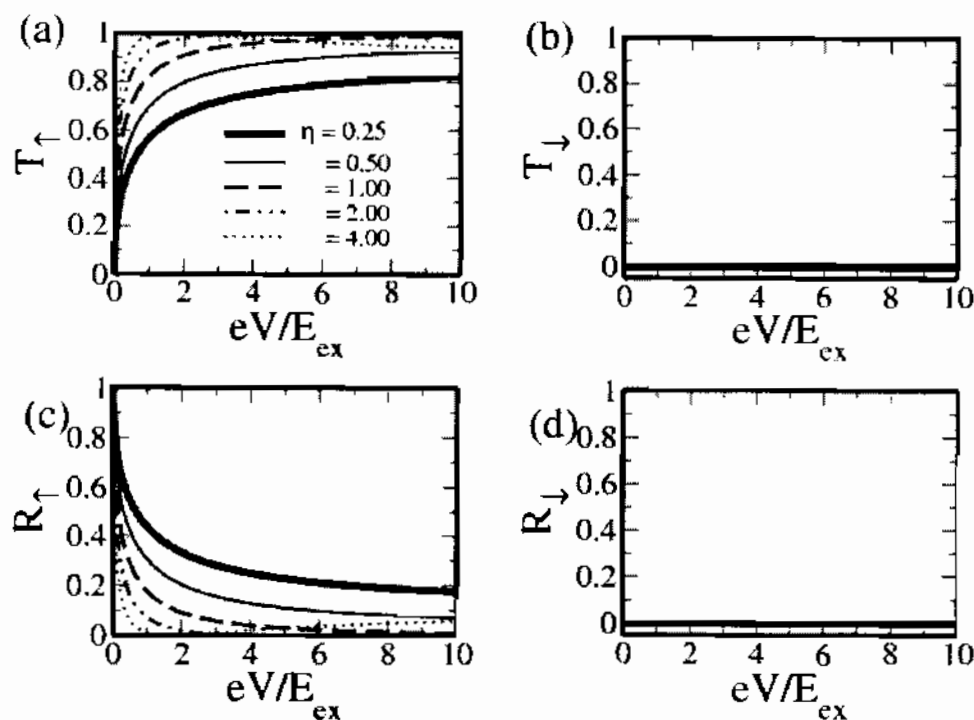
3.4 ผลของมวลยังผลของอิเล็กตรอน η

ในหัวข้อที่ผ่านมาได้มีการศึกษาผลของพลังงานศักย์ที่บริเวณรอยต่อ โดยการกำหนดให้มวลยังผลของอิเล็กตรอนในวัสดุทั้งสองชนิดเท่ากัน เพื่อที่จะศึกษาเฉพาะผลของตัวแปรพลังงานศักย์ทั้งสอง กล่าวคือ $\eta = 1$ แต่ในวัสดุจริงมวลยังผลของอิเล็กตรอนในวัสดุแต่ละชนิดจะไม่เท่ากัน ซึ่งอิเล็กตรอนที่มีมวลยังผลมากจะมีความเร็วกลุ่มน้อยหรือเคลื่อนที่ช้า และอิเล็กตรอนที่มีมวลยังผลน้อยจะมีลักษณะตรงข้าม นั่นคือ ถ้าผิวเฟอร์โรแมกнетมีมวลยังผลมากย่อมเกิดการสะสมประจุขึ้น ซึ่งเปรียบเสมือนมีพลังงานศักย์ ณ รอยต่อ ดังนั้น ในหัวข้อนี้จึงเป็นการศึกษาผลของมวลยังผลของอิเล็กตรอนต่อค่าความนำจะเป็นต่างๆ ซึ่งผลการคำนวณสามารถพิจารณาได้ดังต่อไปนี้

3.4.1 กรณีการตอกกระหบของอิเล็กตรอนสปินขึ้น

จากภาพประกอบ 3.24 เมื่อพิจารณาการตอกกระหบของอิเล็กตรอนสปินขึ้น โดยที่ η มีค่าเพิ่มขึ้น กล่าวคือ มวลยังผลของอิเล็กตรอนผิวโลหะเพิ่มขึ้นและมากกว่ามวลยังผลของอิเล็กตรอนผิวเฟอร์โรแมกเนต ปรากฏว่า T_\uparrow เพิ่มขึ้น นั่นหมายความว่า อิเล็กตรอนจะผ่านรอยต่อได้ดีกว่าเมื่อมวลยังผลของอิเล็กตรอนผิวเฟอร์โรแมกเนตน้อยกว่า ในทางตรงข้าม อาจกล่าวได้ว่า ยิ่งมวลยังผลของอิเล็กตรอนผิวเฟอร์โรแมกเนตมากขึ้น เปรียบเสมือนมีพลังงานศักย์ที่เกิดจากการสะสมของประจุเกิดขึ้น ที่รอยต่อมากขึ้นตาม เมื่อพิจารณาในลักษณะของความเร็วกลุ่ม พบร้า ถ้าผิวเฟอร์โรแมกเนตมีมวลยังผลของอิเล็กตรอนมากกว่าผิวโลหะ จะทำให้อิเล็กตรอนในวัสดุเฟอร์โรแมกเนตเคลื่อนที่ช้า ดังนั้น

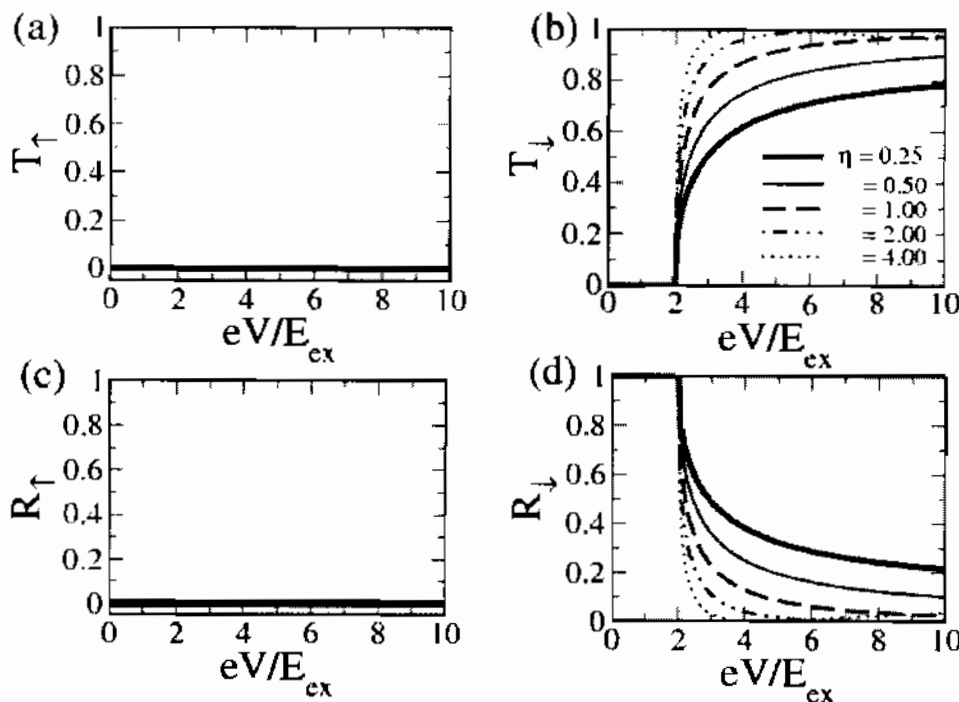
อิเล็กตรอนในวัสดุโลหะซึ่งเคลื่อนที่เร็วกว่าจะถูกผลักให้เคลื่อนที่ช้าลง จึงเกิดเป็นการสะสมของประจุบวกในระยะรอต่อ



ภาพประกอบ 3.24 ความสัมพันธ์ระหว่างความน่าจะเป็นการส่งผ่าน (a) อิเล็กตรอนสpinขึ้น (b) อิเล็กตรอนสpinลง และการสะท้อนกลับ (c) อิเล็กตรอนสpinขึ้น (d) อิเล็กตรอนสpinลง ซึ่งเป็นฟังก์ชันของพลังงาน เมื่อ $Z_0 = 0$ และ $Z_f = 0$ การผ่านตัดกระบวนการของอิเล็กตรอนสpinขึ้น

3.4.2 กรณีการตัดกระบวนการของอิเล็กตรอนสpinขึ้ลง

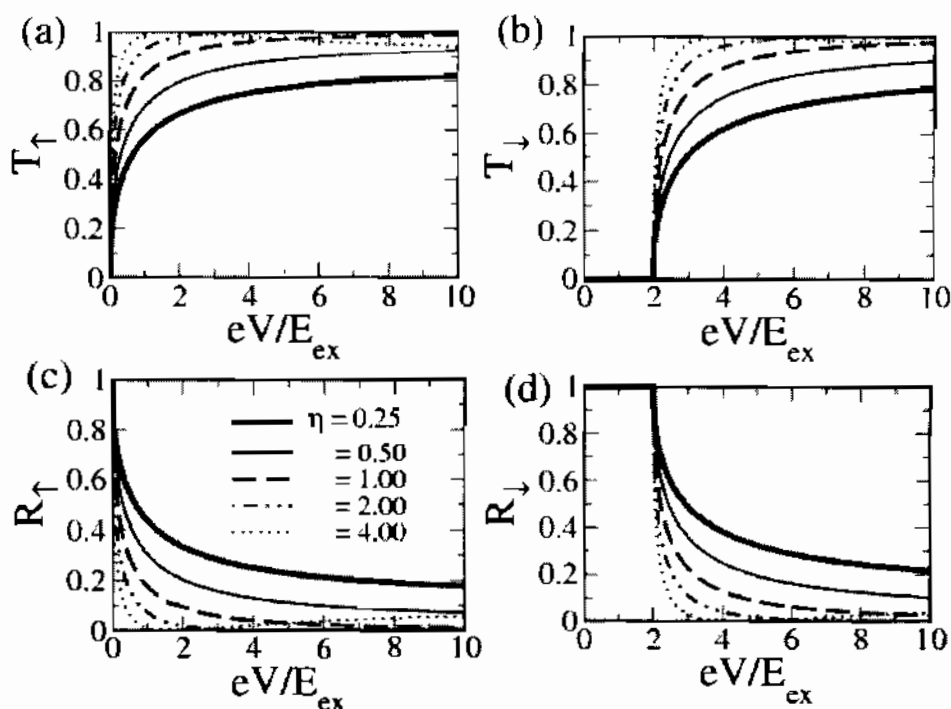
พิจารณาภาพประกอบ 3.25 สังเกตได้ว่า มีลักษณะเหมือนกับกรณีตัดกระบวนการของอิเล็กตรอนสpinขึ้น โดยแตกต่างกันตรงที่จุดเริ่มต้นของการส่งผ่าน ซึ่งเกิดจากโครงสร้างภายในของวัสดุเพอร์โรมแคนเดตดังที่กล่าวไปแล้วในหัวข้อ 3.4.1 ผลการคำนวนนี้สามารถอธิบายได้ด้วยหลักการของความเร็วคลุ่ม นั่นคือ เมื่อวัสดุเพอร์โรมแคนเดตมีมวลยังคงอยู่ของอิเล็กตรอนมาก ย่อมทำให้เคลื่อนที่ช้าลงในฝั่งโลหะ จึงมีผลทำให้อิเล็กตรอนฝั่งโลหะเคลื่อนที่ผ่านไปได้ยากขึ้น คล้ายกับการมีกำแพงศักย์ โดยกำแพงศักย์นี้เกิดจากการสะสมประจุ ดังที่กล่าวมาในหัวข้อ 3.4.1



ภาพประกอบ 3.25 ความสัมพันธ์ระหว่างความนำจะเป็นการส่งผ่าน (a) อิเล็กตรอนสpinขึ้น (b) อิเล็กตรอนสpinลง และการสะท้อนกลับ (c) อิเล็กตรอนสpinขึ้น (d) อิเล็กตรอนสpinลง ซึ่งเป็นพังก์ชันของพลังงาน เมื่อ $Z_0 = 0$ และ $Z_1 = 0$ กรณีการตอกกระหบของอิเล็กตรอนสpinขึ้นลง

3.4.3 กรณีการตอกกระหบของอิเล็กตรอนสpinขึ้นและขึ้นลง

เมื่อพิจารณาสัดส่วนดังภาพประกอบ 3.26 ซึ่งกำหนดให้ค่าพลังงานศักย์ทั้งหมดที่ปริเวณรอยต่อมีค่าเป็นศูนย์ เพื่อพิจารณาเฉพาะผลของอัตราส่วนมวลยังผลของอิเล็กตรอนเท่านั้น จะเห็นได้ว่า มวลของอิเล็กตรอนที่ต่างกันทำให้สั่งผลต่อการเคลื่อนที่ของอิเล็กตรอนที่ตอกกระหบ กล่าวคือ ถ้ามวลยังผลของอิเล็กตรอนผิวเพื่อปริมาณมากกว่าผิวโลหะ จะมีผลทำให้อิเล็กตรอนส่งผ่านได้ยาก ในทางตรงข้าม ถ้ามวลยังผลของอิเล็กตรอนผิวเพื่อปริมาณน้อยกว่าผิวโลหะ จะทำให้อิเล็กตรอนส่งผ่านรอยต่อได้ง่ายขึ้น



ภาพประกอบ 3.26 ความสัมพันธ์ระหว่างความนำจะเป็นการส่งผ่าน (a) อิเล็กตรอนสpinขึ้น (b) อิเล็กตรอนสpinลง และการสะท้อนกลับ (c) อิเล็กตรอนสpinขึ้น (d) อิเล็กตรอนสpinลง ซึ่งเป็นพังก์ชันของพลังงาน เมื่อ $Z_0 = 0$ และ $Z_f = 0$ กรณีการตกรอบของอิเล็กตรอนสpinขึ้นและซึ่ง

บทที่ 4

สรุปผลการคำนวณ

โครงการนี้เป็นการศึกษาเชิงทดลองวิธีการส่งผ่านของอิเล็กตรอนในระบบรอยด้วยวัสดุโลหะปกติกับวัสดุเฟอร์โรแมกเนต ซึ่งระบบดังกล่าวได้แนวคิดมาจากการศึกษาเพื่อเพิ่มค่าความนำไฟฟ้าในรอยด้วยวัสดุห้องสอง³ โดยโครงการนี้สนใจศึกษาสมบัติทางด้านพิสิกส์ ณ รอยต่อ ซึ่งเกิดจากพลังงานศักย์ที่ทำให้เกิดการกระแสแบบปกติ และพลังงานศักย์ที่ทำให้เกิดการกระแสแบบสปินพลิกกลับ โดยเลือกศึกษาการส่งผ่านในระบบ 1 มิติ ทั้งนี้เนื่องจาก การศึกษาขั้นต้นของการส่งผ่านในระบบรอยด้วยโลหะกับโลหะ พบว่า มิติของระบบไม่ส่งผลต่อการส่งผ่านของอิเล็กตรอนอย่างมีนัยสำคัญ อีกทั้งได้พิจารณาเพิ่มเติมในส่วนของทิศทางสปินของอิเล็กตรอนที่ตกรอบ สะท้อนกลับ และส่งผ่าน ณ บริเวณรอยต่อ กล่าวคือ กำหนดให้มีอิเล็กตรอนตกกระทบทั้งสปินขึ้นและสปินลง จากนั้นคำนวณความนำจะเป็นการส่งผ่านและการสะท้อนกลับของอิเล็กตรอนทั้งที่มีสปินขึ้นและสปินลง ซึ่งการอธิบายพฤติกรรมของอิเล็กตรอนในวัสดุจะใช้การประมาณด้วยแบบจำลองอิเล็กตรอนอิสระ และประมาณพลังงานศักย์ที่บริเวณรอยต่อด้วยฟังก์ชันเดลตา กล่าวคือ ต้องการพิจารณาให้มีพลังงานศักย์เฉพาะที่บริเวณรอยต่อเท่านั้น จากการคำนวณ พบว่า ด้วยประที่มีผลต่อค่าความนำจะเป็นการส่งผ่านและการสะท้อนกลับมีดังนี้

4.1 ผลของพลังงานศักย์ที่ทำให้เกิดการกระแสแบบปกติ: Z_0

พลังงานศักย์ดังกล่าวเกิดขึ้น เมื่อมีการนำวัสดุสองชนิดมาต่อกัน ทั้งนี้เนื่องจากไม่สามารถทำให้วัสดุทั้งสองชนิดรวมเป็นเนื้อเดียวกันได้ ซึ่งพลังงานศักย์ชนิดนี้ไม่มีผลให้อิเล็กตรอนตกกระทบเปลี่ยนทิศทางสปินในขณะเกิดการส่งผ่าน แต่จะส่งผลให้ค่าความนำจะเป็นการส่งผ่านดังกล่าวมีค่าลดลงแบบเอกซ์โพเนนเชียล โดยอิเล็กตรอนตกกระทบที่มีสปินขึ้ลงจะมีการส่งผ่านเริ่มต้นที่ ณ พลังงาน $eV = 2E_x$ เมื่อ E_x คือ พลังงานแคลคเปลี่ยนภายในวัสดุเฟอร์โรแมกเนต โดยที่ค่าพลังงานนี้เป็นระดับพลังงานต่ำสุดที่สามารถพบอิเล็กตรอนสปินลงได้ ทั้งนี้ความนำจะเป็นการสะท้อนกลับของอิเล็กตรอนสปินขึ้นและสปินลงจะมีพฤติกรรมตรงกันข้ามกับความนำจะเป็นการส่งผ่าน กล่าวคือ จะมีค่าเพิ่มขึ้นเมื่อ Z_0 มีค่ามากขึ้น

4.2 ผลของพลังงานศักย์ที่ทำให้เกิดการกระแสเจิงแบบสปีนพลิกกลับ: Z_f

พลังงานศักย์ที่ทำให้เกิดการกระแสเจิงแบบสปีนพลิกกลับมีคุณสมบัติทางฟิสิกส์ คือ การเปลี่ยนแปลงที่ศักดิ์สิทธิ์ของอิเล็กตรอนที่ต่อกythophobe ให้ส่งผ่านกลไกเป็นสปีนตรงข้าม ซึ่งการศึกษาในเชิงทดลองจะพิจารณาโดยใช้การกระแสเจิงแบบเมทริกซ์ ทั้งนี้ในทางปฏิบัติสามารถทำได้โดยการฝังใจอ่อนที่มีสมบัติทางด้านแม่เหล็กลงไปยังบริเวณรอยต่อ จากการคำนวณ พบว่า ผลของพลังงานศักย์ดังกล่าว ต่อค่าความนำจะเป็นการส่งผ่านและการสะท้อนกลับประกอบไปด้วย 2 กรณีดังนี้

4.2.1 ความนำจะเป็นการส่งผ่านของอิเล็กตรอนที่มีศักดิ์สิทธิ์สปีนเหมือนกับอิเล็กตรอนต่อกythophobe จะมีค่าลดลง และมีการเปลี่ยนแปลงความชัน ณ บริเวณที่อิเล็กตรอนมีพลังงาน $eV = 2E_{ex}$ ซึ่งพบว่าอิเล็กตรอนสามารถส่งผ่านได้มากขึ้น ทั้งนี้ความนำจะเป็นการสะท้อนกลับของอิเล็กตรอนที่มีศักดิ์สิทธิ์สปีนเหมือนกับอิเล็กตรอนต่อกythophobe จะมีพฤติกรรมตรงกันข้ามกับความนำจะเป็นการส่งผ่าน

4.2.2 การส่งผ่านของอิเล็กตรอนที่มีสปีนตรงข้ามกับอิเล็กตรอนต่อกythophobe เพิ่มมากขึ้น ทั้งนี้การเพิ่มมากหรือน้อยสอดคล้องกับปริมาณค่า Z_f ในรอยต่อ โดยที่การส่งผ่านของอิเล็กตรอนที่มีสปีนซึ่งเกิดการส่งผ่านขึ้น เมื่ออิเล็กตรอนมีพลังงานน้อยที่สุดเท่ากับ $eV = 2E_{ex}$ และความนำจะเป็นการสะท้อนกลับของอิเล็กตรอนที่มีศักดิ์สิทธิ์สปีนเหมือนกับอิเล็กตรอนต่อกythophobe จะมีพฤติกรรมตรงกันข้ามกับความนำจะเป็นการส่งผ่าน

4.3 ผลของพลังงานศักย์ที่ทำให้เกิดการกระแสเจิงแบบปกติและแบบสปีนพลิกกลับ: Z_0, Z_f

การพิจารณาโดยการแยกคำนวณพลังงานศักย์แต่ละชนิด ไม่สามารถอธิบายในส่วนของวัสดุ จริงที่มีพลังงานศักย์ทั้งสองชนิดได้ ดังนั้น เมื่อพิจารณาความสัมพันธ์ระหว่างพลังงานทั้งสองชนิด พบว่า ความนำจะเป็นการส่งผ่านของอิเล็กตรอนที่มีศักดิ์สิทธิ์สปีนเหมือนและตรงข้ามกับอิเล็กตรอนต่อกythophobe จะมีค่าทั้งเพิ่มขึ้นและลดลง โดยมีค่าสูงที่สุดเมื่อ $Z_0 = Z_f$ ดังนั้น จากการคำนวณจึงกล่าวได้ว่า การเพิ่มค่าความนำจะเป็นของอิเล็กตรอน สามารถทำได้โดยการใส่ห้องผลของพลังงานศักย์ที่ทำให้เกิดการกระแสเจิงแบบปกติและพลังงานศักย์ที่ทำให้เกิดการกระแสเจิงแบบสปีนพลิกกลับ ในขณะเดียวกันกรณีของความนำจะเป็นการสะท้อนกลับ จะมีพฤติกรรมตรงกันข้ามกับความนำจะเป็นการส่งผ่าน

4.4 ผลของมวลยังผลของอิเล็กตรอน: ท

จากการพิจารณาผลของมวลยังผลของอิเล็กตรอนทำให้ทราบว่า ความแตกต่างระหว่างมวลยังผลของอิเล็กตรอนในวัสดุแต่ละชนิด ทำให้ความนำจะเป็นการส่งผ่านมีการเปลี่ยนแปลงไปในลักษณะต่างกัน นั่นคือ ความนำจะเป็นการส่งผ่านจะมากขึ้น เมื่อมวลยังผลของอิเล็กตรอนในวัสดุเพอร์โรมากened มีค่าน้อยกว่าวัสดุโลหะ ในทางตรงกันข้าม จะมีกำแพงศักย์เกิดขึ้น เมื่อมวลยังผลของอิเล็กตรอนในวัสดุเพอร์โรมากened มากกว่าวัสดุโลหะ เป็นผลทำให้ความนำจะเป็นการส่งผ่านลดน้อยลง ซึ่งกำแพงศักย์ดังกล่าวเกิดจากการสะสมของประจุบริเวณรอยต่อ ทั้งนี้เนื่องจาก อิเล็กตรอนในฝั่งเพอร์โรมากened ที่มีมวลยังผลของอิเล็กตรอนมาก จะเคลื่อนที่ช้ากว่าอิเล็กตรอนในฝั่งโลหะที่มีมวลยังผลของอิเล็กตรอนน้อย จึงทำให้อิเล็กตรอนที่เคลื่อนที่ช้าผลักอิเล็กตรอนที่เคลื่อนที่เร็วกว่า ให้เคลื่อนที่ช้าลงและสะสมอยู่ที่บริเวณรอยต่อ

ต้นฉบับไม่ปรากฏข้อมูล



ເອກສາຮ້າງອີງ

1. Binasch G, Grunberg P, Saurenbach F, Zinn W. Enhanced magnetoresistance in layered magnetic structures with antiferromagnetic interlayer exchange. *PhysRevB* 1989; 39(7): 28-30.
2. Baibich MN, Broto JM, Fert A, Nguyen Van Dau F, Petroff F. Giant magnetoresistance of (001)Fe/(001)Cr magnetic superlattices. *PhysRevB* 1989; 61(21): 72-5.
3. Pasanai K, Pairor P. Spin-flip scattering and dimensional effect on transport of charge and spin across metal/ferromagnet material interfaces. *PhysRevB* 2011; 84(224432): 1-7.
4. Zettili N. Quantum mechanics concepts and applications. 2nd ed. New York: John Wiley & Sons; 1997. p. 220-9.
5. Levi AFJ. Applied quantum mechanics. 2nd ed. London: Cambridge University Press; 2006. p. 154-160.

ต้นฉบับไม่ปรากฏข้อมูล



ประวัติย่อผู้ทำโครงการ



ประวัติย่อผู้ทำโครงการ



ชื่อ นามสกุล	นาย กิตติศักดิ์ ภาระพันธ์
วัน เดือน ปีเกิด	วันที่ 9 กรกฎาคม พ.ศ. 2534
จังหวัด และประเภทที่เกิด	อั่ม Geoff ยางตลาด จังหวัด การสินรุ๊ด
ประวัติการศึกษา	พ.ศ. 2550 มัธยมศึกษาตอนต้น โรงเรียนเพิ่มพูนวิทยาคม พ.ศ. 2553 มัธยมศึกษาตอนปลาย โรงเรียนอนุกูลนารี พ.ศ. 2557 ว.บ. พลิกก์ มหาวิทยาลัยมหาสารคาม
ที่อยู่ที่สามารถติดต่อได้	25 หมู่ 4 บ้านคงเค็ง ต. หนองบัวร์น อ. ยางตลาด จ. การสินรุ๊ด 46120